



YILDIZ TEKNİK ÜNİVERSİTESİ
FEN BİLİMLERİ ENSTİTÜSÜ

Cam Yüz. Sol-Jel Pro.Hid. ve Ol. Özel. Kazarad.

Doktora Tezi

REFİKE BUDAKOĞLU

YILDIZ TEKNİK ÜNİVERSİTESİ
KÜTÜPHANE VE DOKÜMANTASYON
DAİRE BAŞKANLIĞI

Yer No (DDC) : R.361-494.....

Kayıt No : 7786.....

Geldiği Yer : Fen Bül.

Fak.

Tarih : 03.01.2008.....

Fiyat : 3,50.....

Fatura No :

Ayniyat No : 3.....

Ek :

YILDIZ TEKNİK ÜNİVERSİTESİ
FEN BİLİMLERİ ENSTİTÜSÜ

25507020399992490700

CAM YÜZEYLERİNE SOL-JEL PROSESİYLE
HİDROFOB VE OLEOFOB ÖZELLİKLERİN
KAZANDIRILMASI

494

Yüksek Kimyager Refika BUDAKOĞLU

FBE Kimya Anabilim Dalı Anorganik Kimya Programında
Hazırlanan

DOKTORA TEZİ

Tez Savunma Tarihi : 01 Aralık 2006

Tez Danışmanı : Prof. Dr. Ulvi AVCIATA (YTÜ)

Jüri Üyeleri

: Prof. Dr. Sabiha MANAV YALÇIN (YTÜ)

: Prof. Dr. Nebahat DEMİRhan (YTÜ)

: Prof. Dr. Makbule BURKUT KOÇAK (İTÜ)

: Prof. Dr. Ahmet GÜL (İTÜ)

İSTANBUL, 2006

İÇİNDEKİLER

	Sayfa
SİMGE LİSTESİ	v
KISALTMA LİSTESİ	vi
ŞEKİL LİSTESİ	vii
ÇİZELGE LİSTESİ	viii
ÖNSÖZ	x
ÖZET	xi
ABSTRACT	xii
1. GİRİŞ	1
2. GENEL BİLGİ	3
2.1 Sol-jel Prosesi	3
2.2 Silisyum Alkoksitlerin Hidroliz ve Kondenzasyonu	4
2.2.1 Hidroliz ve Kondenzasyonu Kontrol Eden Faktörler	5
2.2.1.1 Su / Alkoksi Oranı	5
2.2.1.2 Çözelti Derişimi veya Moleküller Ayışma	5
2.2.1.3 Katalizin Türü ve Derişimi	6
2.2.1.4 Isı ve Tepkime Süresi	6
2.3 Sol-jel Prosesinin Uygulama Alanları	6
2.4 Sol-jel Prosesinin Kullanıldığı Kaplama Yöntemleri	6
2.4.1 Daldırma Yöntemiyle Kaplama	7
2.4.2 Püskürtme Yöntemiyle Kaplama	8
2.4.3 Döndürme Yöntemiyle Kaplama	8
2.5 Sol-jel Prosesiyle Cam Yüzeylerin Kaplanması	9
2.6 Camlara Hidrofobik ve Oleofobik Özellikler Kazandırma Çalışmaları	9
2.6.1 Hidrofobik ve Oleofobik Cam Kaplamaların Dayanımı	9
3. MALZEME VE YÖNTEM	13
3.1 Kullanılan Kimyasallar	13
3.2 Kaplanacak Düzcamların Hazırlanması	15
3.2.1 Düzcamların Temin edilmesi	16
3.2.2 Düzcamların Kesilmesi	16
3.2.3 Düzcam Yüzeylerinin Temizlenmesi	16
3.3 Kaplama Prosesi	16
3.3.1 Kaplama Yöntemi	16
3.3.2 Kaplamalara Uygulanan Isıl İşlem	17
3.4 Hidrofobik Kaplamaların Karakterizasyonu	17
3.4.1 Temas Açısı	17

3.4.2	Serbest Yüzey Enerjisi.....	18
3.4.3	Pusluluk	19
3.4.4	Yüzey Morfolojis ve Kaplama Kalınlıkları	19
3.5	Hidrofobik Kaplama Çözeltisi ve Jellerinin IR Spektrumları	19
3.6	Etilasetoasetat ile Modifiye edilmiş Alüminyum-tri-sek-butoksitin IR ve UV Spektrumları	20
3.7	Hidrofobik Kaplamalara Uygulanan Genel Testler.....	20
3.7.1	Aşınma Testi	20
3.7.2	Kaynar Su Testi	20
3.7.3	Nemli Ortama Dayanım Testi.....	21
3.7.4	Gün Işığına Dayanım Testi.....	21
3.7.5	Asidik Ortama Dayanım Testi	21
4.	DENEYSEL KISIM	22
4.1	Silan Kaplama Çözeltisinin Hazırlanışı.....	22
4.2	Hidrofobik Silan Kaplama Çözeltilerinin Hazırlanışı	22
4.2.1	Nanotoz içeren FS-Silan Kaplamaların Hazırlanışı.....	24
4.3	GPTS-Silan Kaplama Çözeltilerinin Hazırlanışı	24
4.4	Hidrofobik GPTS-Silan Kaplama Çözeltilerin Hazırlanışı	25
4.4.1	Nanotoz içeren FS-GPTS-Silan Kaplamaların Hazırlanışı.....	27
5.	KAPLAMALARIN AŞINMA DİRENCİNİN İNCELENMESİ.....	28
5.1	Kaplama Çözeltilerinin FS İçeriği	28
5.1.1	FS-Silan Kaplama.....	28
5.1.2	FS-GPTS-Silan Kaplama.....	30
5.2	Kaplama Çözeltilerinin Çekiş Hızı.....	31
5.2.1	FS-Silan Kaplama.....	31
5.2.2	FS-GPTS-Silan Kaplama.....	33
5.3	Kaplama Çözeltilerinin Kullanım Süresi.....	35
5.3.1	FS-Silan Kaplama.....	35
5.3.2	FS-GPTS-Silan Kaplama.....	36
5.4	Diğer Hidrofobik Kaplamalarla Karşılaştırma	36
5.4.1	FS-Silan Kaplamanın OCTMO-Silan Kaplama ile Karşılaştırılması	37
5.4.2	FS-GPTS-Silan Kaplamanın OCTMO-GPTS-Silan Kaplamaya Karşılaştırılması	37
5.4.3	FS-GPTS-Silan Kaplamanın OCTEO-GPTS-Silan ile Karşılaştırılması	37
5.4.4	FS-GPTS-Silan Kaplamanın FC-GPTS-Silan Kaplama ile Karşılaştırılması	38
5.5	Kaplamaların Düzcam ile Karşılaştırılması.....	38
5.5.1	Silan Kaplama.....	38
5.5.2	FS-Silan Kaplama.....	39
5.5.3	GPTS-Silan Kaplama.....	40
5.5.4	FS-GPTS-Silan Kaplama.....	41
6.	FS İÇEREN KAPLAMALARIN KARAKTERİZASYONU	42
6.1	Temas Açısı ve Serbest Yüzey Enerjisi.....	42
6.1.1	FS-Silan Kaplama	42
6.1.2	FS-GPTS-Silan Kaplama	43
6.2	Kaplamaların Yüzey Morfolojis ve Kalınlıkları	44
6.2.1	FS-Silan Kaplama	44
6.2.2	FS-GPTS-Silan Kaplamalar.....	45
6.3	Kaplama Çözeltisi ve Jellerinin FT-IR Analizi	47

6.3.1	FS-Silan Kaplama Çözeltisi ve Jeli	47
6.3.2	FS-GPTS-Silan Kaplama Çözeltisi ve Jeli	48
6.4	Etilasetoaset ile Modifiye edilmiş Aluminyum-tri-sek-butoksitin FT-IR ve UV Spektrumu.....	50
7.	TİCARİ HİDROFOBİK KAPLAMALARLA KARŞILAŞTIRMA.....	52
7.1	Ticari Hidrofobik Kaplama Çözeltileri.....	52
7.2	Ticari Hidrofobik Kaplama Çözeltilerinin İncelenmesi ve Kullanımı	53
7.3	Hidrofobik Kaplamaların Dayanımını	54
7.3.1	Aşınma Testi	55
7.3.2	Kaynar Su Testi	59
7.3.3	Gün Işığına Dayanım Testi	61
7.3.4	Nemli Ortama Dayanım Testi.....	62
7.3.5	Asidik Ortama Dayanım Testi	63
8.	SONUÇLAR VE TARTIŞMA.....	65
	KAYNAKLAR	68
	ÖZGEÇMİŞ	70

SİMGE LİSTESİ

d	Geometrik kalınlık
d	Serbest yüzey enerjisinin dağıtıçı bileşeni
p	Serbest yüzey enerjisinin polar bileşeni
v	Çekiş hızı
γ_{sb}	Sıvı/buhar serbest arayüzey enerjisi
γ_{kb}	Katı/buhar serbest arayüzey enerjisi
γ_{ks}	Katı/sıvı serbest arayüzey enerjisi
θ	Temas açısı

IPA	Isopropenol
M	Monomer
OCTEG	Oksitengenik asidler
OCIMG	Oksimengenik asidler
R	Alkol, C-Hes.
SEM	Tanrımsız Elektron Mikroskopu
TEM	Fotonik Elektron Mikroskopu
UV	Birim etrafı (ülteraviyole)
VPC	Özgül teknik
ZRAZ	PGH _n CH ₂ CH ₂ OH, n: 7-8, % 70-Der.

KISALTMA LİSTESİ

Sayfa

EtOH	Etanol	1	
FC	Karboksilik asit (COOH) fonksiyonel grubu ve %61 flor içeren oligomer	1	
FD10-H	Alkol (OH) fonksiyonel grubu ve % 61 flor içeren oligomer	1	
FS	3,3,4,4,5,5,6,6,7,7,8,8,8-tridekaflorooktiltrietoksisilan	1	
FT - IR	Fourier Transform - Kızıl Ötesi (infrared)	9	
GPTS	3-Glisidoksipropiltrimetoksisilan	17	
HCl	Hidroklorik asit	18	
HNO ₃	Nitrik asit	18	
IPA	İzopropanol	19	
M	Metal, Molar	20	
OCTEO	Oktiltrietoksisilan	31	
OCTMO	Oktiltrimetoksisilan	31	
R	Alkil, C _x H _{2x-1}	32	
SEM	Taramalı Elektron Mikroskopu	TS Silan kaplama ile zaptılıp 100 tara kadar boyutlu olacak şekilde 350 tara kadar aşınan bögenin 6,3倍 büyütülmeli (a) ve 50 büyütülmeli (b) dökümleri	34
TEOS	Tetraetoksisilan	TS Silan kaplaması 6,3倍 büyütülmeli (a) ve 50 büyütülmeli (b) dökümleri	34
UV	Mor-ötesi (ultraviolet)	TS Silan kaplaması 6,3倍 büyütülmeli (a) ve 50 büyütülmeli (b) dökümleri	34
VIS	Görünür	TS Silan kaplaması 6,3倍 büyütülmeli (a) ve 50 büyütülmeli (b) dökümleri	34
ZBA-L	F(CF) _{2n} CH ₂ CH ₂ OH, n:~ 7-8, % 70 flor	TS Silan kaplaması 6,3倍 büyütülmeli (a) ve 50 büyütülmeli (b) dökümleri	34
Şekil 5.6: 3 milyon kez hızında FS-GPT-Silan örtüsüyle kaplanan düzcan yüzeyinde 350 tara kadar aşınan bögenin 6,3倍 büyütülmeli (a) ve 50 büyütülmeli (b) dökümleri ve 50倍 büyütülmeli stereoskop fotoğrafı.			35
Şekil 5.7 a ve b:	İki esneklik kaplaması dökümlen (a) ve Silan kaplaması dökümlen (b)	35	
Şekil 5.8 a ve b:	İki esneklik kaplaması dökümlen (a) ve FS-Silan kaplaması dökümlen (b)	39	
Şekil 6.1 a ve b:	FS-Silan (a) ve FS-GPTS-Silan (b) kaplamalı düzcan yüzeylerdeki damla fotoları	43	
Şekil 6.2 a ve b:	FS-Silan (a) ve FS-GPTS-Silan (b) kaplamalı düzcan yüzeylerdeki damla fotoları	44	
Şekil 6.3:	FS-Silan kaplamalı düzcanın 150.000 büyütülmeli yüzey SEM mikrografi	44	
Şekil 6.4 a ve b:	3 milyon kez hızında FS-GPTS-Silan kaplamalı düzcanın 150.000倍 büyütülmeli yüzey (a) ve 1.000 büyütülmeli yan kesit (b) SEM mikrografları	45	
Şekil 6.5 a ve b:	3 milyon kez hızında FS-GPTS-Silan kaplamalı düzcanın 150.000倍 büyütülmeli yüzey (a) ve 1.100倍 büyütülmeli yan kesit (b) SEM mikrografları	46	
Şekil 6.6 a ve b:	3 milyon kez hızında TS-GPTS-Silan kaplamalı düzcanın 150.000倍 büyütülmeli yüzey (a) ve 250倍 büyütülmeli yan kesit (b) SEM mikrografları	46	
Şekil 6.7:	TS-Silan kaplama etkisiyle 4000 cm ⁻¹ IR spektrumu	47	
Şekil 6.8:	TS-Silan kaplama etkisiyle 1700 cm ⁻¹ IR spektrumu	48	
Şekil 6.9:	TS-GPTS-Silan kaplaması etkisiyle Al(OBu) ₄ : enüsanermetat (1:1) reaksiyon 4 saat (a), 7 saat (b) ve 24 saat (c) sonra ekle edilen IR	49	
Şekil 6.10:	TS-Silan kaplama etkisiyle 1700 cm ⁻¹ IR spektrumu	50	
Şekil 6.11:	TS-Silan kaplaması etkisiyle (c) etkisini ve etkisi etkisizinin IR spektrumları	51	
Şekil 7.1:	TS-Silan kaplaması etkisiyle 100 kez hızında göre temas ettiğinde TS-Silan kaplaması etkisinin etkisini ve etkisi etkisizinin IR spektrumları	57	
Şekil 7.2:	TS-Silan kaplaması etkisiyle 100 kez hızında göre temas ettiğinde TS-Silan kaplaması etkisinin etkisini ve etkisi etkisizinin IR spektrumları	59	

ŞEKİL LİSTESİ

Sayfa

Şekil 1.1	Su buharının adsorbe olmasıyla cam yüzeyinde oluşan su filminin şematik görüntüsü (Pulker, 1984)	1
Şekil 2.1	Hidroliz, kondenzasyon ve hız arasındaki bağıntılar (Schmidt, 1988).....	3
Şekil 2.2	Daldırma yöntemi	7
Şekil 2.3	Cam yüzeyinde hidrofobik ve oleofobik kaplama oluşumu	9
Şekil 3.1	Temas açısı.....	17
Şekil 3.2	Temas açısı ölçüm cihazı (KSV, CAM 200 modeli)	18
Şekil 5.1	FS/TEOS mol oranı 0,01 olan kaplamanın aşındırma tur sayısına göre pusluluk ve temas açısı değerleri	29
Şekil 5.2	FS/GPTS-TEOS mol oranı 0,01 olan kaplamanın aşındırma tur sayısına göre pusluluk ve temas açısı değerleri	31
Şekil 5.3 a ve b.	200 tur aşındırılan FS-Silan kaplamalı düzcamın aşındırılan bölgelerin 6,3 büyütmeli (a) ve 50 büyütmeli (b) Stereomikroskop fotoğrafları.....	32
Şekil 5.4 a ve b.	2 inç/dk çekiş hızında FS-GPTS-Silan çözeltisiyle kaplanıp 100 tura kadar aşındırılan düzcamın aşınan bölgelerinin 6,3 büyütmeli (a) ve 50 büyütmeli Stereomikroskop fotoğrafları	34
Şekil 5.5 a ve b.	6 inç/dk çekiş hızında FS-GPTS-Silan çözeltisiyle kaplanan düzcam yüzeyinde 300 tura kadar aşınan bölgenin 6,3 büyütmeli (b) ve 50 büyütmeli Stereomikroskop fotoğrafları	34
Şekil 5.6 a ve b	12 inç/dk çekiş hızında FS-GPTS-Silan çözeltisiyle kaplanan düzcam yüzeyinde 350 tura kadar aşınan bölgenin 6,3 büyütmeli (b) ve 50 büyütmeli Stereomikroskop fotoğrafları	35
Şekil 5.7 a ve b.	200 tur aşındırılan kaplamasıız düzcam (a) ve Silan kaplamalı (b) düzcam yüzeylerinde aşındırılan bölgelerin 50 büyütmeli Stereomikroskop fotoğrafları	39
Şekil 5.8 a ve b.	200 tur aşındırılmış kaplamasıız düzcam (a) ve FS-Silan kaplamalı düzcam (b) yüzeylerinde aşınan bölgelerin 50 büyütmeli Stereomikroskop fotoğrafları	40
Şekil 6.1 a ve b.	Silan (a) ve FS-Silan (b) kaplamalı düzcam yüzeylerdeki damla fotoğrafları	43
Şekil 6.2 a ve b.	GPTS-Silan (a) ve FS-GPTS-Silan (b) kaplamalı düzcam yüzeylerdeki damla fotoğrafları	44
Şekil 6.3	FS-Silan kaplamalı düzcamın 150,000 büyütmeli yüzey SEM mikrografi.	44
Şekil 6.4 a ve b.	2 inç/dk çekiş hızında FS-GPTS-Silan kaplanan düzcamın 150,000 büyütmeli yüzey (a) ve 3,000 büyütmeli yan kesit (b) SEM mikrografi	45
Şekil 6.5 a ve b.	6 inç/dk çekiş hızında FS-GPTS-Silan kaplanan düzcamın 150,000 büyütmeli yüzey (a) ve 1,100 büyütmeli yan kesit (b) SEM mikrografi	46
Şekil 6.6 a ve b.	12 inç/dk çekiş hızında FS-GPTS-Silan kaplanan düzcamın 150,000 büyütmeli yüzey (a) ve 850 büyütmeli yan kesit (b) SEM mikrografi	46
Şekil 6.7	FS-Silan kaplama çözeltisinin IR spektrumu.....	47
Şekil 6.8	FS-Silan kaplama jelinin IR spektrumu.....	48
Şekil 6.9	FS-GPTS-Silan kaplama çözeltisine $\text{Al(OBu}^{\circ}\text{)}_3$: etilasetoasetat (1:1) ilavesinden 1 saat (a), 3 saat (b) ve 24 saat (c) sonra elde edilen IR spektrumlar.	49
Şekil 6.10	FS-GPTS-Silan kaplama jelinin IR spektrumu.....	50
Şekil 6.11	Al(OBus)_3 : etilasetoasetat (1:1) karışımı ve etilasetoasetatin IR spektrumları	51
Şekil 7.1	Ticari hidrofobik kaplamaların aşındırma tur sayısına göre temas açıları.....	57
Şekil 7.2	Saydam hidrofobik kaplamalı camların aşındırma tur sayısına göre temas açıları.....	59

ÇİZELGE LİSTESİ

	Sayfa
Çizelge 3.1	Monomerler ve anorganik ağ yapıcı başlangıç maddeleri.....13
Çizelge 3.2	Hidrofobik özellik verici başlangıç maddeleri.....14
Çizelge 3.3	Kaplama çözeltilerinde kullanılan asitler ve çözücüler.....15
Çizelge 3.4	Nanotoz içeren çözeltiler ve nanotozlar.....15
Çizelge 4.1	FS-Silan kaplama çözeltilerinin kimyasal bileşimi.....22
Çizelge 4.2	FS-GPTS-Silan kaplama çözeltilerinin kimyasal bileşimi.....25
Çizelge 5.1	FS/TEOS mol oranı 0,005, 0,010 ve 0,020 olan çözeltilerle kaplanan düzcamların aşındırma tur sayısına göre pusluluk ve temas açısı değerlerinin karşılaştırılması.....29
Çizelge 5.2	FS/GPTS-TEOS mol oranı 0,005, 0,010 ve 0,020 olan çözeltilerle kaplanan düzcamların aşındırma tur sayısına göre pusluluk ve temas açısı değerlerinin karşılaştırılması.....30
Çizelge 5.3	FS-Silan kaplamalı düzcamın aşındırma tur sayısına göre pusluluk değerleri.....32
Çizelge 5.4	FS-GPTS-Silan çözeltisiyle 2, 6, 12 inç/dk çekiş hızlarında kaplanan düzcamların aşındırma tur sayısına göre pusluluk ve temas açısı değerleri....33
Çizelge 5.5	Çeşitli sürelerde bekletilen FS-GPTS-Silan çözeltisiyle kaplanan düzcamların aşındırma tur sayısında göre pusluluk ve temas açısı değerleri.....36
Çizelge 5.6	FS-Silan ve OCTMO-Silan kaplama çözeltileriyle kaplanan düzcamların aşındırma tur sayısına göre pusuluk ve temas açısı değerleri.....37
Çizelge 5.7	FS-GPTS-Silan ile FC-GPTS-Silan çözeltisiyle kaplanan düzcamların aşındırma tur sayısına göre pusluluk ve temas açısı değerleri.....38
Çizelge 5.8	Kaplamasız düzcam ve Silan kaplamalı düzcamın aşındırma tur sayısına göre pusluluk değerleri.....39
Çizelge 5.9	Kaplamasız düzcam ve FS-Silan kaplamalı düzcamın aşındırma tur sayısına göre pusluluk değerleri.....40
Çizelge 5.10	Kaplamasız düzcam ile GPTS-Silan çözeltisiyle 2, 6 ve 12 inç/dk çekiş hızlarında kaplanan düzcamların pusluluk değerleri.....41
Çizelge 5.11	Kaplamasız düzcam ile FS/GPTS-TEOS mol oranı 0,01 olan kaplama çözeltisiyle 2, 6 ve 12 inç/dk çekiş hızlarında kaplanan düzcamların pusluluk değerleri.....41
Çizelge 6.1	FS-Silan kaplamaların temas açısı ve serbest yüzey enerjisi değerleri.....42
Çizelge 6.2	FS-GPTS-Silan kaplamaların temas açısı ve serbest yüzey enerjisi değerleri.....43
Çizelge 7.1	Ticari hidrofobik cam kaplamalar ve üretici firmaları.....52
Çizelge 7.2	Ticari hidrofobik cam kaplama çözeltilerinin pH değerleri.....53
Çizelge 7.3	Ticari hidrofobik cam kaplama çözeltileri ve uygulama prosedürleri.....54
Çizelge 7.4	Ticari kaplamalarla kıyaslanan saydam hidrofobik cam kaplamalar.....55
Çizelge 7.5	Ticari hidrofobik kaplamaların aşındırma tur sayısına göre temas açıları.....56
Çizelge 7.6	Saydam hidrofobik kaplamaların aşındırma tur sayısına göre temas açıları....58
Çizelge 7.7	Kaynar su testine giren ticari hidrofobik kaplamaların temas açıları.....60
Çizelge 7.8	Saydam hidrofobik kaplamaların Kaynar su testinden önce ve sonra temas açıları.....60
Çizelge 7.9	Çeşitli sürelerde Gün ışığına dayanım testi uygulanan ticari hidrofobik kaplamaların temas açıları.....61
Çizelge 7.10	Çeşitli sürelerde Gün ışığına dayanım testi uygulanan saydam hidrofobik kaplamaların temas açıları.....62
Çizelge 7.11	Çeşitli sürelerde Nemli ortama dayanım testi uygulanan ticari hidrofobik kaplamaların temas açıları62
Çizelge 7.12	Çeşitli sürelerde Nemli ortama dayanım testine maruz tutulan saydam

İNDİRİM	hidrofobik kaplamaların temas açıları 63
Çizelge 7.13	Çeşitli sürelerde Asidik ortama dayanım testi uygulanan ticari hidrofobik kaplamalı camların temas açıları 63
Çizelge 7.14	Çeşitli sürelerde Asidik ortama dayanım testi uygulanan saydam hidrofobik kaplamalı camların temas açıları 64

Arpacı, Çimento ve Beton İmalatı A.Ş. Genel Müdür Yardımcısı Dr. Tüldürüm Teoman'a, desteklerinden dolayı Sayılar Müdüri Şube Müdürü Sayın M. Akgün, Dışek Hizmetleri Müdürü Dr. Eşref Arslan, Araştırma ve Geliştirme Üyeleri Sayın Şenol Bayram'a, Araştırma ve Mühendislik Müdür Yardımcısı Sayın M. A. Dr. Rüha Kuban'a ve arkadaşlarını Dr. Dilek Laçoğlu, Çimento ve Beton İmalatı A.Ş. çalışanları ailesini sevdiklerini sunarım.

Ayrıca, desteklerini her zaman yanlarında taşıyan ve desteklerini sunan tüm dostluklarımıza teşekkür ederim.

ÖNSÖZ

Yıldız Teknik Üniversitesi Fen Bilimleri Enstitüsü Kimya Anabilim Dalı Anorganik Kimya Programında Doktora tezi olarak sunduğum bu çalışmanın hazırlanmasında bilgi ve tecrübelerinden faydaladığım tez danışmanlarım Prof. Dr. Ulvi Avcıata ve Prof. Dr. Ertuğrul Arpaç'a, çalışmanın yürütülmesi ve sonuçlandırılmasında fikir ve tecrübeleriyle beni yönlendiren Prof. Dr. Bülent Yoldaş'a, bana doktora çalışması imkanı veren T. Şişe ve Cam Fabrikaları A.Ş., Araştırma ve Teknoloji Genel Müdür Yardımcısı Dr. Yıldırım Teoman'a, desteklerinden dolayı Projeler Müdürü Sn. Nedim Erinç'e, Analitik Destek Hizmetleri Müdürü Dr. Eşref Aydın'a, Araştırma ve Mühendislik Müdürü Sn. Jülide Bayram'a, Araştırma ve Mühendislik Müdür Yardımcısı Sn. Gülçin Albayrak'a, Dr. Bahar Kuban'a ve arkadaşlarım Dr. Dilek Latif'e, Günde Ünverdi Creig'e, E. Devrim Şam'a teşekkürlerimi sunarım.

Ayrıca, desteklerini her zaman yanındaysa hissettiğim eşim ve aileme teşekkür ederim.

Sonuç olarak, yapılmış çalışmaların genel bir özeti sunulmaktadır. İlk bölümde, sistemlerin özetlenmesi, ikinci bölümde, silan sistemlerinin kaplanma sürecinin analizi, üçüncü bölümde ise silan sistemlerinin kaplanması, silan sistemlerinin silan üretimi ve silan sistemlerinin silan üretimi ile silan üretimi arasındaki ilişkilendirme sunulmaktadır. Bu bölümde, silan üretimi ile silan üretimi arasındaki ilişkilendirme sunulmaktadır. Bu bölümde, silan üretimi ile silan üretimi arasındaki ilişkilendirme sunulmaktadır. Bu bölümde, silan üretimi ile silan üretimi arasındaki ilişkilendirme sunulmaktadır. Bu bölümde, silan üretimi ile silan üretimi arasındaki ilişkilendirme sunulmaktadır. Bu bölümde, silan üretimi ile silan üretimi arasındaki ilişkilendirme sunulmaktadır. Bu bölümde, silan üretimi ile silan üretimi arasındaki ilişkilendirme sunulmaktadır. Bu bölümde, silan üretimi ile silan üretimi arasındaki ilişkilendirme sunulmaktadır. Bu bölümde, silan üretimi ile silan üretimi arasındaki ilişkilendirme sunulmaktadır. Bu bölümde, silan üretimi ile silan üretimi arasındaki ilişkilendirme sunulmaktadır. Bu bölümde, silan üretimi ile silan üretimi arasındaki ilişkilendirme sunulmaktadır. Bu bölümde, silan üretimi ile silan üretimi arasındaki ilişkilendirme sunulmaktadır. Bu bölümde, silan üretimi ile silan üretimi arasındaki ilişkilendirme sunulmaktadır. Bu bölümde, silan üretimi ile silan üretimi arasındaki ilişkilendirme sunulmaktadır. Bu bölümde, silan üretimi ile silan üretimi arasındaki ilişkilendirme sunulmaktadır. Bu bölümde, silan üretimi ile silan üretimi arasındaki ilişkilendirme sunulmaktadır. Bu bölümde, silan üretimi ile silan üretimi arasındaki ilişkilendirme sunulmaktadır. Bu bölümde, silan üretimi ile silan üretimi arasındaki ilişkilendirme sunulmaktadır. Bu bölümde, silan üretimi ile silan üretimi arasındaki ilişkilendirme sunulmaktadır. Bu bölümde, silan üretimi ile silan üretimi arasındaki ilişkilendirme sunulmaktadır. Bu bölümde, silan üretimi ile silan üretimi arasındaki ilişkilendirme sunulmaktadır. Bu bölümde, silan üretimi ile silan üretimi arasındaki ilişkilendirme sunulmaktadır. Bu bölümde, silan üretimi ile silan üretimi arasındaki ilişkilendirme sunulmaktadır. Bu bölümde, silan üretimi ile silan üretimi arasındaki ilişkilendirme sunulmaktadır. Bu bölümde, silan üretimi ile silan üretimi arasındaki ilişkilendirme sunulmaktadır. Bu bölümde, silan üretimi ile silan üretimi arasındaki ilişkilendirme sunulmaktadır. Bu bölümde, silan üretimi ile silan üretimi arasındaki ilişkilendirme sunulmaktadır. Bu bölümde, silan üretimi ile silan üretimi arasındaki ilişkilendirme sunulmaktadır. Bu bölümde, silan üretimi ile silan üretimi arasındaki ilişkilendirme sunulmaktadır. Bu bölümde, silan üretimi ile silan üretimi arasındaki ilişkilendirme sunulmaktadır. Bu bölümde, silan üretimi ile silan üretimi arasındaki ilişkilendirme sunulmaktadır. Bu bölümde, silan üretimi ile silan üretimi arasındaki ilişkilendirme sunulmaktadır. Bu bölümde, silan üretimi ile silan üretimi arasındaki ilişkilendirme sunulmaktadır. Bu bölümde, silan üretimi ile silan üretimi arasındaki ilişkilendirme sunulmaktadır. Bu bölümde, silan üretimi ile silan üretimi arasındaki ilişkilendirme sunulmaktadır. Bu bölümde, silan üretimi ile silan üretimi arasındaki ilişkilendirme sunulmaktadır. Bu bölümde, silan üretimi ile silan üretimi arasındaki ilişkilendirme sunul�니다.

ÖZET

Oksit cam yüzeyler, kimyasal yapılarından dolayı su ile kolaylıkla ıslanarak (hidrofilik) kirlenmeye ve korozyona maruz kalmaktadır. Dolayısıyle, camın temel özelliklerini değiştirmeyen hidrofobik (su itici) ve oleofobik (yağ itici) bir yüzeye sahip olması çok arzu edilmektedir. Doktora çalışmasının konusu saydam, aşınma direncine sahip dayanıklı hidrofobik ve oleofobik cam yüzeylerin oluşumunun incelenmesidir.

Hidrofobik ve oleofobik yüzeyler, alkil veya floroalkil grupların kaplama içerisindeki çeşitli molekül yapılarına bağlanmasıyla elde edilmektedir. Bu grupların kaplama içerisinde yerleştirilmesi genelde kaplama yapısına yumuşaklık vermekte ve ayrı fazlarda birarada bulunmaya yöneliklerinden dolayı kaplamanın saydamlığı azalmaktadır. Dolayısıyle, cam yüzeyiyle güçlü bir şekilde bağlanmış bir kaplamada optik geçirgenlik ve fiziksel sertliğin hidrofobiklikle birleşimi oldukça zordur. Söz konusu üç temel malzeme özelliğinin ticari olarak uygulanabilir bir cam kaplama içerisinde birleştirilebilmesi amacıyla sol-jel sistemiyle cam yüzeyinde sert ve saydam bir kaplama eldesine yönelik çalışmalar gerçekleştirılmıştır.

Sonuç olarak, yapılan araştırmalar ışığında çeşitli testler (Aşındırma, Kaynar su, Gün ışığı, Nemli ve Asidik ortama dayanım testleri) göstergeler olarak kullanılarak mevcut ticari kaplamalardan daha üstün aşınma direncine sahip saydam hidrofobik FS-Silan ve FS-GPTS-Silan sistemlerden oluşan cam kaplamalar geliştirilmiştir. Bu çalışmada, hidrofobik ve oleofobik kaplamaların aşınma dirençleri ilk defa ayrıntılı bir şekilde incelenmiştir. Bununla birlikte, hazırlanan kaplamaların ticari hidrofobik kaplamalarla çok kapsamlı bir şekilde çeşitli testler yardımıyla karşılaştırılması doktora tezinin endüstriye uygulanması açısından önem taşımaktadır.

Anahtar kelimeler: Hidrofobik cam, oleofobik cam, aşınma direnci, sol-jel kaplama, silan.

ABSTRACT

Due to its chemistry, oxide glass surfaces are readily wetted by water (hydrophilic) making it subject to staining and corrosion. It is, therefore, highly desirable to produce a hydrophobic (water repellent) and oleophobic (oil repellent) glass surface without affecting its other properties. The subject of this doctoral work is to investigate the formation of a hydrophobic and oleophobic glass surface by a coating, that is transparent, abrasion resistant, and durable.

Hydrophobic and oleophobic surfaces are normally produced by alkyl or fluoroalkyl groups connected to various molecular structures in coatings. Inclusion of these groups into a coating generally introduces structural softness and reduces transparency due to their tendency to self-assemble into separate phases. The challenge therefore, to combine hydrophobicity with optical transparency and physical hardness in a coating that strongly bonds to the glass surface. In this investigation, various methods were tried to combine these three fundamental material properties in a single glass coating that is commercially viable. In this study, a sol-gel system that would give a hard and transparent film on glass was formulated.

Eventually, the investigation led to the development of a glass coating in the FS-Silane and FS-GPTS-Silane systems that were strongly hydrophobic, transparent, and had superior abrasion resistance than the glasses commercially available in the market today as indicated by various tests (Abrasion, Boiling water, Sunlight, Humidity and Acidic environment resistance tests). In this study, the abrasion resistance of hydrophobic and oleophobic coatings are investigated in detail for the first time. Moreover, the comprehensive comparison of prepared coatings with commercial hydrophobic coatings through intensive testing renders the doctoral thesis important with regards to the industrial applicability of the findings.

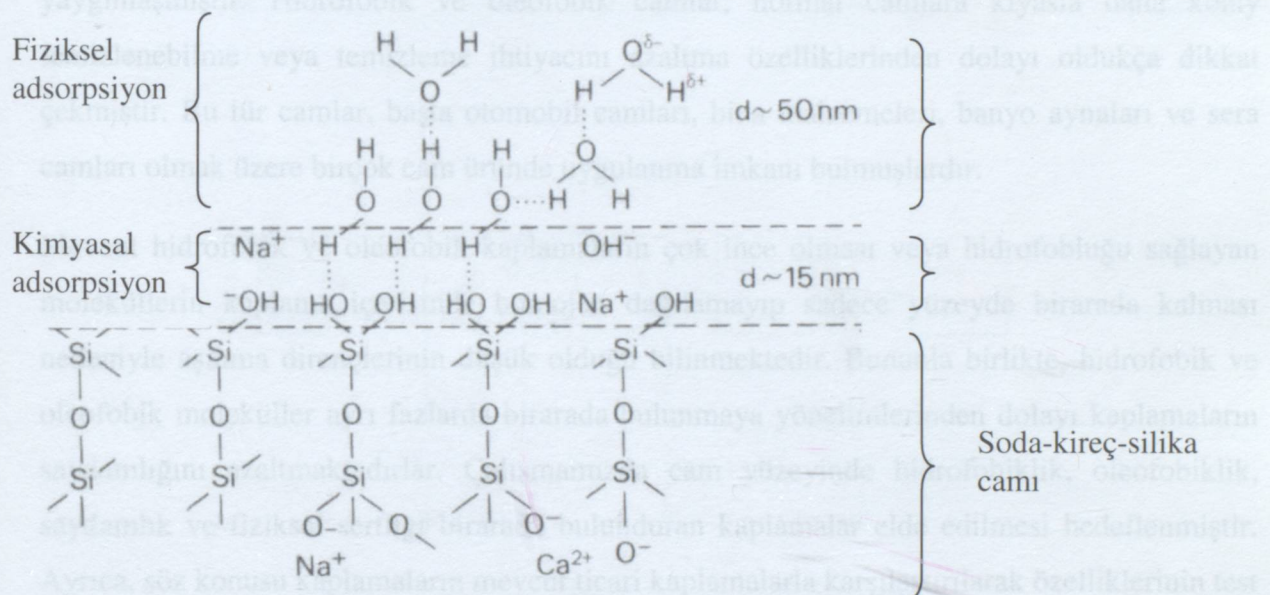
Keywords: Hydrophobic glass, oleophobic glass, abrasion resistance, sol-gel coating, silane.

Şekil 1.1 Su buharının adsorbe olmasıyla cam yüzeyinde oluşan su filminin şematik gösterimli (Pulker, 1984).

Hidrofobik ve oleofobik terimler, Yunanca'dan gelmiş *hiero* = su, *oleo* = yağ ve *fobi* = korku kelimelerinin birleşimi olan 'sudan ve yağından korkan', 'su ve yağ sevmeyen' veya 'su ve yağ içici' anlamlarını taşımaktadır. Hidrofobiklik ve oleofobiklik yüzey kimyası ile yakından ilişkilidir. Hidrofobik ve oleofobik özellikte yüzey aktif maddelerde (sianler) kaplıanan malzemecleri serbest yüzey enerjisi (yüzey-gerilim) düşer. Bu aktif yüzeylere su ve yağ damaları tutkudsuguzdan damlağı yüzeyde ince bir film tabakası yerine dökülmüşler veya su karecikleri şeklinde dönüşür.

1. GİRİŞ

Camın su buharına karşı büyük bir duyarlılığı olduğu bilinmektedir. Camın yapısında az miktarlarda CO_2 , SO_2 , O_2 , N_2 molekülleriyle birlikte bağlı su, yüzeyinde ise hidroksil grupları ve adsorbe olmuş su molekülleri bulunmaktadır. Cam yüzeyinde adsorbe olmuş suyun şematik gösterimi Şekil 1.1'de gösterilmektedir. Fiziksel adsorpsiyonun sadece hidroksil gruplarının kimyasal adsorpsiyonun gerçekleştığı bölgelerdeoluştuğu görülmektedir. Doymamış su buhari içeren bir ortamla temas eden soda-kireç-silika camı, aktif yüzey bölgeleri ile tepkimeye (kimyasal adsorpsiyon) girerek OH^- iyonlarını oluşturur ve kısmi olarak adsorplanmış (fiziksel adsorpsiyon) su molekülliyle çevrilir (Pulker, 1984).



Şekil 1.1 Su buharının adsorbe olmasıyla cam yüzeyinde oluşan su filminin şematik görüntüsü (Pulker, 1984).

Hidrofobik ve oleofobik terimleri, Yunanca'dan gelen *hidro* = su, *oleo* = yağ ve *fobi* = korku kelimelerinin birleşimi olan 'sudan ve yağıdan korkan', 'su ve yağ sevmez' veya 'su ve yağ itici' anlamlarını taşımaktadır. Hidrofobiklik ve oleofobiklik yüzey kimyası ile yakından ilişkilidir. Hidrofobik ve oleofobik özellikte yüzey aktif maddelerle (ajanlar) kaplanan malzemelerin serbest yüzey enerjisi (yüzey gerilimi) düşer. Bu tür yüzeylere su ve yağ damaları bırakıldığı zaman damalar yüzeyde ince bir film tabakası yerine damlacıklar veya su kürecikleri şeklinde dönüşür.

Cam yüzeylerine hidrofobik (su itici) ve oleofobik (yağ itici) özellikler Sol-jel kaplama metodu ile elde edilmektedir. Sol-jel prosesinde metal-organik bileşenlerden gelen anorganikağ-yapıcıların ısıl işlem gerektirmeden ve düşük sıcaklıklarda kondenzasyonu gerçekleşir. Kondenzasyon sonucunda oluşan ara ürün genelde sıvı haldedir ve cam yüzeylerine çeşitli kaplama yöntemleriyle (Daldırma, Püskürtme, Döndürme vb.) kaplanabilir. Cam yüzeylere uygulanan hidrofobik ve oleofobik kaplamalar floroalkil ve alkil zincirler içeren kaplamalardır. Floroalkil içeren kaplamalar hem hidrofobik hem de oleofobik özellikler taşıırken alkil gruplar içeren kaplamalar sadece hidrofobik özellik taşırlar.

Son ~~Y~~ yıllarda, hidrofobik ve oleofobik özelliklere sahip malzemelerin kullanımı yaygınlaşmıştır. Hidrofobik ve oleofobik camlar, normal camlara kıyasla daha kolay temizlenebilme veya temizleme ihtiyacını azaltma özelliklerinden dolayı oldukça dikkat çekmiştir. Bu tür camlar, başta otomobil camları, bina malzemeleri, banyo aynaları ve sera camları olmak üzere birçok cam üzerinde uygulanma imkanı bulmuşlardır.

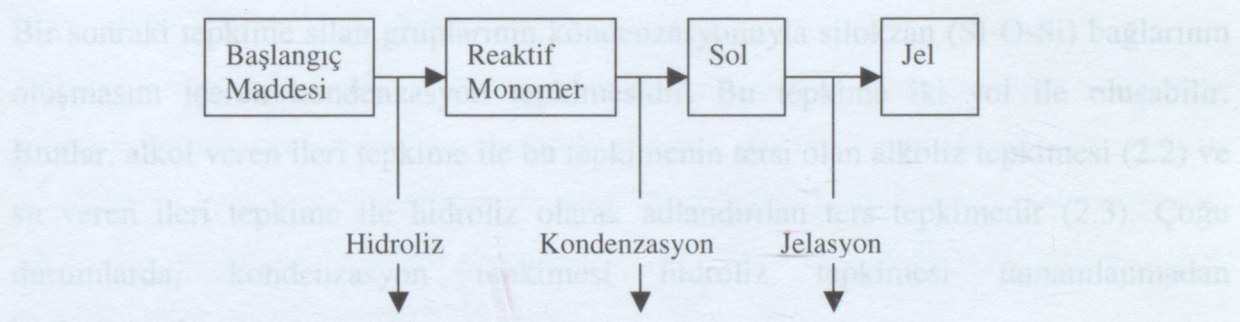
Mevcut hidrofobik ve oleofobik kaplamaların çok ince olması veya hidrofobluğu sağlayan moleküllerin kaplama içerisinde homojen dağılamayıp sadece yüzeye birarada kalması nedeniyle aşınma dirençlerinin düşük olduğu bilinmektedir. Bununla birlikte, hidrofobik ve oleofobik moleküller ayrı fazlarda birarada bulunmaya yöneliklerinden dolayı kaplamaların saydamlığını azaltmaktadır. Çalışmamızda cam yüzeyinde hidrofobiklik, oleofobiklik, saydamlık ve fiziksel sertliği birarada bulunduran kaplamalar elde edilmesi hedeflenmiştir. Ayrıca, söz konusu kaplamaların mevcut ticari kaplamalarla karşılaştırılarak özelliklerinin test edilmesi ve aşınma direncinin ticari hidrofobik kaplamalardan daha yüksek olması amaçlanmıştır.

2. GENEL BİLGİ

Çözümlerinin kimizalarının yoğununun artırılabilirliğindedede geçiş metal atomlarına kırasta
daha düşük reaktiviteye sahip olan ve kontrollü çalışma imkanı verebilen silisyumlu sistemler

2.1 Sol-jel Prosesi

Sol-jel prosesi, düşük sıcaklıklarda ve çözelti ortamında kimyasal tepkime yoluyla anorganik yapıların sentezlenmesidir. Bu tepkimenin en önemli özelliği sıvı halden (çözelti veya koloid çözelti) katı hale (iki veya çok fazlı jel) geçiş imkanı vermesidir (Şekil 2.1). Sol-jel prosesinde, reaktif anorganik monomer veya oligomer oluşturacak herhangi bir başlangıç maddesi kullanılabilir. Sol-jel alanındaki çoğu çalışmada başlangıç maddeleri olarak $M(OR)_n$ formundaki alkoksitler (M : metal, n : değerlik, R : alkil, C_xH_{2x-1}) kullanılmaktadır. Alkoksitler uygun anorganik monomer kaynaklarıdır ve birçok organik çözücüde çözünürler (Schmidt, 1988).



$-Si-OR + H_2O \rightarrow Si-OH + ROH$ (2.2)

Farklı hızlara sahip çeşitli başlangıç malzemeleri
AA; AA'; AA''...
BB; BB'; BB''...
AB; AB'; AB''...

Hidroliz ve kondenzasyon反应速度不同，导致不同的产物。在一般情况下，两个分子的水解速率不同，从而形成不同的产物。

例如， $A...A''$ ：不同的水解速率导致不同的单体。
 $(\text{Ör. } A = SiOH(OR)_3...A'' = Si(OH)_2(OR))$

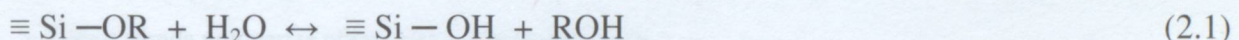
B : B monomer

Şekil 2.1 Hidroliz, kondenzasyon ve hız arasındaki bağıntılar (Schmidt, 1988).
Hidroliz速度不同，导致不同的产物。在一般情况下，两个分子的水解速率不同，从而形成不同的产物。
不同的水解速率导致不同的单体。
 $(\text{Ör. } A = SiOH(OR)_3...A'' = Si(OH)_2(OR))$
B : B monomer

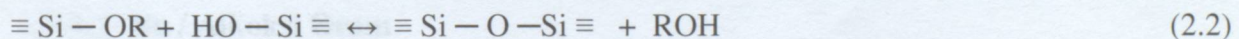
Sol-jel tepkime mekanizmalarının çoğunun anlaşılabilmesinde geçiş metal atomlarına kıyasla daha düşük reaktiviteye sahip olan ve kontrollu çalışma imkanı verebilen silisyumlu sistemler esas alınmıştır. Genelde, bir mineral asit (örn. HCl) veya bazik (örn. NH₃) katalizin varlığında dört fonksiyonlu silisyum alkoksit monomerlerinin sentezinden silika jeller elde edilir.

2.2 Silisyum Alkoksitlerin Hidroliz ve Kondenzasyonu

İlk adımda oluşan tepkime silisyum alkoksitin hidrolizidir. Asidik veya bazik ortamlarda suyun oksijeninin silisyuma nükleofilik etkisiyle hidroliz oluşur ve alkoksi grupları (OR) ile hidroksil grupları (OH) yer değiştirir (2.1). Bu tepkimenin ters tepkimesi ise esterifikasyon tepkimesidir. Alkoksisilanlar ile su birbiriyle karışmadığından dolayı tepkime için homojenleştirici olarak genelde alkol kullanılır.

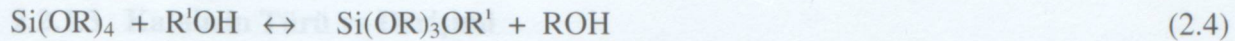


Bir sonraki tepkime silan gruplarının kondenzasyonuyla silokzan (Si-O-Si) bağlarının olmasını içeren kondenzasyon tepkimesidir. Bu tepkime iki yol ile oluşabilir. Bunlar, alkol veren ileri tepkime ile bu tepkimenin tersi olan alkoliz tepkimesi (2.2) ve su veren ileri tepkime ile hidroliz olarak adlandırılan ters tepkimedir (2.3). Çoğu durumlarda, kondenzasyon tepkimesi hidroliz tepkimesi tamamlanmadan başlamaktadır.



Hidroliz ve kondenzasyon tepkimelerinin göreceli hızları son yapıyı belirler. Toplam tepkimede dört mol su harcanır ve tepkimenin tamamlanmasıyla iki mol su tekrar kazanılır. Bir mol metal alkoksitin tamamlanan kondenzasyonundan net olarak dört mol alkol oluşur. Böylelikle, metal alkoksitlerin hidroliz ve kondenzasyonuyla ilişkili olarak kütle miktardında yüksek bir düşüş olur.

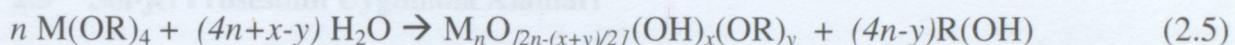
Hidroliz tepkimesi yanında reesterifikasyon, transesterifikasyon, hidroliz gibi yan tepkimeler de oluşur. Transesterifikasyon, başlangıç maddelerindeki alkoksi gruplarından farklı bir alkoksi içeren alkol içinde hidrolizinde oluşan önemli bir diğer yan tepkimedir (2.4). Transesterifikasyon tepkimesinin hızı sekonder ve tersiyer alkoller gibi dallanmış alkollerin olduğu çözücü sistemler kullanılarak azaltılabilir (Brinker ve Sherer, 1990).



Normal şartlarda, tipik bir sol-jel tepkimesinde kinetik nedenlerden dolayı uç bağı olmayan sonsuz bir polimer oluşur ve tüm metal alkoksitlerin dönüşümü % 90'dan daha öteye geçemez. Sonuç olarak, sol-jel prosesi tamamlandıktan sonra jeldeki silisyum atomlarının üzerinde tepkimeye girmemiş bölgeler izlenebilir.

2.2.1 Hidroliz ve Kondenzasyonu Kontrol Eden Faktörler

Hidrolitik polikondenzasyon tepkimeleri kuartzın ağ yapısına benzeyen bir oksit ağ yapısı oluştururlar. Bu tepkimeler, kimyasal bileşimindeki çeşitlilik, moleküller boyut ve uç gruplarının doğası ile derişimi gözönüne alınarak aşağıdaki şekilde yazılabilir;



n = oksit ağında polimerize olmuş metal iyonlarının sayısı

x ve **y** = ağ çevreleyen OH ve OR gruplarının sayısı

Hidroliz şartlarına göre OH ve OR'nin göreceli derişimleri (su/alkoksit oranı), birbirleriyle etkileşim halinde olan moleküller arasındaki ayrışma, tepkime ortamı, kataliz türü, tepkime uzunluğu ve sıcaklık gibi parametreler metal alkoksitlerin hidrolitik polikondenzasyonunu etkiler. Bu parametrelerin herbiri ağ yapısını etkiler ve doğrusal, sıklık veya farklı uç bağ ve uzunluğa sahip çok dallanmış yapılar oluşturur.

2.2.1.1 Su / Alkoksi Oranı

Poliorganosilosan oluşumu, morfolojisini ve boyut dağılımının belirlenmesindeki en önemli parametrelerden biri sisteme giren suyun derişimidir. Su, diğer parametrelere (sıcaklık, katalist vb.) kıyasla moleküller yapıyı oluşturan ve kimyasal tepkimelere doğrudan dahil olan bir bileşendir.

2.2.1.2 Çözelti Derişimi veya Moleküller Ayırışma

Herhangi bir parametreyi değiştirmeden sadece sistemin seyreltilmesiyle moleküller arası ayırışma oranı değiştirilebilir. Seyretilen sistemde bulunan çeşitli moleküllerin hareketliliği daha çok önem taşır. Ayrıca, çözücü olarak molekül ağırlığı düşük veya az dallanmış alkolun bulunduğu sistemlerde oluşan hidroliz tepkimesinden daha büyük bir kondenzasyon oluşur.

2.2.1.3 Katalizin Türü ve Derişimi

Hem hidroliz hem de kondenzasyon tepkimeleri katalizin varlığı ile hızlanır. En çok kullanılan katalizler, mineral asitler (HNO_3 ve HCl) ve amonyaktır (NH_3). Bununla birlikte, mineral asitlerin eşdeğer derişimlerdeki bazlara göre daha etkin olduğu birçok araştırmacı tarafından bildirilmiştir.

2.2.1.4 Isı ve Tepkime Süresi

Yüksek tepkime sıcaklıkları ve tepkime uzunluğu moleküller boyut dağılımını artırır (Yoldas, 1984; 1986; 1993; 1994).

2.3 Sol-jel Prosesinin Uygulama Alanları

Sol-jel prosesiyle malzeme alanında cam, seramik ve nanotoz üretimi yapılmaktadır. Sol-jel prosesiyle çok bileşenli camların hazırlanması 1950 yıllarına kadar uzar. Çok bileşenli oksit cam bileşimlerinin hazırlanmasındaki temel amaç, tüm bileşenlerin çözünmüş ölçüde çözelti halinde olması ve çözelti içerisindeki karışımın moleküller seviyede olmasından dolayı homojen ürünlerin elde edilebilmesidir (Klein, 1988).

Sol-jel prosesinin en geniş uygulama alanı kaplamalardır. Sol-jel prosesi ile tek veya çok bileşenli oksit kaplamalar elde edilebilir. Sol-jel prosesiyle elde edilen çeşitli kaplamalar arasında antireflektif (düşük yansıtma), reflektif (yansıtma), fotokromik (ışıkla etkisi ile renk değiştiren), elektrokromik (elektrik etkisiyle renk değiştiren), antistatik, fotokatalitik, hidrofobik ve oleofobik kaplamalar sayılabilir.

Geleneksel kaplama tekniklerine göre sol-jel prosesinin başlıca avantajları, yüksek homojeniteye veya istenilen inhomojeniteye sahip kaplamaların elde edilebilmesi, büyük veya eğimli malzemelerin basit kaplama cihazları ile kaplanabilmesi, düşük ısıl işlem sıcaklıklarının yeterli olması ve diğer metodlarla üretilmeyecek bazı malzemelerin (Örn. organik-anorganik hibrid malzemeler) elde edilebilmesidir (Uhlmann vd., 1997).

2.4 Sol-jel Prosesinin Kullanıldığı Kaplama Yöntemleri

Sol-jel prosesinde, jelleşme öncesi akışkan sol veya çözelti herhangi bir yüzey üzerine boyalı sektöründe yaygın olarak kullanılan daldırma, püskürme, döndürme, akıtma, serigrafik baskı vb. kaplama teknikleriyle planlanabilir.

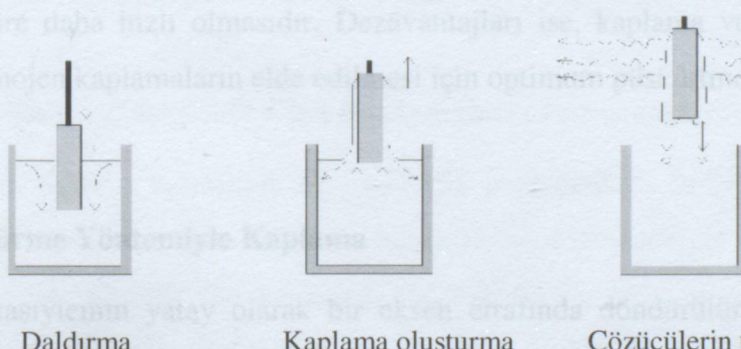
2.4.1 Daldırma Yöntemiyle Kaplama

Daldırma yöntemiyle kaplama, homojen kaplamaların elde edilmesinde kullanılan ve en çok bilinen kaplama yöntemidir. Düzcamın sol-jel çözeltisine daldırıp ardından geri çekilmesiyle cam yüzeyinde ince kaplamalar oluşturulması deneysel ve teorik olarak 30-40 yıl önce Schroeder tarafından incelenmiştir. Schroeder, optik kaplama kalınlığını (nd) eğim açısı, kaplama çözeltisinin derişimi (eşdeğer oksit içeriği) ve çekiş hızına bağlı olarak incelemiştir. Schroeder, geometrik kalınlık (d) ve çekiş hızı (v) arasında (2.6) bağıntısını bulmuş ve bu bağıntıyı teorik olarak açıklamaya çalışmıştır.

$$d = \text{const. } v^{2/3} \quad (2.6)$$

Schroeder'den sonra çeşitli araştırmacılar denklemde bulunan üssel değeri dikkate alarak daldırma tekniğini çalışmışlardır. Bu araştırmacılarından örneğin Yoldaş ve O'Koeffe üssel değerinin $\frac{1}{2}$ değerini aldığı bulmuşlardır. Başka inceleme çalışmalarında ise, üssel değerin $\text{SiO}_2\text{-TiO}_2\text{-ZrO}_2$ alkoksit çözeltilerinde kullanılan çözücüye bağlı olarak $1/10$ değerlerine kadar indiğini ispatlamışlardır. Kaplama kalınlığını etkileyen diğer faktörler buharlaşma yüzey gerilimleri ve kurutma aşamasıdır (Strawbridge ve James, 1986).

Daldırma esnasında alt malzemeye tutunan sıvı film alt malzeme ile birlikte kaplama çözeltisinden dışarıya çekilir ve sıvinin bir kısmı kaplama çözeltisine geri akar. Aynı zamanda bu çekiş esnasında çözücü buharlaşır ve ortaya çıkan etkiler bir dengeye ulaşarak kaplama çekişi boyunca sabit kalınlığa ulaşır. Kaplama prosesi, kaplama çözeltisinin cam yüzeyinde kondense jel oluşturması ile başlar. Kaplanmış camlar daha sonra uygun ıslık işlemler uygulanır. ıslık işlem sırasında cam ile kaplama arasındaki tepkimeler devam eder (Şekil 2.2).



Şekil 2.2 Daldırma yöntemi.

Bu yöntemin avantajları:

- 1) Bir işlemle iki taraflı kaplama yapılabilmesi,
- 2) İyi derecede homojeniteye sahip kaplamalar elde edilmesi,
- 3) Çevreye karşı iyi derecede kararlılığa sahip kaplamalar elde edilmesi (dış mekan kullanımı),
- 4) Kullanılan oksitlerdeki kimyasal çeşitlilik,
- 5) Farklı şekillerdeki düz parçacıkların (çubuk, fiber, boru vb.) kolaylıkla kaplanabilmesidir.

Daldırma yönteminin avantajlarının yanında geniş yüzeyler için büyük daldırma kaplarına ihtiyaç duyulması ve fazla miktarda kaplama çözeltisi gerektirmesi gibi dezavantajları bulunmaktadır (Uhlmann ve Kreidl, 1984; Bach ve Krause, 1997). Daldırma yönteminde kaynama noktası düşük ve dolayısıyla hızlı kuruyan çözüçüler (etanol, izopropanol, v.b.) tercih edilir. Ayrıca, kaplama kompozisyonunda kullanılan çözütünün cam yüzeyini iyi ıslatabilme özelliği taşıması kaplamanın daha homojen olmasını sağlar.

2.4.2 Püskürtme Yöntemiyle Kaplama

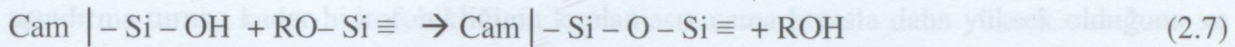
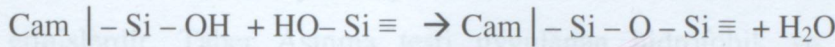
Bu teknikle el tabancası veya sabit püskürtme sistemleri ile düzgün olmayan yüzeyler (şişe, lamba vb.) kolaylıkla kaplanabilmektedir. Kaplamanın kalınlığı, kullanılan tabancanın ağız büyülüğu, çözelti viskozitesi, atış hızı ve mesafesine bağlı olarak değişmektedir. Bu tekniğin avantajları kullanılacak miktar kadar kaplama çözeltisinin hazırlanabilmesi ve daldırma yöntemine göre daha hızlı olmasıdır. Dezavantajları ise, kaplama veriminin yaklaşık %50 olması ve homojen kaplamaların elde edilmesi için optimum püskürtme şartlarını sağlamadaki zorluklardır.

2.4.3 Döndürme Yöntemiyle Kaplama

Bu yöntem, taşıyıcının yatay olarak bir eksen etrafında döndürülürken çözeltinin yüzeye damlatılması ve çözeltinin merkezkaç kuvvetinin etkisiyle taşıyıcı yüzeyine yayılması esasına dayanmaktadır. Döndürme yöntemiyle kaplama mikroelektronik, optik lensler ve gözlük camlarının kaplamasında kullanılmaktadır.

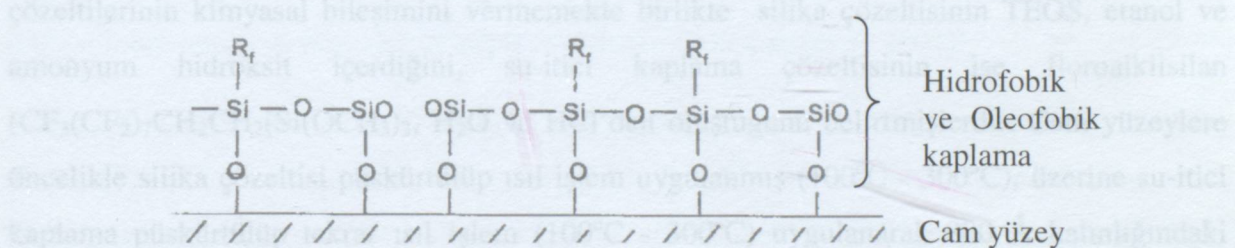
2.5 Sol-jel Prosesiyle Cam Yüzeylerin Kaplanması

Sol-jel prosesiyle cam yüzeyinde hazırlanan kaplama jelinin içerisindeki silanol (Si-OH) grupları cam yüzeyinde bulunan silanol gruplarıyla kondenzasyon tepkimesine girer. Kondenzasyon tepkimesi sonucunda cam ile kaplama arasında güçlü siloksan (Si-O-Si) bağları oluşur (2.7). Kaplama ile cam arasındaki bağlanma gücü kaplamanın dayanımını etkiler (Dislich vd., 1989).



2.6 Camlara Hidrofobik ve Oleofobik Özellikler Kazandırma Çalışmaları

Sol-jel prosesiyle elde edilen hidrofobik ve oleofobik kaplamalar floroalkil gruplarından oluşan zincirler içermektedir. Floroalkil gruplar (R_f) kaplama yüzeyinde birarada bulunarak cam yüzeyinin serbest yüzey enerjisini düşürler (Şekil 2.3). Serbest yüzey enerjisi düşen cam hidrofobik ve oleofobik özellikler kazanır. Florokarbon yerine dallanmış alkil gruplar içeren kaplamalar ise sadece hidrofobik özellik kazanır.



Şekil 2.3 Cam yüzeyinde hidrofobik ve oleofobik kaplama oluşumu.

2.6.1 Hidrofobik ve Oleofobik Cam Kaplamaların Dayanımı

Haas K-H. vd. mevcut hidrofobik ve oleofobik kaplamalarda hidrofoblik ve oleofobluğu sağlayan moleküllerin kaplama içerisine sabitlenmemesi nedeniyle uzun vadede dayanıklı olmadıklarını ve bu tür kaplamaların temizleme işlemi veya mekanik aşınmayı bozulabildiğini belirtmişlerdir. Ayrıca, kaplamaların mekanik davranışının sert taneciklerin esnek bir şekilde elastik yapıya bağlanmasıyla oluşan yapıdan etkilendigini ve kaplamanın kimyasal bileşimine moleküller olarak dağılmış anorganik bileşenler veya sert nanotanecikler [SiO_2 , ZrO_2 ve Al_2O_3 (Bömit) tozları] eklenerek kaplamaların aşınma ve çizilmeye karşı dirençlerinin artırıldığını iddia etmişlerdir. Söz konusu çalışmada, floroalkil alkollerile

izosiyano(propil)trioksitosilanın tepkimeye girmesile elde edilen $\text{CF}_3(\text{CF}_2)_5(\text{CH}_2)_2\text{ONH}(\text{CH}_2)_3\text{Si(OEt)}_3$, $\text{CF}_2\text{H}(\text{CF}_2)_7\text{CH}_2\text{OCONH}(\text{CH}_2)_3\text{Si(OEt)}_3$ florlu bileşenler ve hazır alınan $(\text{CF}_3(\text{CF}_2)_7\text{CH}_2\text{CH}_2\text{Si(OCH}_3)_3$ flor bileşğini vinil-/merkaptosilan esaslı Ormocer® (anorganik-organik kompozit) olarak tanımladıkları kaplama çözeltisine ilave ederek yeni hidrofobik kaplama çözeltileri hazırlamışlardır. Bu kaplama çözeltilerinden elde ettikleri kaplamaları birbirleriyle karşılaştırdıklarında kaplamalar içerisindeki floralkil zincirlerinin uzamasıyla kaplamaların hidrofobiklik ve oleofobikliğinin arttığını tespit etmişlerdir. Taber Aşınma testi uygulanan hidrofobik ve oleofobik kaplamaların 400 aşındırma turuna kadar hidrofobikliğinin kaplamasız cama kıyasla daha yüksek olduğunu ve kaplamaların aşınma dayanımını floralkil silanların etkilemediğini (200 aşındırma turundan sonra %1,8 Pusluluk) belirtmişlerdir. Ayrıca, kaplamalara Nemli ortama dayanım testi uygulamışlar ve kaplamaların temas açısının 95°'ten 89°'a indiğini tespit etmişlerdir (Haas K-H. vd., 1999).

Hong vd. silika çözelti ile su-itici kaplama çözeltisinin hazırlanması ve cam yüzeylere püskürtülüp ısıl işlem uygulanmasını içeren kaplama prosesiyle otomobil cam yüzeylerinde dayanıklı su-itici kaplamalar hazırladıklarını belirtmişlerdir. Hazırladıkları kaplama çözeltilerinin kimyasal bileşimini vermemekle birlikte silika çözeltisinin TEOS, etanol ve amonyum hidroksit içerdigini, su-itici kaplama çözeltisinin ise floroalkilsilan ($\text{CF}_3(\text{CF}_2)_7\text{CH}_2\text{CH}_2\text{Si(OCH}_3)_3$, H_2O ve HCl 'den oluştuğunu belirtmişlerdir. Cam yüzeylere öncelikle silika çözeltisi püskürtülüp ısıl işlem uygulanmış (100°C - 300°C), üzerine su-itici kaplama püskürtülüp tekrar ısıl işlem (100°C - 300°C) uygulanarak 800 Å kalınlığındaki pürüzlü silan katman üzerinde yaklaşık 30-40 Å kalınlığında florokarbon katman oluşturmuşlardır. Söz konusu çalışmada, silan katmanın cam yüzeyinden çıkan alkali difüzyonunu engellediği ve belli bir yüzey pürüzlülüğüne sahip olmasından dolayı üzerindeki su-itici kaplama ile güçlü kimyasal bağlar oluşturarak kaplamaların kimyasal ve mekanik dayanımının artırılmasında rol oynadığını iddia etmişlerdir. Bu tür kaplamaların bozulmasında gün ışığından gelen UV ve ortamdaki su veya alkaliniteden gelen (OH) ile aşınmanın büyük etki yarattığını belirterek, ortamdaki suyun Si-O bağlarını kırarken, gün ışığının Si-C bağlarını kırdığını, aşınma olayın ise yapının su-iticiliğinin bozulmasını hızlandırmada büyük rol oynadığını ifade etmişlerdir. Hazırladıkları kaplamaların 500 Taber aşındırma turundan sonra hidrofobikliğini kaybettiğini belirtmişlerdir. Kaplamaya 2000 saat Hızlandırılmış iklimlendirme (Xenon lamba, 0,35 mW/cm²) testi uygulanmış ve testten sonra temas açılarının 100° civarında olduğunu tespit etmişlerdir.

Akamatsu vd. ise, otomotiv camları için hazırladıkları hidrofobik ve oleofobik kaplamalarda alkoksilan olarak sadece $\text{CF}_3(\text{CF}_2)_7\text{CH}_2\text{CH}_2\text{Si}(\text{OCH}_3)_3$ bileşiği (floroalkiltrimetoksisilan: FS) kullanılmışlardır. 1,0 g FS (ağırlıkça %4), hem su kaynağı hem de kataliz olarak kullanılan sulu nitrik asit çözeltisiyle (ağırlıkça %0,1, 1,0 ve 6,0 nitrik asit) 2-propanol (23,7 g) ortamında hidroliz etmişlerdir. Hazırlanan karışım 2 saat karıştırılarak hidroliz edilmiş ve moleküller elek (4A) ilave edilerek 1-24 saat içerisinde kondenzasyonu gerçekleştirmişlerdir. Yaptıkları çalışmalarda, hidrofobik camların dayanıklılığının artırılması için FS'ın polimerize olmasının gerekliliğini fakat fazla polimerize olmasının durumunda FS'ın cam yüzeyiyle bağ yapmasını sağlayan silanol gruplarının azalarak kaplamanın aşınma dayanımını düşürdüğünü ifade etmişlerdir. Ayrıca, FS'ın asit katalizlenmiş hidroliz tepkimesinin yaklaşık 90 dakika içerisinde tamamlandığını ve FS monomerlerinin tek katman halinde kaplama yüzeyinde polimerize FS'ların ise daha kalın katman halinde kaplama içerisinde sabitlendiğini belirtmişlerdir. Hazırlanan kaplamaların dayanımlarının tespiti için UV Işınlandırma ve Travers tipi Aşındırma testi uygulanmış ve polimerize FS'ın kaplamaların hem aşınma hem de UV-işınlarına karşı direncinde önemli bir rol oynadığını belirtmişlerdir. Ayrıca, çeşitli oranlarda (% 2,5'ten % 20) FS içeren hidrofobik kaplama çözeltileri hazırlayarak elde edilen kaplamalara uygulanan aşınma testiyle, kaplamanın % 5 FS'den fazla FS içerdiginde aşınma dayanımının düşmeye başladığını tespit etmişlerdir (Akamatsu vd., 2001).

Jeong vd. çeşitli oranlarda $\text{CF}_3(\text{CF}_2)_7\text{CH}_2\text{CH}_2\text{Si}(\text{OCH}_3)_3$ (FS) ve tetraetoksisilan (TEOS) içeren (FS/TEOS mol oranı=0,004, 0,005, 0,01, 0,015, 0,02) alkoxi çözeltilerini etanol ile seyreltmiş ve karışımı su ile HCl ilave ederek alkoksitlerin hidrolizini başlatmışlardır. Elde edilen kaplama çözeltisi (mol H_2O /mol alkoxi=10) daldırma yöntemi kullanılarak cam yüzeylerde 4 katlı hidrofobik ve oleofobik kaplamalar hazırlanmıştır. FS/TEOS mol oranı 0,01'den yüksek olan kaplamaların serbest yüzey enerjilerinin (9,3-9,7 dyn/cm) perfloroalkil gruplarının serbest yüzey enerjisi olan 8-9 dyn/cm'ye yakın değerler verdiği için kaplamaların dış katmanlarının tamamıyla perfloroalkil grupları ile kaplanmış olabileceğini belirtmişlerdir. Ayrıca, kaplamalara uygulanan ısıl işlemin (0 - 250°C) yüzeydeki perfloroalkil gruplarının zenginleştirilmesi yönünde bir etki yaratmadığını ve ısıl işlem sıcaklığında 250°C'dan yukarı çıktığında ise perfloroalkil gruplarının bozulmasından dolayı kaplamaların hidrofobik özelliğini yitirdiğini açıklamışlardır (Jeong vd., 2001).

E.D. Şam vd. hidrofobik kaplamaların sıcaklığa karşı direncinin incelenmesi amacıyla yaptıkları çalışmada $\text{CF}_3(\text{CF}_2)_7\text{CH}_2\text{CH}_2\text{Si}(\text{OCH}_3)_3$ (%0,5-%4), 20,8 g TEOS, 79 g etanol, 7,74 g H_2O , 0,42 g HCl içeren kaplama çözeltileri hazırlayarak bu kaplama çözeltilerini

daldırma yöntemiyle cam yüzeylerine uygulamışlardır. Söz konusu çalışmada hazırlanan kaplamaların hidrofobik özellikleri sıcaklığa karşı (200°C - 350°C) incelenmiş ve tüm kaplamaların hidrofobik özelliklerini 300°C 'a kadar koruduğu tespit edilmişlerdir (E.D. Şam vd., 2004).

Pilotek ve Schmidt 9,61 g (46.1 mmol) TEOS, 2,31 g (4,5 mmol) 1H, 2H, 2H-perflorooktiltrikotsilan, 1,85 ml (103 mmol) izopropanol içerisinde 0,1N sulu HCl içeren kaplama çözeltilerine çeşitli boyutlarda (10 nm – 100 nm) silika nanotanecikler ilave ederek bu çözeltileri cam yüzeylere döndürme yöntemiyle uygulamışlardır. Elde edilen hidrofobik ve oleofobik kaplama yüzeyleri için uygun yüzey karakteristiği sağlandığında ıslanabilirlikte genel bir değişim ve temas açılarında anlamlı bir artış olduğunu belirtmişlerdir. Ayrıca, kaplamaların morfolojilerini kaplamanın kimyasal bileşimindeki silan taneciklerin boyutu, agregasyon derecesi ve derişimini değiştirerek kontrol etmişlerdir. Kaplamanın kimyasal bileşiminde kullanılan silika tozlardan dumanlı silika ile süper hidrofobik (temas açısı: 160°) fakat saydam olmayan kaplamalar elde etmişlerdir (Pilotek ve Schmidt, 2003).

Kamitami ve Teranishi (2003) cam yüzeylerde kimyasal kompozisyonlarını vermeyip sadece floroalkilsilan (FS) ve Polidimetoktsilan (PDMS) içeren kaplamalar olarak tanımladıkları kaplamaları temas açısı, kayma açısı ve dayanıklılık (6 ay süreli dış mekan-iklimlendirme, silecek-aşındırma testleri) açısından karşılaştırmış ve dayanıklılık açısından FS içeren kaplamanın PDMS içeren kaplamadan çok daha iyi olduğunu ortaya koymuşlardır.

3. MALZEME VE YÖNTEM

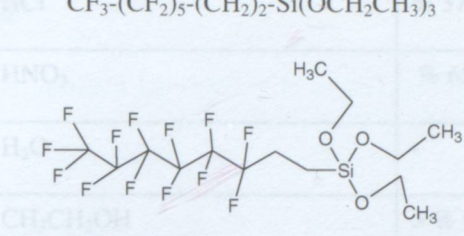
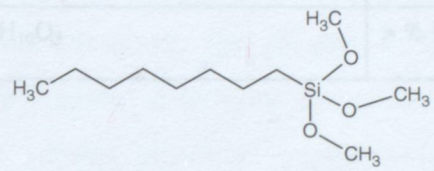
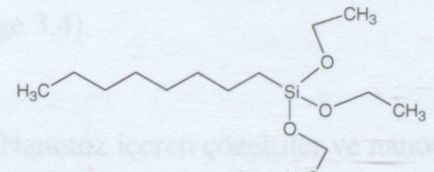
3.1 Kullanılan Kimyasallar

Kaplamların hazırlanmasında kullanılan çeşitli monomerler ile ağ yapıcı ve hidrofobik özellik verici başlangıç maddeleri kimyasal yapıları, saflık dereceleri ve üretici firmaları ile birlikte Çizelge 3.1 ve 3.2'de verilmektedir.

Çizelge 3.1 Monomerler ve anorganik ağ yapıcı başlangıç maddeleri.

Kimyasal Adı	Kısa Adı	Kimyasal Formülü	Saflik Derecesi	Üretici Firma
3-Glisidoksi propiltrimetoksi silan	GPTS	$[(\text{OCH}_2\text{CH})\text{CH}_2\text{OCH}_2\text{CH}_2\text{CH}_2]\text{Si}(\text{OCH}_3)_3$	> % 98	Dynasylan
Tetraetoksilsilan	TEOS	$\text{Si}(\text{OCH}_2\text{CH}_3)_4$	> % 98	Dynasylan
Aluminyum-tri-sek-butoksit	$\text{Al}(\text{O}^{\circ}\text{Bu})_3$	$\text{Al}[\text{O}(\text{CH}_3)\text{CHC}_2\text{H}_5]_3$	> % 97	Abr

Çizelge 3.2 Hidrofobik özellik verici başlangıç maddeleri.

Kimyasal Adı	Kısa Adı	Kimyasal Formülü	Üretici Firma
3,3,4,4,5,5,6,6,7,7, 8,8,8-tridekafloro oktiltrietoksilan	FS		Degussa
Oktiltrimetoksi silan	OCTMO		Dynasylan
Oktiltrietoksi Silan	OCTEO		Dynasylan
Fluorolink C	FC	-COOH fonksiyonel grubu taşıyan ve %61 flor içeren oligomer	Solvay Solexis
Fluorolink D10-H	FD10-H	-OH fonksiyonel grubu taşıyan ve %61 flor içeren oligomer	Solvay Solexis
Zonyl BA-L	BA-L	$F(CF_2)_nCH_2CH_2OH$, n:7-8, %70 flor	Aldrich

Başlangıç maddelerinin hidrolizi için saf su, hidroliz ve kondenzasyon tepkimelerinin hızlandırılması için ise HCl veya HNO_3 asitleri kullanılmıştır. Tüm tepkimeler etanol veya izopropanol içerisinde gerçekleştirılmıştır. Ayrıca, alüminyum-tri-sek-butoksit monomerinin modifikasyonu için etilasetoasetat kullanılmıştır (Çizelge 3.3).

3.2.1 Düz Çizelge 3.3 Kaplama çözeltilerinde kullanılan asitler ve çözüçüler.

Kimyasal Adı	Kısa Adı	Kimyasal Formülü	Saflik Derecesi	Üretici Firma
Hidroklorik asit	HCl	HCl	% 37	Merck
Nitrik asit	HNO ₃	HNO ₃	% 65	Merck
Saf su	H ₂ O	H ₂ O	-	-
Etanol	EtOH	CH ₃ CH ₂ OH	> % 99,8	Riedel de Haen
Izopropanol	IPA	(CH ₃) ₂ CHOH	> % 99,5	Merck
Etilasetoasetat	HacacOEt	C ₆ H ₁₀ O ₃	> % 99.0	Riedel de Haen

Kaplama çözeltilerde kullanılmış olan asitlerin kimyasal formülleri, saflik dereceleri ve üreticileri Çizelge 3.3'de verilmiştir. Kaplamaların aşınma direncinin artırılması amacıyla kaplama çözeltilerine amorf silisyum dioksit içeren asidik sulu ile asidik izopropanollu suspansiyonlar ve alüminyum okzohidroksit nanotozlar ilave edilmiştir (Çizelge 3.4).

Çizelge 3.4 Nanotoz içeren çözeltiler ve nanotozlar.

Malzeme Adı	Malzeme İçeriği	Üretici Firma
Organosilikasol	%30 g/g kolloidal (10-15 nm) amorf SiO ₂ içeren asidik IPA suspansiyonu	Nissan
Levasil 200S	% 30 g/g kolloidal (200m ² /g) amorf SiO ₂ içeren asidik sulu suspansiyonu	Bayer
Bömit P3	20 nm lik alüminyum okzohidroksit nanotozlar	Sasol

3.2 Kaplanacak Düzcamların Hazırlanması

Belirli boyutlarda kesilen soda-kireç-silika düzcamlar, endüstriyel uygulamalarda kullanılan özel yıkama sistemi ile temizlenerek kaplama işlemeye hazır hale getirilmiştir.

3.2.1 Düzcamların Temin edilmesi

Çalışmalar süresince kullanılan 3 mm kalınlığında ve (30 x 30) cm² boyutlarındaki düzcamlar Trakya Cam Fabrikası'ndan temin edilmiştir.

3.2.2 Düzcamların Kesilmesi

Temin edilen düzcamlar Cam Araştırma Merkezi'nde elmas kesici yardımı ile (10 x 10) cm² boyutlarında kesilmiştir.

3.2.3 Düzcam Yüzeylerinin Temizlenmesi

Cam yüzeyler ile kaplamalar arasında istenilen nitelikte bağ oluşturulabilmesi için cam yüzeyler kaplanmadan önce temiz olmalıdır. Bu çalışma süresince, düzcamlar kaplama işlemine geçmeden önce sırasıyla yıkama ve kurutma işlemlerine tabi tutulmuştur. Yıkama işlemi, WV -120/90 FinnSonic yıkama cihazında yapılmıştır. Bu cihaz 5 ayrı tanktan oluşmaktadır. Birinci tank % 3 – 10 Sodyum hidroksit içeren bazik bir çözelti (pH: 9), ikinci tank saf su, üçüncü tank % 2 – 4 Fosforik asit (pH: 1) içeren aïsidik bir çözelti, dördüncü ve beşinci tanklar ise saf su içermektedir. Tanklar önceden 60°C'ye ıstırılmıştır. Camlar, önce 9 dakika birinci tankta tutulduktan sonra saf su içeren ikinci tanka alınmıştır. İkinci tankta durulanın alınan camlar üçüncü tankta 9 dakika bekletildikten sonra sırasıyla ikinci, dördüncü ve beşinci tanklarda durulanmıştır. Kurutma işlemi maksimum 120°C'ye çıkabilecek CRD-90 FinnSonic kurutma cihazında 100°C'da 8 - 10 dakika tutularak sağlanmıştır.

3.3 Kaplama Prosesi

Düzcamlar Daldırarak kaplama yöntemiyle kaplanmış ve cam yüzeylerinde yaş halde elde edilen kaplamalar etüv içerisinde kurutulup sertleştirilmiştir.

3.3.1 Kaplama Yöntemi

Kaplama yöntemi olarak düzcam kaplama yöntemlerinden biri olan ve homojen kaplamaların elde edilmesini sağlayan Daldırarak kaplama (Dip-coating) yöntemi kullanılmıştır. Daldırarak kaplama cihazı (Chemat Dip Master 201) içerisinde tutulan düzcamlar kaplama çözeltisini içeren daldırma kabına sabit hızla daldırılıp 3 saniye süresince tutulduktan sonra belirli hızlarla geri çekilerek kaplanmıştır. Bu cihazda en yüksek çekme hızı 12 inç/dk, (30,48 cm/dk) ve en düşük çekme hızı 1 inç/dk (2,54 cm/dk) dir.

3.3.2 Kaplamalara Uygulanan Isı İşlem

Düzcamlar yüzeylerinde elde edilen yaş kaplamalar 300°C 'a kadar çıkabilen etüv (WTW Binder) içerisinde 150°C sıcaklıkta 1 saat süresince kürleştirilerek sertleşmiştir.

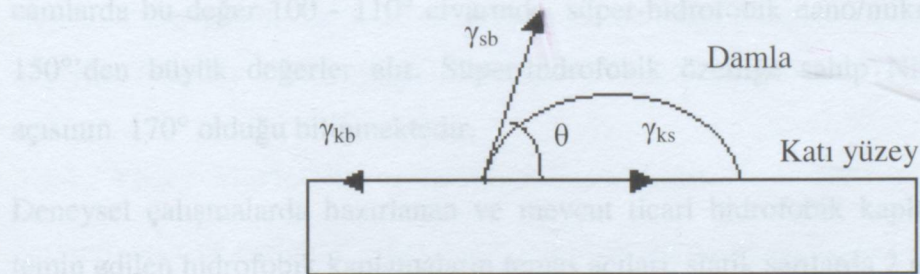
3.4 Hidrofobik Kaplamaların Karakterizasyonu

Kaplama analizlenmesinde birçok analitiksel teknik kullanılmıştır. Temas açısı ölçümleri ile kaplamaların temas açıları ve serbest yüzey enerjileri, Taramalı Elektron Mikroskop ile yüzey morfolojileri ve kalınlık ölçümleri, Pusluluk ölçümleriyle ise optik özellikleri tespit edilmiştir.

3.4.1 Temas Açısı

Hidrofobik kaplamalar, en genel ifade ile kaplama yüzeylerinin üzerine bırakılan sıvı damalarının yüzeye yaptıkları temas açılarıyla (θ) karakterize edilir. Temas açısı, damanın katı-sıvı, katı-buhar ve sıvı-buhar ara yüzeylerinin çakıştığı yer ile katı yüzey arasında oluşan açıdır (Şekil 3.1).

Temas açısı değerinin 80° den küçük olması sırınlı yüzeyi iyi istemeye bütünsüz kılmaktır. 150° den büyük değerler ise sırınlı yüzeyi iyi istemektedir. Düzeyin temas açısı $15-20^{\circ}$ civarında olken, hidrofobik camlarda bu değer $100-110^{\circ}$ civarındadır. Sıvıların kimyasal yapısı yüzeyinde ise 180° den büyük değerler sırınlı yüzeyi iyi istemektedir. 170° olduğunda sırınlı yüzeyi iyi istemektedir.



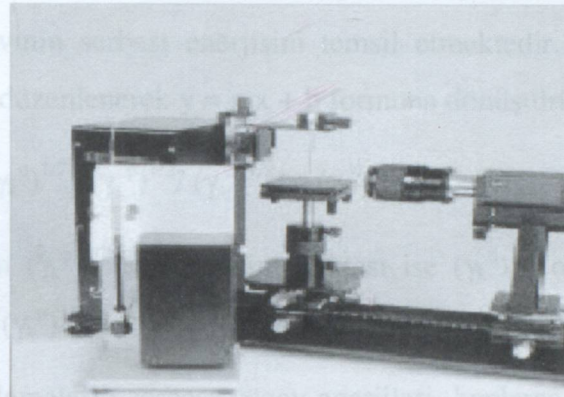
Şekil 3.1 Temas açısı.

Temas açısı, malzemelerin termodinamiği açısından dikkate alındığında üç faz arasındaki serbest ara yüzey enerjilerini içeren Young denklemi ile ifade edilebilir (3.1).

$$\gamma_{sb} \cos\theta = \gamma_{kb} - \gamma_{ks} \quad (3.1)$$

γ_{sb} , γ_{kb} , γ_{ks} , sırasıyla sıvı/buhar, katı/buhar ve katı/sıvı ara yüzeylerinin serbest enerjileridir. Niteliksel formda olan bu denklem, 1805 yılında Young tarafından oluşturulmuş ve genel kabul görmüştür. Üç sınır faz arasındaki etkileşim damanının şeklini ve katı yüzeyi iyi veya

kötü ıslattığını belirler. Temas açısı ölçümü, Young-Laplace metodunu esas alır. Yüzeydeki damlanın şekli optik goniometre ile ölçülür. Bir optik goniometrenin temel elemanları ışık kaynağı, örnek platformu, lens ve imaj alıcısıdır (Şekil 3.2). Bilgisayar yazılımı damla profilindeki tüm noktalardan yararlanarak Young denklemini damlanın şekline uyarlar.



Şekil 3.2 Temas açısı ölçüm cihazı (KSV, CAM 200 modeli).

Temas açısı değerinin 80° ’den küçük olması suyun katı yüzeyi iyi ıslattığını büyük olması ise zayıf ıslattığını ifade etmektedir. Düzcamın temas açısı $15\text{--}30^\circ$ civarında iken, hidrofobik camlarda bu değer $100\text{--}110^\circ$ civarında, süper-hidrofobik nano/mikro yapılı yüzeylerde ise 150° ’den büyük değerler alır. Süper-hidrofobik özelliğe sahip Nilüfer yaprağının temas açısının 170° olduğu bilinmektedir.

Deneysel çalışmalarda hazırlanan ve mevcut ticari hidrofobik kaplama üreten firmalardan temin edilen hidrofobik kaplamaların temas açıları, statik şartlarda $2 \mu\text{l}$ hacminde sıvı (saf su, n-hekzan) damlacığın yatay halde tutulan düzcam yüzeylerinin dört farklı yerine bırakılıp, her bir damlacığın 5 saniye içerisinde cam yüzeyi ile yaptığı açıların Temas açısı ölçüm cihazıyla (Contact Angle Meter, KSV, CAM 200 model) ölçülüp ortalaması (damlacığın sağ ve sol taraflarından 5’er adet) alınarak tespit edilmiştir.

3.4.2 Serbest Yüzey Enerjisi

Temas açısı ölçümleri sıvı-katı arayüzey termodinamiklerini yansitan veriler oluşturur. Sadece, katı yüzeyin termodinamiğinin karakterizasyonu daha ayrıntılı analiz gerektirir. Genel yaklaşım, birden fazla test sıvısı ile yüzeyin temas açılarının ölçülmesinin ardından çeşitli denklemlerle üretilen parametrelerle katı yüzeyin enerjisinin karakterize edilmesidir.

Fowkes Teorisi yaklaşımı, özellikle yüzey enerjisini dağıtıcı (dispersive) ve polar bileşenlere ayırır ve geometrik ortalama yaklaşımıyla bu bileşenlerden gelen katkıları birleştirerek serbest yüzey enerjisini hesaplar (3.2).

$$\gamma_s (1+\cos\theta) = 2 [\gamma_s^p \gamma_k^p]^{1/2} + [\gamma_s^d \gamma_k^d]^{1/2} \quad (3.2)$$

p: serbest yüzey enerjisinin polar bileşenini, d: dağıtıcı bileşenini, θ : temas açısını, γ_k : katının serbest enerjisini, γ_s : sıvının serbest enerjisini temsil etmektedir. Bu denklem, Owens ve Wendt tarafından tekrar düzenlenerek $y = mx + b$ formuna dönüştürülmüştür (3.3).

$$\gamma_s (1+\cos\theta) / [\gamma_s^d]^{1/2} = (\gamma_k^p)^{1/2} [(\gamma_s^p)^{1/2} / (\gamma_s^d)^{1/2}] + (\gamma_k^d)^{1/2} \quad (3.3)$$

Bu denkleme göre eğim $(\gamma_k^p)^{1/2}$, y-kesişim noktası ise $(\gamma_k^d)^{1/2}$ olmaktadır. Serbest yüzey enerjisi bileşenleri olan $(\gamma_k^p)^{1/2}$ ile $(\gamma_k^d)^{1/2}$ toplamından elde edilmektedir (Adamson, 1982).

Çalışmamızda, tüm kaplamaların serbest yüzey enerjileri, kaplama yüzeylerine bırakılan saf su ve hekzadekan damlacıklarının yüzeye yaptığı temas açılarının kullanıldığı Fowkes Teorisinin Temas Açıları ölçüm cihazının bilgisayar yazılımında hesaplanmasıyla belirlenmiştir (CAM 200 Optical Contact Angle Meter Instruction Manual).

3.4.3 Pusluluk

Kaplama aşınma testinden önce ve sonra tek dalga boyunda (550 nm) % Pusluluk (Haze) değerleri Pusluluk ölçüm cihazı (BYK Guard Dual Hazemeter) ile tespit edilmiştir.

3.4.4 Yüzey Morfolojisi ve Kaplama Kalınlıkları

Seryum oksit ile parlatılmış dikey halde epoksiye gömdürülen kaplamalı düzcamların yüzey ve çapraz kesitten morfolojik incelemeleri Taramalı Elektron Mikroskop cihazı (SEM, JEOL 6360) ile gözlenmiştir. Ayrıca, kaplamaların çapraz kesitlerinden kaplama kalınlıkları tespit edilmiştir.

3.5 Hidrofobik Kaplama Çözeltisi ve Jellerinin IR Spektrumları

Kaplama çözeltileri CCl_4 içerisinde seyreltilmekten sonra FT-IR spektroskopisinin (Perkin Elmer, Spectrum GX) ZnSe kristali taşıyan ve iç yansıtma sağlayan Düzlemsel olarak Azaltılmış Toplam Yansıtma aksesuarına (HATR, Horizontal Attenuated Total Reflectance) damlatılmış ve $4000 - 800 \text{ cm}^{-1}$ dalga boyu aralığında tarama sayısı 32, çözünürlüğü 4 cm^{-1} olan IR spektrumları elde edilmiştir.

Kaplamlar cam yüzeyindeyken FT-IR spektrumlarının alınması istenmiş fakat bu çalışma için kaplama kalınlığının yaklaşık $20\text{ }\mu\text{m}$ olması gerektiğinden söz konusu çalışma sağılıklı olarak yapılamamıştır. Dolayısıyle, kaplama çözeltileri oda sıcaklığında bekletilip jel haline getirildikten sonra 1,25 mg tartılıp 125 mg KBr ile karıştırılarak tablet haline getirilmiş ve $4000 - 400\text{ cm}^{-1}$ dalga boyu aralığında IR spektrumları alınmıştır.

3.7.4 Gün Işığına Dayanan Testler

3.6 Etilasetoasetat ile Modifiye edilmiş Alüminyum-tri-sek-butoksitin IR ve UV Spektrumları

Etilasetat ile modifiye edilmiş alüminyum-tri-sek-butoksit ve etilasetat CCl_4 içerisinde seyreltildikten sonra FT-IR spektroskopisinin HATR aksesuarına damlatılmış ve $4000 - 800\text{ cm}^{-1}$ dalgaboyu aralığında tarama sayısı 32, çözünürlüğü 4 cm^{-1} olan IR spektrumları elde edilmiştir. Ayrıca, etilasetat ile modifiye edilmiş alüminyum-tri-sek-butoksit ve etilasetat n-hekzanda seyreltildikten sonra kuvars küvete aktarılmış ve UV-Spektroskopisi (Perkin Elmer, Lambda 35 UV/VIS Spectrometer) ile UV-spektrumları elde edilmiştir.

İçerisinde sabit bir sırnaklıkta kökfü disklerle döşeyen en atmosferde manzur tutulmuştur.

3.7 Hidrofobik Kaplamalara Uygulanan Genel Testler

Kaplamlara uygulanan testler kısa sürede gerçekleştirilen Aşınma, Kaynar su testleri ile uzun süreli iklimlendirme testlerinden Gün ışığı, Nemli ve Asidik ortama dayanım testlerini içermektedir. Herhangi bir testten sonra kaplamaların temas açısının 80° 'nin üzerinde olması söz konusu testi geçiklerini, 80° 'nin altına düşmesi ise göstermektedir.

3.7.1 Aşınma Testi

Kaplamların aşınmaya karşı dirençlerinin değerlendirilmesi amacıyla uygulanan bu test, $(10 \times 10)\text{ cm}^2$ boyutunda kaplamalı camların çift başlıklı alüminyum oksit seramik tanecikler içeren kauçuk yapıda CS-10F diskler taşıyan Aşınma test cihazında (Taber, 5151) 500 gram yük uygulanılarak 1 tur/s hızla aşındırılmasıyla gerçekleştirilmiştir.

3.7.2 Kaynar Su Testi

Kaplama ile cam arasında oluşan kimyasal bağlanma kuvvetinin bir göstergesi olan bu teste kaplamalar bir saat süresince kaynar su içerisinde tutulmuştur.

3.7.3 Nemli Ortama Dayanım Testi

Kaplama yüzeyinde nemli ortam oluşturarak yağmur ve çığ oluşumu ile nem yoğunmasını temsil eden bu teste kaplamalar Nem kabininde (Ascott, H450t) 40°C ve % 95 bağıl nem ortamında toplam 21 gün tutulmuştur.

3.7.4 Gün Işığına Dayanım Testi

Kaplamların gün ışığına karşı dirençleri hızlandırılmış Gün ışığına dayanım test cihazı (Suntest, XLS+) ile tespit edilmiştir. Kaplamalar, cihazda çeşitli sürelerde 300 - 800 nm (UV-VIS-IR) dalgaboyu aralığında toplam 1008 saat süresince 765 W/m^2 ışınlandırmaya maruz tutulmuştur.

3.7.5 Asidik Ortama Dayanım Testi

Kaplamların sanayi ortamlarına veya asit yağmurlarına maruz kalma durumlarını modelleyen bu teste, kaplamalar 3 gün üstüste 8'er saat Kesternich kabin (CW Specialist, HK 310 M) içerisinde sabit bir sıcaklıkta küükürt dioksitle doygun bir atmosfere maruz tutulmuştur.

4. DENEYSEL KISIM

Bu çalışmada, öncelikle Silan ve GPTS-Silan esaslı iki tür kaplama çözeltisi hazırlanmıştır. Daha sonra, her iki kaplama çözeltisine 3,3,4,4,5,5,6,6,7,7,8,8,8-tridekaflorooktiltrietoksisilan (FS) ilave edilerek hidrofobik ve oleofobik özellikler kazandırılmıştır. Ayrıca, Silan ve GPTS-Silan çözeltilerine FS yerine oktiltrimetoksisilan (OCTMO), oktiltrietoksisilan (OCTEO), Zonyl BA-L (ZBA-L) Florolink D10-H (FC) ve Florolink COOH (FC) kimyasalları ilave edilerek alternatif hidrofobik kaplama çözeltilerinin hazırlanması yönünde çalışmalar yapılmıştır.

4.1 Silan Kaplama Çözeltisinin Hazırlanışı

0,1 mol (20,8 g) TEOS, 71 g etanol (EtOH) içerisinde karıştırılmış ve çözelti karışırken üzerine sırasıyla 0,4 mol (7,2 g) saf su (H_2O /alkoksi mol oranı: 4) ve 0,006 mol (0,4 g) derişik Nitrik asit ilave edilmiştir.

4.2 Hidrofobik Silan Kaplama Çözeltilerinin Hazırlanışı

Çeşitli miktarlarda FS ile 0,1 mol (20,8 g) TEOS, 71 g etanol (EtOH) içerisinde karıştırılmış ve çözelti karışırken üzerine sırasıyla 0,4 mol (7,2 g) saf su ve 0,006 mol (0,4 g) derişik nitrik asit ilave edilmiştir. FS-Silan kaplama çözeltileri olarak tanımlanan bu çözeltilerin kimyasal bileşimi Çizelge 4.1'de verilmiştir. Oda sıcaklığında manyetik karıştırıcı üzerine karıştırılan çözeltilerin berrak ve cam yüzeylerini iyi ıslatan çözeltiler olduğu gözlenmiştir.

Çizelge 4.1 FS-Silan kaplama çözeltilerinin kimyasal bileşimi.

Kaplama Çözeltisi (KÇ)	KÇ-01	KÇ-02	KÇ-03
FS/TEOS mol oranı:	0,005	0,010	0,020
Miktar (g)			
FS	0,25	0,50	1,00
TEOS	20,8	20,8	20,8
EtOH	71,0	71,0	71,0
H_2O	7,2	7,2	7,2
HNO_3	0,4	0,4	0,4

Hidrofobik FS-Silan kaplama çözeltilerine alternatif olarak Silan kaplama çözeltisine hidrofobik özellik verebilecek kimyasallardan OCTMO, OCTEO, ZBA-L, FD10-H ve FC ilave edilmiştir. Çözeltilerin hazırlanışı aşağıda detaylı olarak verilmiştir.

0,001 mol (0,23 g) OCTMO ile 0,1 mol (20,8 g) TEOS, 71 g etanol (EtOH) içerisinde karıştırmış ve çözelti karışırken üzerine sırasıyla 0,4 mol (7,2 g) saf su ve 0,006 mol (0,4 g) derişik Nitrik asit ilave edilmiştir. OCTMO-Silan kaplama çözeltisi (OCTMO/TEOS mol oranı: 0,01) olarak tanımlanan bu çözeltinin berrak ve cam yüzeylerini iyi ıslatan bir çözelti olduğu gözlenmiştir.

0,001 mol (0,28 g) OCTEO ile 0,1 mol (20,8 g) TEOS, 71 g etanol (EtOH) içerisinde karıştırmış ve çözelti karışırken üzerine sırasıyla 0,4 mol (7,2 g) saf su ve 0,006 mol (0,4 g) derişik Nitrik asit ilave edilmiştir. OCTEO-Silan kaplama çözeltisi (OCTEO/TEOS mol oranı: 0,01) olarak tanımlanan bu çözeltinin berrak olmadığı ve cam yüzeylerinde saydam görüntü vermediği gözlenmiştir.

0,001 mol (0,44 g) ZBA-L ile 0,1 mol (20,8 g) TEOS, 71 g etanol (EtOH) içerisinde karıştırmış ve çözelti karışırken üzerine sırasıyla 0,4 mol (7,2 g) saf su ve 0,006 mol (0,4 g) derişik Nitrik asit ilave edilmiştir. ZBA-L-Silan kaplama çözeltisi (ZBA-L/TEOS mol oranı: 0,01) olarak tanımlanan bu çözeltinin cam yüzeyini iyi ıslatamadığından dolayı kaplayamadığı gözlenmiştir.

0,001 mol (1,35 g) FD10H ile 0,1 mol (20,8 g) TEOS, 71 g etanol (EtOH) içerisinde karıştırmış ve çözelti karışırken üzerine sırasıyla 0,4 mol (7,2 g) saf su ve 0,006 mol (0,4 g) derişik Nitrik asit ilave edilmiştir. FD10H-Silan kaplama çözeltisi (FD10-H/TEOS mol oranı: 0,01) olarak tanımlanan bu çözeltinin berrak olmadığı ve cam yüzeylerinde saydam görüntü vermediği gözlenmiştir.

0,001 (1,97 g) FC ile 0,1 mol (20,8 g) TEOS, 71 g etanol (EtOH) içerisinde karıştırmış ve çözelti karışırken üzerine sırasıyla 0,4 mol (7,2 g) saf su ve 0,006 mol (0,4 g) derişik Nitrik asit ilave edilmiştir. FC-Silan kaplama çözeltisi (FC/TEOS mol oranı: 0,01) olarak tanımlanan bu çözeltinin berrak olmadığı ve cam yüzeylerinde saydam görüntü vermediği gözlenmiştir.

4.2.1 Nanotoz içeren FS-Silan Kaplamaların Hazırlanışı

FS-Silan kaplamaların aşınma direncini artırılması amacıyla kaplama çözeltilerine nanotozlar ilave edilmiştir. Amorf SiO_2 nanotozları su içerisinde (Levasil 200S) ve izopropanol içerisinde (Organosilikasol), aluminyum okzohidroksit nanotozlar (Bömit) ise toz halinde kaplama çözeltilerine ilave edilmiştir.

Öncelikle, FS-Silan kaplama çözeltisine hidroliz için kullanılan su yerine Levasil 200S (pH: 4,00) ilave edilmiş fakat bulanık bir çözelti elde edildiği için kaplama yapılamamıştır. Daha sonra, FS-Silan kaplama çözeltisinde bulunan etanol yerine organosilikasol (pH: 1,74) kullanılmış ve bulanık görüntülü bir kaplama çözeltisi elde edilmiştir. Ayrıca, FS-Silan kaplama çözeltisi yeniden hazırlanmış ve içerisinde ağırlıkça %10, %1, % 0,5 Bömit ilave edilmiş fakat elde edilen kaplamaların yeterince saydam ve homojen olmadığı gözlenmiştir.

4.3 GPTS-Silan Kaplama Çözeltilerinin Hazırlanışı

Kaplama çözeltisinde bulunan GPTS'te bulunan epoksi zincirlerinin açılmasını sağlayacak olan alüminyum-tri-sek-butoksitin kararlı halde kullanılabilmesi amacıyla alüminyum-tri-sek-butoksit $[\text{Al}(\text{BuO}^{\circ})_3]$ kaplama çözeltisine ilave edilmeden önce etilasetoasetat ile (1:1) mol oranında karıştırılmıştır.

$\text{Al}(\text{BuO}^{\circ})_3$ azot ortamı sağlayan Glove-Box (Megaplex) içerisinde plastik behere aktarılmış ve beherin kapağı azot ortamından çıkmadan önce kapatılmıştır. Oda ortamına çıkarıldıkten sonra üzerine hızlıca (1:1) mol oranında etilasetoasetat ile ilave edilerek karıştırılmıştır. Tepkime ekzotermik olduğu için karıştırma işlemi buz banyosu içerisinde ve manyetik karıştırıcı üzerinde gerçekleştirmiştir. Karıştırma işlemi sırasında beherin ağızı kapalı tutulmuş ve karışım en az bir gün karıştırıldıktan sonra kaplama çözeltilerine ilave edilmiştir.

0,13 mol (30,9 g) GPTS ile 0,065 mol (13,6 g) TEOS, 33,1 g izopropanol (IPA) içerisinde karışırken üzerine 0,65 mol (11,8 g) asidik su (0,1 M HCl olarak) ilave edilmiştir (H_2O /alkoksi mol oranı: 4). Karışım üzerine GPTS mol oranının %20'si kadar $\text{Al}(\text{BuO}^{\circ})_3$: etilasetoaset (1:1) karışımı damla damla ilave edilerek GPTS-Silan kaplama çözeltisi hazırlanmıştır.

Silan (OCTMIO/GPTS-TEOS) molekül oranı 1:1:1 olan kaplama çözeltisinin hazırlanması, kaplama çözeltisinin berrak olduğu ve çözeltideki silan miktarının 100% olduğu kontrol edilmesi. Aynı zamanda 0,002 mol yerine 0,004 ve 0,008 mol silan kullanılarak kaplama çözeltisi 1:1 TEOS molekül oranı 0,02 ve 0,04 olan kaplama çözeltileri hazırlanmıştır. Bu yapılar 100°C'da 24 saat boyunca can yılanı ılımında iyi derecede silikaç etkisi göstermemiştir.

4.4 Hidrofobik GPTS-Silan Kaplama Çözeltilerin Hazırlanışı

Çeşitli miktarlarda FS, 0,13 mol (30,9 g) GPTS ve 0,065 mol (13,6 g) TEOS, 33,1 g izopropanol (IPA) içerisinde karışırken üzerine 0,65 mol (11,8 g) asidik su (0,1 M HCl) ilave edilmiştir (mol H₂O/alkoksi: 4). Karışım üzerine GPTS mol oranının %20'si kadar Al(BuO^s)₃ : etilasetoaset (1:1) karışımı damla damla ilave edilerek hidrofobik GPTS-Silan kaplama çözeltisi hazırlanmıştır. Oda sıcaklığında manyetik karıştırıcı üzerine karıştırılan çözeltilerin berrak ve cam yüzeylerini iyi ıslatan çözeltiler olduğu gözlenmiştir. FS-GPTS-Silan kaplama çözeltisi olarak tanımlanan bu çözeltilerin kimyasal bileşimi Çizelge 4.2'de verilmiştir.

Çizelge 4.2 FS-GPTS-Silan kaplama çözeltilerinin kimyasal bileşimi.

Kaplama Çözeltisi (KÇ)	KÇ-01	KÇ-02	KÇ-03
FS/GPTS-TEOS mol oranı:	0,005	0,010	0,020
Miktar (g)			
FS	0,50	1,00	2,00
GLYMO	30,9	30,9	30,9
TEOS	13,6	13,6	13,6
IPA	33,1	33,1	33,1
0,1 M HCl	11,8	11,8	11,8
Al(BuO ^s) ₃ : etilasetoaset (1:1)	9,8	9,8	9,8

Hidrofobik FS-GPTS-Silan kaplama çözeltilerine alternatif olarak Silan kaplama çözeltisine hidrofobik özellik verebilecek kimyasallardan OCTMO, OCTEO, ZBA-L, FD10-H ve FC ilave edilmiştir. Çözeltilerin hazırlanışı aşağıda detaylı olarak verilmiştir.

0,002 mol OCTMO (0,5 g) ile 0,13 mol (30,9 g) GPTS ve 0,065 mol (13,6 g) TEOS, 33,1 g izopropanol (IPA) içerisinde karışırken üzerine 0,65 mol (11,8 g) asidik su (0,1 M HCl) ilave edilmiştir. Karışım üzerine GPTS mol oranının %20'si kadar Al(BuO^s)₃ : etilasetoaset (1:1) karışımı damla damla ilave edilerek berrak ve cam yüzeylerini iyi ıslatan OCTMO-GPTS-Silan (OCTMO/GPTS-TEOS mol oranı: 0,01) kaplama çözeltisi hazırlanmıştır. Kaplama çözeltisinin berrak olduğu ve cam yüzeylerini iyi derecede ıslattığı gözlenmiştir. Ayrıca, 0,002 mol yerine 0,004 ve 0,008 mol OCTMO ile OCTMO/GPTS-TEOS mol oranı: 0,02 ve 0,04 olan kaplama çözeltileri hazırlanmıştır. Bu kaplama çözeltisinin berrak ve cam yüzeyini iyi derecede ıslatan çözeltiler olduğu gözlenmiştir.

0,002 mol (0,5 g) OCTEO ile 0,13 mol (30,9 g) GPTS ve 0,065 mol (13,6 g) TEOS, 33,1 g izopropanol (IPA) içerisinde karışırken üzerine 0,65 mol (11,8 g) asidik su (0,1 M HCl) ilave edilmiştir. Karışım üzerine GPTS mol oranının %20'si kadar Al(BuO^s)₃ : etilasetoaset (1:1) karışımı damla damla ilave edilerek OCTEO-GPTS-Silan kaplama çözeltisi (OCTEO/GPTS-TEOS mol oranı: 0,01) hazırlanmıştır. Kaplama çözeltisinin berrak olduğu ve cam yüzeylerini iyi derecede ıslattığı gözlenmiştir.

0,002 mol (0,89 g) ZBA-L ile 0,13 mol (30,9 g) GPTS ve 0,065 mol (13,6 g) TEOS, 33,1 g izopropanol (IPA) içerisinde karışırken üzerine 0,65 mol (11,8 g) asidik su (0,1 M HCl) ilave edilmiştir. Karışım üzerine GPTS mol oranının %20'si kadar Al(BuO^s)₃ : etilasetoaset (1:1) karışımı damla damla ilave edilerek ZBA-L-GPTS-Silan kaplama çözeltisi (ZBA-L/GPTS-TEOS mol oranı: 0,01) hazırlanmıştır. Kaplama çözeltisi cam yüzeyini iyi ıslatamadığı için kaplama hazırlanamamıştır.

0,002 mol (2,7 g) FD10-H ile 0,13 mol (30,9 g) GPTS ve 0,065 mol (13,6 g) TEOS, 33,1 g izopropanol (IPA) içerisinde karışırken üzerine 0,65 mol (11,8 g) asidik su (0,1 M HCl) ilave edilmiştir. Karışım üzerine GPTS mol oranının %20'si kadar Al(BuO^s)₃ : etilasetoaset (1:1) karışımı damla damla ilave edilerek FD10-H-GPTS-Silan kaplama çözeltisi (FD10-H/GPTS-TEOS mol oranı: 0,01) hazırlanmıştır. Kaplama çözeltisinin berraklığını kaybederek bulanık bir görüntü verdiği gözlenmiştir.

0,002 mol (3,93 g) FC ile 0,13 mol (30,9 g) GPTS ve 0,065 mol (13,6 g) TEOS, 33,1 g izopropanol (IPA) içerisinde karışırken üzerine 0,65 mol (11,8 g) asidik su (0,1 M HCl) ilave edilmiştir. Karışım üzerine GPTS mol oranının %20'si kadar Al(BuO^s)₃ : etilasetoaset (1:1) karışımı damla damla ilave edilerek FC-GPTS-silan kaplama çözeltisi (FC/GPTS-TEOS mol oranı: 0,01) hazırlanmıştır. Kaplama çözeltisinde çökmeler olduğu için aynı çözelti 0,002 mol yerine 0,001 mol FC kullanılarak hazırlanmıştır. Bu çözeltinin (FC/GPTS-TEOS mol oranı: 0,005) berrak olduğu ve cam yüzeylerini iyi derecede ıslattığı gözlenmiştir.

4.4.1 Nanotoz içeren FS-GPTS-Silan Kaplamaların Hazırlanışı

FS-GPTS-Silan kaplamaların aşınma dirençlerinin artırılması için öncelikle kaplama çözeltisine hidroliz için kullanılan 0,1 M HCl yerine Levasil 200S (pH: 4,00) ilave edilmiş, fakat bulanık bir çözelti elde edildiği için kaplama yapılamamıştır. Daha sonra, kaplamanın kimyasal bileşimindeki IPA yerine Levasil 200S kullanılmış ve bu çözeltiyle sert fakat gözenekli saydam kaplamalar elde edilmiştir. IPA yerine organosilikasol (pH: 1,74) kullanıldığında ise kaplama çözeltisi ile sert ve gözenekli saydam kaplamalar elde edilmiştir. Ayrıca, FS-GPTS-Silan kaplama çözeltisine ağırlıkça %10, %1, % 0,5 Bömit nanotozlar ilave edilmiş, fakat kaplamaların yeterince saydam ve homojen olmadığı gözlenmiştir.

~~İçerisinde bu kaplamaların aşınma direnci incelenmesi~~

Tüm karşılaştırma çalışmaları kaplama yüzeylerinde aşındırılan bölgelerin pusluluk (%) ve temas açısı (θ) değerleri dikkate alınarak yapılmıştır. Aşınma testinden sonra pusluluk değerlerindeki artış ve temas açısı değerlerindeki düşüslere kaplamaların aşınma direncindeki azınlığı tespit etmektedir.

5.1 Kaplama Çözeltilerinin FS İceriği

Çeşitli miktarlarda FS havesiyle hidrofobik ve oleofobik özellikler kazandırılmış Silan ve GPTS-Silan kaplamaların aşınma direnci incelenerek, aşınma direnci en yüksek kaplama mlesüm belirlenmiştir.

5.1.1 FS-Silan Kaplama

FS/TEOS mol oranı 0,005, 0,010 ve 0,025 olor kaplama çözeltileriyle (Bölüm 4.2) 2 mg/ak grak hizinda kaplanan camda 200 den fazla aşındırılmıştır. Aşındırma sırasında her 50 nt saniyede kaplamaların pusluluk ve temas açıları ölçülerek kaplamaların büküfleriyle karşılaştırılmıştır (Gizelge 5.1).

5. KAPLAMALARIN AŞINMA DİRENCİNİN İNCELENMESİ

Yüksek aşınma direncine sahip saydam hidrofobik-oleofobik Silan ve GPTS-Silan kaplamaların hazırlanabilmesi amacıyla öncelikle çeşitli miktarlarda FS içeren Silan ve GPTS-Silan kaplamalı camlara aşınma testi uygulanmış ve en yüksek aşınma direncine sahip kaplamanın kimyasal bileşimleri belirlenmiştir. Ayrıca, söz konusu çözeltiler için uygun kaplama çekiş hızları ve kullanım sürelerinin belirlenmesine yönelik deneysel çalışmalar gerçekleştirilmiştir. Daha sonra, en iyi aşınma direncine sahip hidrofobik FS-Silan ve FS-GPTS-Silan kaplamalar diğer saydam hidrofobik-oleofobik kaplamalar ve kaplamasız düzcamlarla karşılaştırılarak incelenmiştir. Nanotoz içeren tüm kaplamalar saydam olmadığı için bu kaplamaların aşınma direnci incelenmemiştir.

Tüm karşılaştırma çalışmaları kaplama yüzeylerinde aşındırılan bölgelerin pusluluk (%H) ve temas açısı ($^{\circ}$) değerleri dikkate alınarak yapılmıştır. Aşınma testinden sonra pusluluk değerlerindeki artış ve temas açısı değerlerindeki düşüpler kaplamaların aşınma direncindeki azalmayı temsil etmektedir.

5.1 Kaplama Çözeltilerinin FS İçeriği

Çeşitli miktarlarda FS ilavesiyle hidrofobik ve oleofobik özellikler kazandırılan Silan ve GPTS-Silan kaplamaların aşınma dirençleri incelenerek, aşınma direnci en yüksek kaplama bileşimi belirlenmiştir.

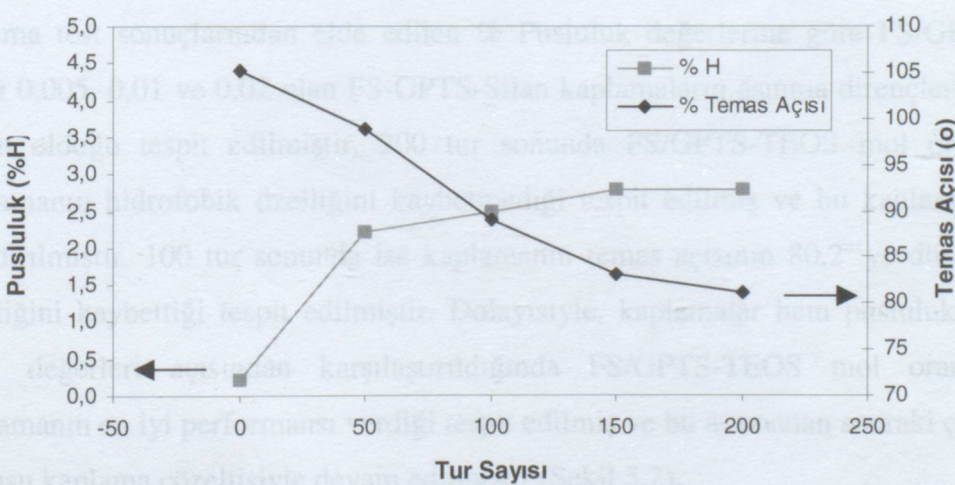
5.1.1 FS-Silan Kaplama

FS/TEOS mol oranı 0,005, 0,010 ve 0,020 olan kaplama çözeltileriyle (Bölüm 4.2) 2 inç/dk çekiş hızında kaplanan camlar 200 tura kadar aşındırılmıştır. Aşındırma sırasında her 50 tur sonunda kaplamaların pusluluk ve temas açıları ölçüлerek kaplamalar birbirleriyle karşılaştırılmıştır (Çizelge 5.1).

Çizelge 5.1 FS/TEOS mol oranı 0,005, 0,010 ve 0,020 olan çözeltilerle kaplanan düzcamların aşındırma tur sayısına göre pusluluk ve temas açısı değerlerinin karşılaştırılması.

FS/TEOS ve 12 maddi ekstra hızlandırıcı sirası Tur Sayısı	Pusluluk (%H)			Temas Açısı (°)		
	Mol oranı: 0,005	0,010	0,020	0,005	0,010	0,020
0	0,2	0,2	0,2	101,2	105,2	106,7
50	2,0	2,2	3,9	98,9	98,9	98,5
100	2,1	2,5	4,2	86,6	89,2	91,9
150	2,1	2,8	4,6	78,1	83,1	84,0
200	2,2	2,8	4,8	75,2	81,1	79,4

Aşınma testinden sonra elde edilen % Pusluluk değerlerine göre Silan kaplamaların FS içerikleri arttıkça aşınma dirençleri düşüş göstermiştir. Ayrıca, FS/TEOS mol oranı 0,010 ve 0,020 olan kaplamaların hidrofobik özelliklerini FS/TEOS mol oranı 0,005 olan kaplamalara kıyasla daha iyi korudukları tespit edilmiştir. Bununla birlikte, kaplamaların aşındırmadan sonraki pusluluk ve temas açısı değerleri karşılaştırıldığında FS/TEOS mol oranı 0,010 olan kaplamanın en iyi performansı verdiği tespit edilmiş ve bu aşamadan sonraki çalışmalarda söz konusu kaplama çözeltisiyle devam edilmiştir (Şekil 5.1).



Şekil 5.1 FS/TEOS mol oranı 0,01 olan kaplamanın aşındırma tur sayısına göre pusluluk ve temas açısı değerleri

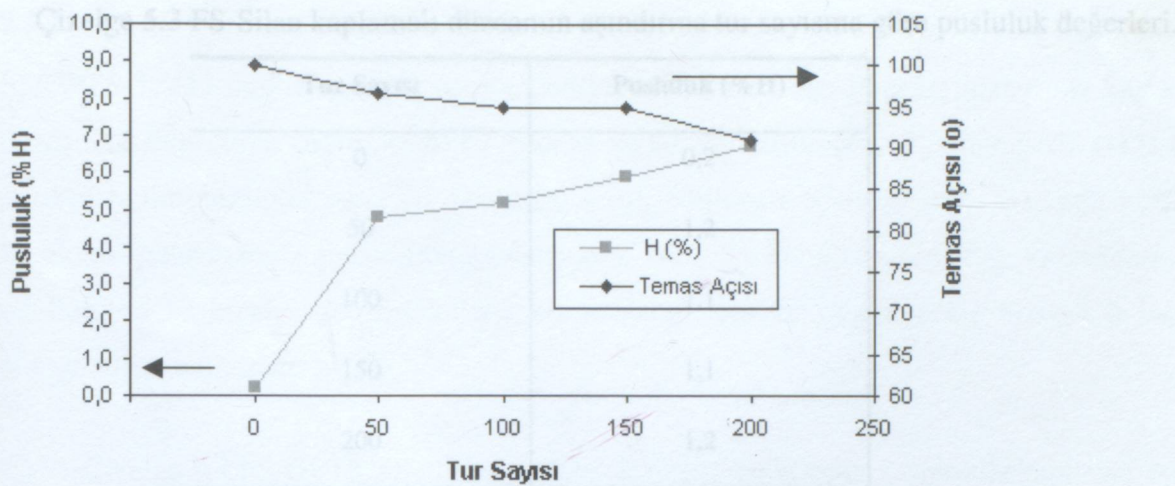
5.1.2 FS-GPTS-Silan Kaplama

FS/GPTS-TEOS mol oranı 0,005, 0,010 ve 0,020 olan kaplama çözeltileriyle (Bölüm 4.4) 2, 6 ve 12 inç/dk çekiş hızlarında kaplanan camlar 200 tura kadar aşındırılmıştır. Aşındırma sırasında her 50 tur sonunda kaplamaların pusluluk ve temas açıları ölçüleerek kaplamalar birbirleriyle karşılaştırılmıştır (Çizelge 5.2).

Çizelge 5.2 FS/GPTS-TEOS mol oranı 0,005, 0,010 ve 0,020 olan çözeltilerle kaplanan düzcamların aşındırma tur sayısına göre pusluluk ve temas açısı değerlerinin karşılaştırılması.

FS/GPTS-TEOS Mol oranı:	Pusluluk (%H)			Temas Açısı (°)		
	0,005	0,010	0,020	0,005	0,010	0,020
Tur Sayısı						
0	0,2	0,2	0,2	95,4	100,2	98,7
50	4,1	4,8	4,2	93,1	96,7	98,6
100	6,3	5,2	6,6	90,1	94,7	95,5
150	7,0	5,9	7,3	80,2	94,5	87,9
200	8,5	6,7	8,7	75,2	91,1	81,2

Aşınma test sonuçlarından elde edilen % Pusluluk değerlerine göre FS/GPTS-TEOS mol oranı 0,005, 0,01 ve 0,02 olan FS-GPTS-Silan kaplamaların aşınma dirençlerinin birbirlerine yakın olduğu tespit edilmiştir. 200 tur sonunda FS/GPTS-TEOS mol oranı 0,010 olan kaplamanın hidrofobik özelliğini kaybetmediği tespit edilmiş ve bu kaplama 100 tur daha aşındırılmıştır. 100 tur sonunda ise kaplamanın temas açısının $80,2^\circ$ ye düşerek hidrofobik özelliğini kaybettiği tespit edilmiştir. Dolayısıyle, kaplamalar hem pusluluk hem de temas açısı değerleri açısından karşılaştırıldığında FS/GPTS-TEOS mol oranı 0,010 olan kaplamanın en iyi performansı verdiği tespit edilmiş ve bu aşamadan sonraki çalışmalarda söz konusu kaplama çözeltisiyle devam edilmiştir (Şekil 5.2).



Şekil 5.2 FS/GPTS-TEOS mol oranı 0,01 olan kaplamanın aşındırma tur sayısına göre pusluluk ve temas açısı değerleri

5.2 Kaplama Çözeltilerinin Çekiş Hızı

Öncelikle, cam yüzeyleri çeşitli hızlarda FS-Silan ve FS-GPTS-Silan kaplama çözeltileriyle kaplanmış ve elde edilen kaplamaların aşınma direnci dikkate alınarak uygun çekiş hızlarının belirlenmesine yönelik kaplama çalışmaları yapılmıştır.

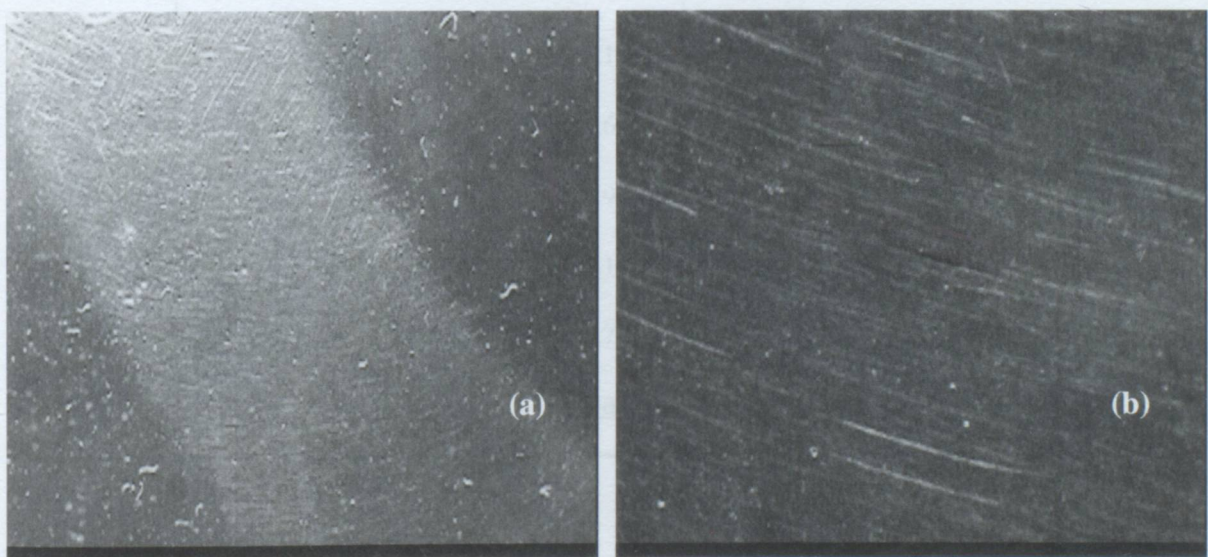
5.2.1 FS-Silan Kaplama

Deneysel çalışmalarında, FS/TEOS mol oranı 0,01 olan kaplama çözeltisiyle 2 inç/dk çekiş hızından 12 inç/dk çekiş hızına kadar kaplama yapılmıştır. Kürleşme sonrasında 2 inç/dk çekiş hızından daha yüksek çekiş hızlarında hazırlanan FS-Silan kaplamalarda dökülmeler gözlemediğinden bu kaplama çözeltisi ile sadece 2 inç/dk çekiş hızında kaplamalar gerçekleştirilebilmiştir.

Şekilge 5.3 FS-Silan kaplamalı düzcamın aşındırma tur sayısına göre pusluluk değerleri.

FS/GPTS-TEOS mol düzcamlar homojen olup arıkça hidrofobikliğini koruduğu tespit edilmiştir 12 m/s/dk çekış hızında tekerleklerin kaplamalarının homojen kalınlığı olmaması ve camları alt traftlarında birikmeler olduğu tespit edilenmiştir	Tur Sayısı	Pusluluk (%H)
0		0,2
50		1,2
100		1,1
150		1,1
200		1,2

Şekil 5.3 a'da FS/TEOS mol oranı 0,01 olan kaplamanın 200 aşınma turu sonrasında Steremikroskop ile çekilen 6,3 büyütülmeli ve Şekil 5.3 b'de 50 büyütülmeli fotoğrafları gösterilmektedir. Şekil 5.3 a'da aşındırma tekerleğinin kaplama yüzeyine bıraktığı yol izleri incelendiğinde fotoğrafta görülen izlerin kaplama içerisinde kopma oluşumunu değil kaplamanın tekerlekler tarafından çizildiğini temsil ettiği anlaşılmaktadır.



Şekil 5.3 a ve b. 200 tur aşındırılan FS-Silan kaplamalı düzcamın aşındırılan bölgelerin 6,3 büyütülmeli (a) ve 50 büyütülmeli (b) Stereomikroskop fotoğrafları

Fotoğrafları gösterilmektedir. Fotoğraflar incelediğinde 6,3 büyütülmeli fotoğraflarda aşındırma tekerleğinin bıraktığı izlerin derinliği 50 büyütülmeli fotoğrafta ise aşınmayla birlikte kaplamlarda tabakalar üzerinde kopolimerin olduğu görülmektedir.

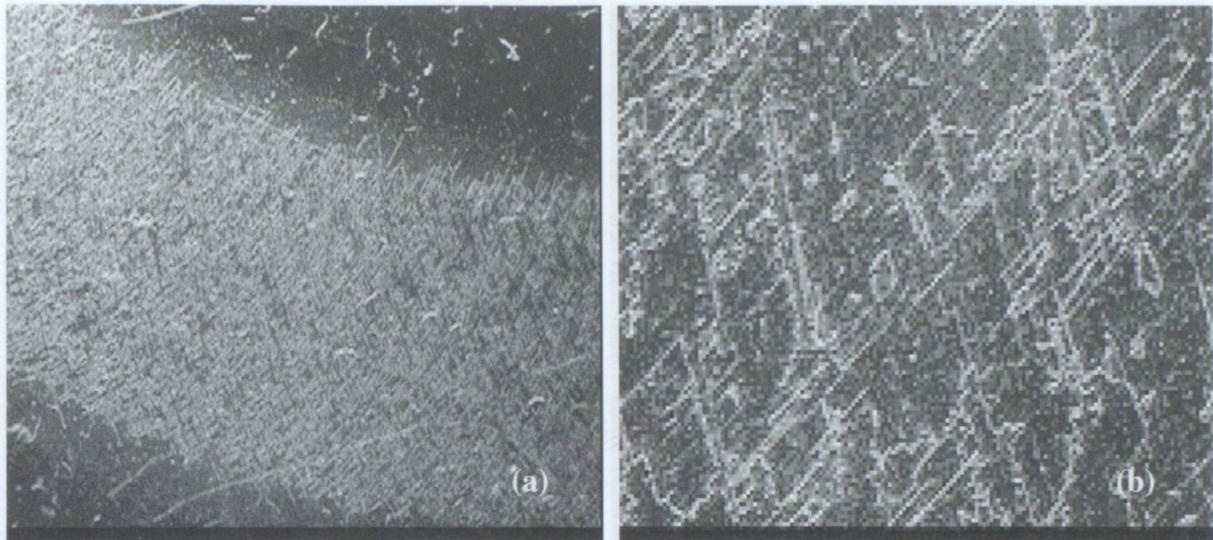
5.2.2 FS-GPTS-Silan Kaplama

FS/GPTS-TEOS mol oranı 0,01 olan çözeltiyle 2, 6 ve 12 inç/dk çekiş hızlarında kaplanan düzcamlar hidrofobik özelliklerini kaybedene kadar aşındırılmıştır. Kaplamaların çekiş hızı arttıkça hidrofobikliğini daha iyi koruduğu tespit edilmiştir (Çizelge 5.4). Bununla birlikte, 12 inç/dk çekiş hızında elde edilen kaplamaların homojen kalınlıkta olmadığı ve camların alt taraflarında birikmeler gözlendiğinden bu kaplama için en uygun çekiş hızının 6 inç/dk olduğu tespit edilmiştir.

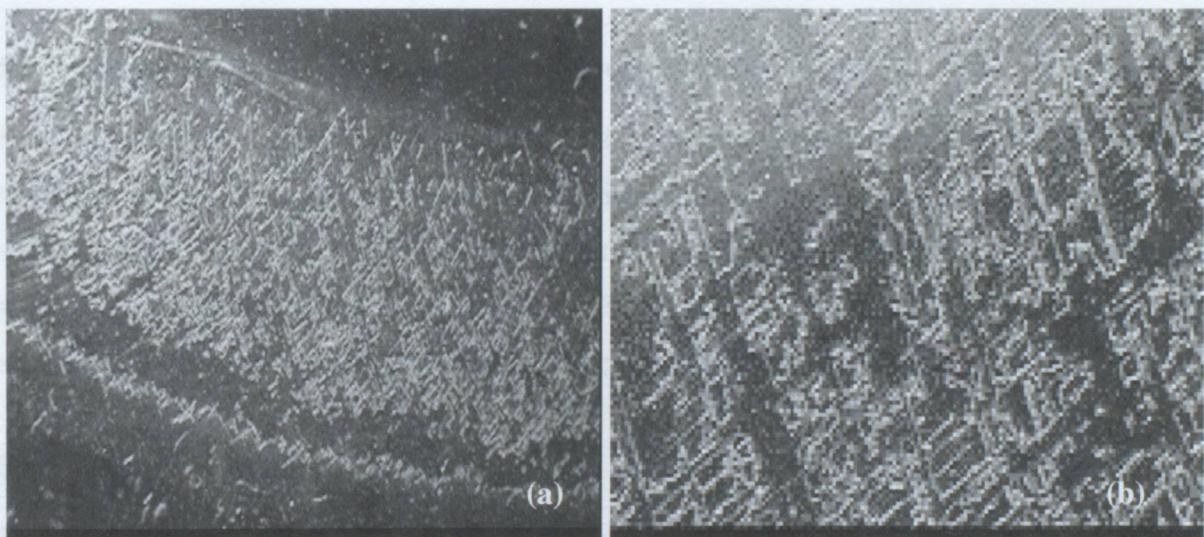
Çizelge 5.4 FS-GPTS-Silan çözeltisiyle 2, 6, 12 inç/dk çekiş hızlarında kaplanan düzcamların aşındırma tur sayısına göre pusluluk ve temas açısı değerleri.

Çekiş Hızı:	Pusluluk (%H)			Temas Açısı (°)		
	2 inç/dk	6 inç/dk	12 inç/dk	2 inç/dk	6 inç/dk	12 inç/dk
Tur Sayısı						
0	0,2	0,2	0,2	97,8	104,2	102,9
50	4,4	3,6	2,9	95,1	99,9	99,4
100	5,7	4,8	3,1	85,4	99,3	98,5
150	6,7	5,7	3,6	76,0	95,3	96,6
200	-*	7,6	3,9	-*	94,5	91,4
250	-*	8,5	4,1	-*	85,5	92,2
300	-*	-*	5,7	-*	81,5	89,6
350	-*	-*	7,0	-*	-*	80,1

2 inç/dk çekiş hızında kaplanan camlar 100 tur, 6 inç/dk çekiş hızında kaplanan camlar 250 tur, 12 inç/dk çekiş hızında kaplanan camlar ise 350 turda hidrofobikliğini kaybetmiştir. Şekil 5.4, 5.5 ve 5.6'da hidrofobik özelliklerini kaybeden kaplamaların 6,3 ve 50 büyütülmeli fotoğrafları gösterilmektedir. Fotoğraflar incelendiğinde 6,3 büyütülmeli fotoğraflarda aşındırma tekerleğinin bıraktığı çiziklerin derin olduğu 50 büyütülmeli fotoğrafta ise aşınmayla birlikte kaplamalarda tabakalar halinde kopmalar olduğu görülmektedir.

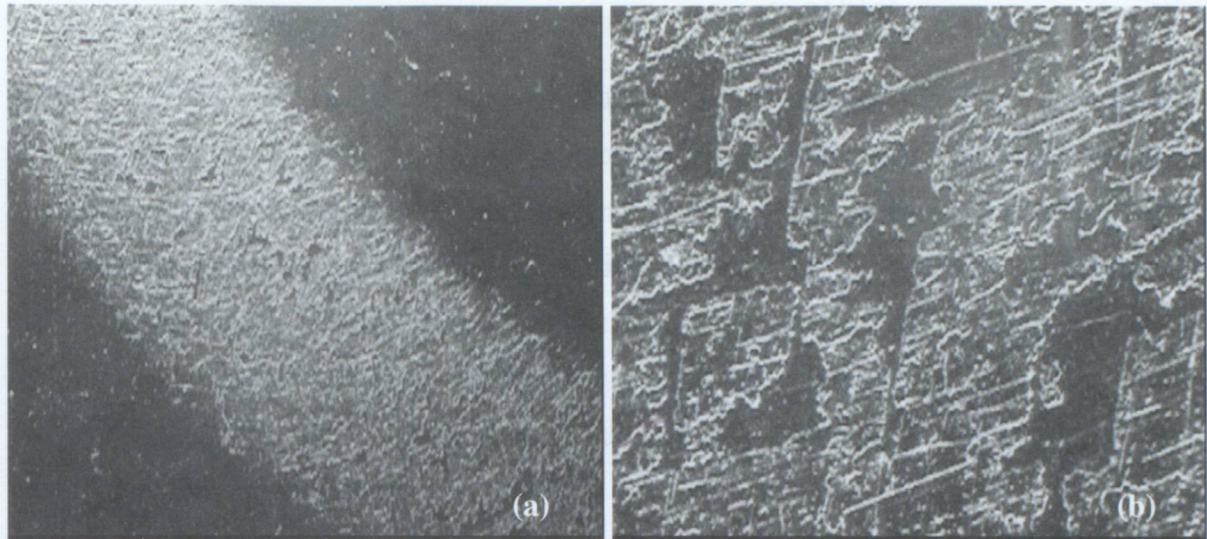


Şekil 5.4 a ve b. 2 inç/dk çekim hızında FS-GPTS-Silan çözeltisiyle kaplanıp 100 tura kadar aşındırılan düzcamın aşınan bölgelerinin 6,3 büyütülmeli (a) ve 50 büyütülmeli Stereomikroskop fotoğrafları



Şekil 5.5 a ve b. 6 inç/dk çekim hızında FS-GPTS-Silan çözeltisiyle kaplanan düzcam yüzeyinde 300 tura kadar aşınan bölgenin 6,3 büyütülmeli (b) ve 50 büyütülmeli Stereomikroskop fotoğrafları

* Kaplama hidrofobik özelliğini kaybettiği için teste devam edilmemiştir.



Şekil 5.6 a ve b 12 inç/dk çekiş hızında FS-GPTS-Silan çözeltisiyle kaplanan düzcam yüzeyinde 350 tura kadar aşınan bölgenin 6,3 büyütülmeli (b) ve 50 büyütülmeli Stereomikroskop fotoğrafları

5.3 Kaplama Çözeltilerinin Kullanım Süresi

Sol-jel prosesiyle elde edilen kaplama çözeltilerinde başlatılan hidroliz tepkimesini kendiliğinden gerçekleşen kondenzasyon tepkimesinin izlemesi nedeniyle bu tür çözeltilerin sağlıklı olarak uygulanabilecekleri bir kullanım süresi olduğu bilinmektedir. Bu bilgiler ışığında, hem FS-Silan hem de FS-Silan-GPTS kaplama çözeltileri için uygun kullanım sürelerinin tespit edilmesine yönelik deneysel çalışmalar gerçekleştirılmıştır.

5.3.1 FS-Silan Kaplama

FS/TEOS mol oranı 0,01 olan kaplama çözeltisinin hazırlandığı gün içerisinde kullanılabildiği, hazırlanıktan 1 gün sonra ise çözelti içerisinde çökeltiler meydana geldiği için 0,45 mikron filtrelerden süzülerek kullanılabileceği tespit edilmiştir.

5.3.2 FS-GPTS-Silan Kaplama

FS/GPTS-TEOS mol oranı 0,01 olan kaplama çözeltisinin hazırlandığı gün ve hazırlandıktan 3 ve 5 gün sonra 6 inç/dk çekiş hızında kaplamalar yapılmıştır. 200 tura kadar aşındırılan kaplamaların pusluluk değerleri incelendiğinde kaplama çözeltisinin bekletildikçe aşınma direnci daha düşük kaplamalar elde edilmiştir (Çizelge 5.5). Dolayısıyle, kaplama çözeltisi kullanılmadan önce bekletildiğinde kaplama çözeltisi içerisindeki alkoksitlerin hidroliz tepkimelerini tamamlayıp fazla polikondenzasyon oluşturduğu ve bunun sonucunda cam yüzeyiyle bağ oluşturan silanol gruplarının azalarak kaplamaların aşınma dayanımını düşürdüğü tahmin edilmektedir.

Çizelge 5.5 Çeşitli sürelerde bekletilen FS-GPTS-Silan çözeltisiyle kaplanan düzcamların aşındırma tur sayısında göre pusluluk ve temas açısı değerleri.

Kullanım Süresi:	Pusluluk (%H)			Temas Açısı (°)		
	İlk gün	3 gün	5 gün	İlk gün	3 gün	5 gün
Tur Sayısı						
0	0,2	0,2	0,2	100,2	96,6	94,4
50	4,8	4,2	4,8	96,7	96,3	94,7
100	5,2	6,0	7,3	94,7	95,0	91,3
150	5,9	7,3	9,0	94,5	92,1	87,3
200	6,7	9,2	11,5	91,1	83,1	76,5

5.4 Diğer Hidrofobik Kaplamalarla Karşılaştırma

FS içeren hidrofobik Silan ve GPTS-Silan kaplamalara alternatif olarak FS yerine OCTMO, OCTEO, ZBA-L, FC ve FD10H gibi hidrofobik özellik verebilecek kimyasallar içeren Silan ve GPTS-Silan kaplamalar hazırlanmıştır. Kimyasallardan bazıları ile saydam hidrofobik kaplamalar elde edilmiş ve bu kaplamalar ile FS içeren Silan ve GPTS-Silan kaplamalar aşınma direnci açısından karşılaştırılmıştır.

5.4.1 FS-Silan Kaplamanın OCTMO-Silan Kaplama ile Karşılaştırılması

FS ve OCTMO içeren Silan kaplamaların birbirleri ile karşılaştırılabilmesi için düzcamlar FS/TEOS ile OCTMO/TEOS mol oranı 0,01 olan kaplama çözeltileriyle 2 inç/dk çekiş hızında kaplanmış ve 200 tura kadar aşındırılmıştır. Her iki kaplamanın da hidrofobiklik ve aşınma direncinin birbirlerine yakın olduğu tespit edilmiştir.

Çizelge 5.6 FS-Silan ve OCTMO-Silan kaplama çözeltileriyle kaplanan düzcamların aşındırma tur sayısına göre pusuluk ve temas açısı değerleri.

Tur Sayısı	Pusuluk (%H)		Temas Açısı (°)	
	FS-Silan	OCTMO-Silan	FS-Silan	OCTMO-Silan
0	0,2	0,2	105,2	96,5
50	2,2	1,7	98,9	94,0
100	2,5	2,1	89,2	89,1
150	2,8	2,5	83,1	84,5
200	2,4	2,2	81,2	80,0

5.4.2 FS-GPTS-Silan Kaplamanın OCTMO-GPTS-Silan Kaplamayla Karşılaştırması

OCTMO/GPTS-TEOS mol oranı 0,01, 0,02 ve 0,04 olan kaplama çözeltileriyle 2, 6 ve 12 inç/dk çekiş hızlarında kaplanan düzcamların ilk temas açıları yaklaşık 80° olarak ölçülmüştür. Dolayısıyla, OCTMO içeren GPTS-Silan kaplamaların yeterince hidrofobik (temas açısı $< 80^\circ$) olmamasından dolayı bu kaplamaya aşınma testi uygulanmamıştır.

5.4.3 FS-GPTS-Silan Kaplamanın OCTEO-GPTS-Silan ile Karşılaştırılması

OCTEO/GPTS-TEOS mol oranı 0,01 olan kaplama çözeltisiyle 2, 6 ve 12 inç/dk çekiş hızlarında kaplanan düzcamların ilk temas açısı 95° olarak ölçülmüş ve 50 aşınma turundan sonra temas açıları 80° ye düşmüştür.

5.4.4 FS-GPTS-Silan Kaplamanın FC-GPTS-Silan Kaplama ile Karşılaştırılması

Öncelikle, FC/GPTS-TEOS mol oranı 0,01 olan kaplama çözeltisi hazırlanmış bu çözeltide çökmeler olduğu için FC/GPTS-TEOS mol oranı 0,005 olan yeni bir kaplama çözeltisi hazırlanmıştır. Elde edilen kaplamalar aşınma direnci açısından FS/GPTS-TEOS mol oranı 0,005 olan kaplamalarla karşılaştırılmıştır (Çizelge 5.7). FC-GPTS-Silan kaplamanın ilk pusluluk değerinden de anlaşılabileceği gibi bu kaplamalar FS-GPTS-Silan kaplamalar kadar saydam olmamıştır. Aşınma tur sayısına göre iki kaplamanın pusluluk ve temas açısı değerleri kıyaslandığında FC-GPTS-Silan kaplamanın FS-GPTS-Silan kaplamaya göre aşınma direncinin daha düşük olduğu tespit edilmiştir.

Çizelge 5.7 FS-GPTS-Silan ile FC-GPTS-Silan çözeltileriyle kaplanan düzcamların aşındırma tur sayısına göre pusluluk ve temas açısı değerleri.

Tur Sayısı	Pusluluk (%H)		Temas Açısı (°)	
	FS-GPTS-Silan	FC-GPTS-Silan	FS-GPTS-Silan	FC-GPTS-Silan
0	0,2	0,8	98,7	105,3
50	4,1	3,8	98,6	98,2
100	6,3	6,3	95,5	91,5
150	7,0	8,4	87,9	85,0
200	7,4	10,7	81,2	67,6

5.5 Kaplamaların Düzcam ile Karşılaştırılması

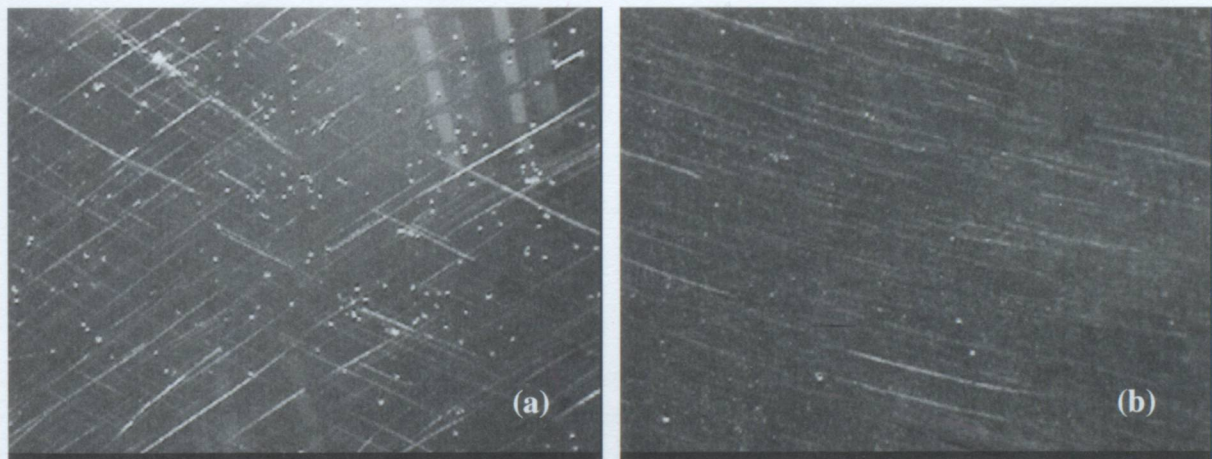
Silan, GPTS-Silan, FS-Silan ve FS-GPTS-Silan kaplamalı camların aşınma direnci kaplamasız düzcam ile karşılaştırılarak incelenmiştir.

5.5.1 Silan Kaplama

Kaplamasız düzcam ve Silan kaplama çözeltisiyle 2 inç/dk çekiş hızında kaplanan düzcam 200 tura kadar aşındırılmıştır. Aşınmadan sonraki pusluluk değerleri (Çizelge 5.8) ve Stereomikroskop fotoğraflarından gözlenen çizikler (Şekil 5.7) karşılaştırıldığında Silan kaplamalı düzcamın kaplamasız düzcamla daha az aşındığı tespit edilmiştir.

Çizelge 5.8 Kaplamasız düzcam ve Silan kaplamalı düzcamın aşındırma tur sayısına göre pusluluk değerleri.

Tur Sayısı	Düzcam	Silan Kap. Düzcam	Pusluluk (%) H)
0	0,2	0,2	0,2
50	1,6	1,4	1,4
100	1,6	1,3	1,3
150	1,8	1,3	1,3
200	2,0	1,4	1,4



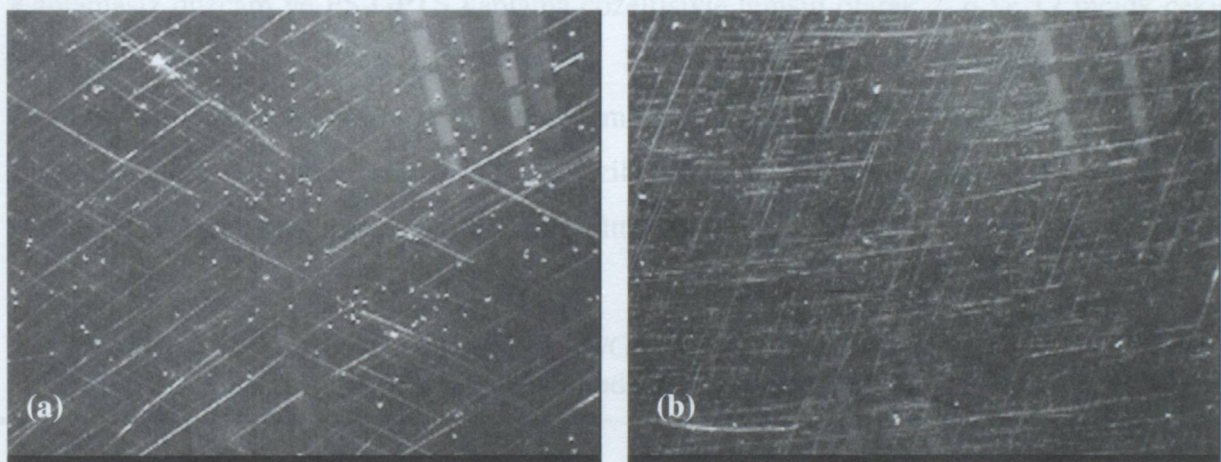
Şekil 5.7 a ve b. 200 tur aşındırılan kaplamasız düzcam (a) ve Silan kaplamalı (b) düzcam yüzeylerinde aşındırılan bölgelerin 50 büyütülmeli Stereomikroskop fotoğrafları

5.5.2 FS-Silan Kaplama

Kaplamasız düzcam ve FS/TEOS mol oranı 0,01 olan kaplama çözeltisiyle 2 inç/dk çekis hızında kaplanan düzcam 200 tura kadar aşındırılmıştır. Aşındırmadan sonra elde edilen % Pusluluk değerleri (Çizelge 5.9) ve 50 büyütülmeli Stereomikroskop fotoğraflarında (Şekil 5.8) gözlenen çizikler karşılaştırıldığında FS-Silan kaplamalı düzcamın kaplamasız düzcam'a kıyasla daha çok aşındığı ortaya çıkmıştır. Dolayısıyle, Silan kaplamaya FS ilave edilmesinin kaplamayı yumuşatarak aşınma direncini düşürdüğü anlaşılmıştır.

Çizelge 5.9 Kaplamasız düzcam ve FS-Silan kaplamalı düzcamın aşındırma tur sayısına göre pusluluk değerleri.

Tur Sayısı	Düzcam	Pusluluk (%)	FS-Silan Kap. Düzcam
0	0	0,2	0,2
50	50	1,6	2,2
100	100	1,6	2,5
150	150	1,8	2,8
200	200	2,0	2,8



Şekil 5.8 a ve b. 200 tur aşındırılmış kaplamasız düzcam (a) ve FS-Silan kaplamalı düzcam (b) yüzeylerinde aşınan bölgelerin 50 büyütülmeli Stereomikroskop fotoğrafları.

5.5.3 GPTS-Silan Kaplama

Kaplamasız düzcam ve GPTS kaplama çözeltisiyle temsili olarak 2, 6, 12 inç/dk çekiş hızlarında kaplanan düzcamlar 200 tura kadar aşındırılmıştır. Genel olarak tüm kaplamalı camların kaplamasız düzcamla daha çok aşındığı tespit edilmiştir. Bununla birlikte, en çok aşınan kaplamanın 2 inç/dk çekiş hızında elde edilen kaplama olduğu ve çekiş hızı (kaplama kalınlığı) arttıkça kaplamaların aşınma dirençlerinin arttığı ortaya çıkmıştır (Çizelge 5.10).

Çizelge 5.10 Kaplamasız düzcam ile GPTS-Silan çözeltisiyle 2, 6 ve 12 inç/dk çekiş hızlarında kaplanan düzcamların pusluluk değerleri.

Tur Sayısı	Pusluluk (%H)			
	Düzcam	2 inç/dk	6 inç/dk	12 inç/dk
0	0,2	0,2	0,2	0,2
50	1,4	3,7	2,3	2,1
100	1,7	5,3	3,5	2,9
150	1,9	6,7	4,1	3,5
200	2,2	7,1	4,5	4,4

5.5.4 FS-GPTS-Silan Kaplama

Kaplamasız düzcam ve FS-GPTS kaplama çözeltisiyle temsili olarak 2, 6 ve 12 inç/dk çekiş hızlarında kaplanan düzcamlar 200 tura kadar aşındırılmıştır (Çizelge 5.11). Tüm kaplamaların düzcamla kıyasla aşınma dayanımlarının oldukça düşük olduğu tespit edilmiştir. Bu kaplamaların oldukça kalın olduğu ve çizilme derinliklerine bağlı olarak daha çok optik saçılma göstererek pusluluk değerlerini yükselttiği düşünülmektedir.

Çizelge 5.11 Kaplamasız düzcam ile FS/GPTS-TEOS mol oranı 0,01 olan kaplama çözeltisiyle 2, 6 ve 12 inç/dk çekiş hızlarında kaplanan düzcamların pusluluk değerleri.

Tur Sayısı	Pusluluk (%H)			
	Düzcam	2 inç/dk	6 inç/dk	12 inç/dk
0	0,2	0,2	0,2	0,2
50	1,4	4,4	3,6	2,9
100	1,7	5,7	4,8	3,1
150	1,9	6,7	5,7	3,6
200	2,2	-*	7,6	3,9

* Kaplama hidrofobik özelliğini kaybettiği için teste devam edilmemiştir.

6. FS İÇEREN KAPLAMALARIN KARAKTERİZASYONU

FS-Silan ve FS-GPTS-Silan kaplamaların hidrofobik özellikleri temas açısı ve serbest yüzey enerjisi değerleriyle, yüzey morfolojisi ve kalınlıkları Taramalı Elektron Mikroskopuyla (SEM), kaplama çözeltileri ve jelleri içerisinde oluşan tepkimeler ise FT-IR Spektrumları ile karakterize edilmiştir.

6.1 Temas Açısı ve Serbest Yüzey Enerjisi

Herhangi bir yüzeyin hidrofobik olup olmadığı temas açısı ve serbest yüzey enerjisi değerleri ile tespit edilir. Yüzeyin su daması ile yaptığı temas açısı 80° den büyük ve hekzadekan daması ile yaptığı temas açısı ise 45° den büyük olduğunda söz konusu yüzeyin hidrofobik ve oleofobik özelliklere sahip olduğu anlaşılmaktadır.

6.1.1 FS-Silan Kaplama

FS/TEOS mol oranı 0,005, 0,01 ve 0,02 olan kaplamaların temas açıları yüzeylerine bırakılan 2 μl 'lik saf su ve hekzadekan damlacıkları ile ölçülmüştür. Tüm FS-Silan kaplamaların hidrofobik ve oleofobik oldukları tespit edilmiştir. Kaplamaların serbest yüzey enerjileri, saf su ve hekzadekan damlacıklarının kaplama yüzeyleriyle yaptıkları temas açısı değerlerinin kullanıldığı Fowkes teorisi yaklaşımı ile hesaplanmıştır (Çizelge 6.1).

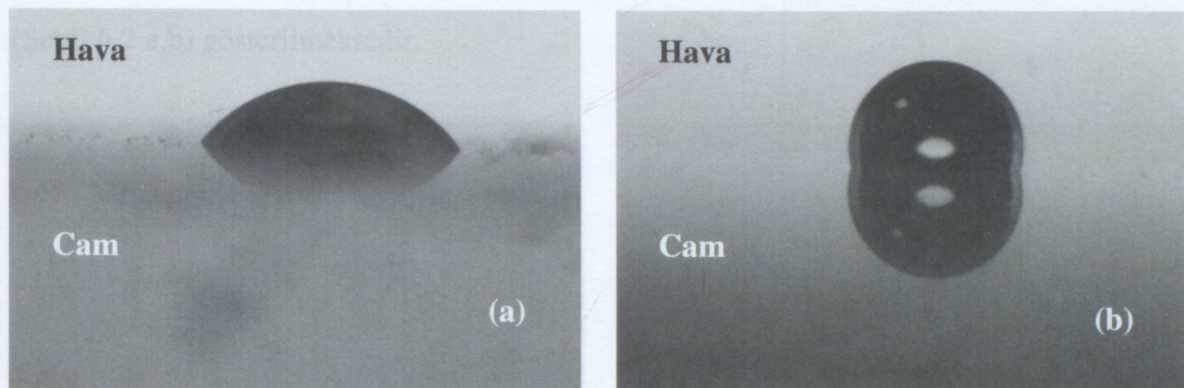
Çizelge 6.1 FS-Silan kaplamaların temas açısı ve serbest yüzey enerjisi değerleri.

FS/TEOS	Temas Açısı ($^\circ$)		Serbest Yüzey Enerjisi (mN/m)
	S.Su*	HD**	
Mol oranı:			
0,005	103,1	65,7	16,0
0,010	105,1	71,0	14,3
0,020	105,5	68,9	14,7

* S. Su = Saf su

** HD = Hekzadekan

FS/TEOS mol oranı 0,005 olan kaplamaların tüm kaplamalar içerisinde en düşük temas açısı ve en yüksek serbest yüzey enerjisi değerlerine, FS/TEOS mol oranı 0,01 ve 0,02 olan kaplamaların ise birbirlerine yakın temas açısı ve serbest yüzey enerjisi değerlerine sahip oldukları tespit edilmiştir. Ayıca, Silan kaplamanın FS içerdığı zaman hidrofobik özellik kazanması Temas açısı ölçüm cihazı ile çekilen damla fotoğraflarında (Şekil 6.1 a,b) gösterilmiştir.



Şekil 6.1 a ve b. Silan (a) ve FS-Silan (b) kaplamalı düzcam yüzeylerdeki damla fotoğrafları.

6.1.2 FS-GPTS-Silan Kaplama

FS/GPTS-TEOS mol oranı 0,005, 0,010 ve 0,020 olan kaplamaların temas açıları yüzeylerine bırakılan 2 μl 'lik saf su ve hekzadekan damlacıkları ile ölçülmüştür. Tüm FS-GPTS-Silan kaplamaların hidrofobik ve oleofobik oldukları tespit edilmiştir (Çizelge 6.2).

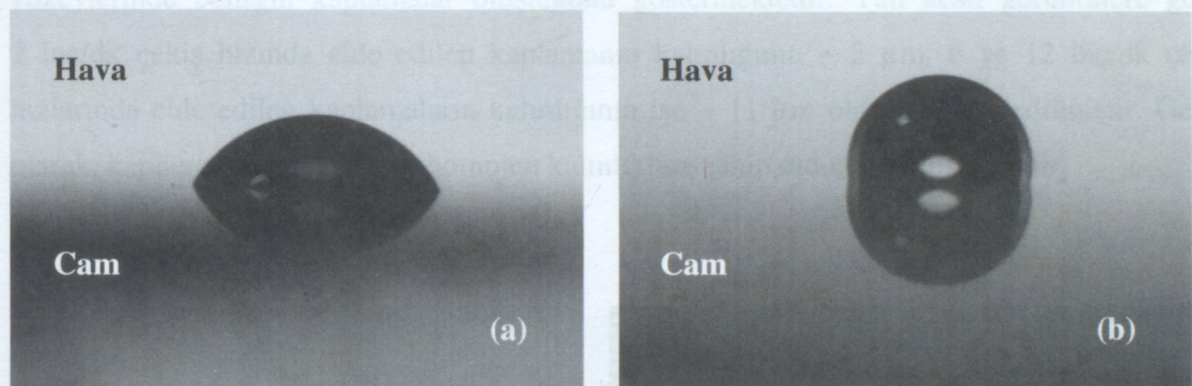
Çizelge 6.2 FS-GPTS-Silan kaplamaların temas açısı ve serbest yüzey enerjisi değerleri.

FS/GPTS-TEOS	Temas Açısı ($^{\circ}$)		Serbest Yüzey Enerjisi (mN/m)
	S.Su*	HD**	
Mol oranı:			
0,005	98,5	49,0	21,1
0,010	102,7	58,5	17,8
0,020	105,7	56,5	17,7

* S. Su = Saf su

** HD = hekzadekan

FS/GPTS-TEOS mol oranı 0,005 olan kaplamaların tüm kaplamalar içerisinde en düşük temas açısı ve en yüksek serbest yüzey enerjisi değerlerine, FS/GPTS-TEOS mol oranı 0,010 ve 0,020 olan kaplamaların ise birbirlerine yakın temas açısı ve serbest yüzey enerjisi değerlerine sahip oldukları tespit edilmiştir. Ayrıca, GPTS-TEOS kaplamanın FS içerdeği zaman hidrofobik özellik kazanması temas açısı ölçüm cihazı ile çekilen damla fotoğraflarında (Şekil 6.2 a,b) gösterilmektedir.

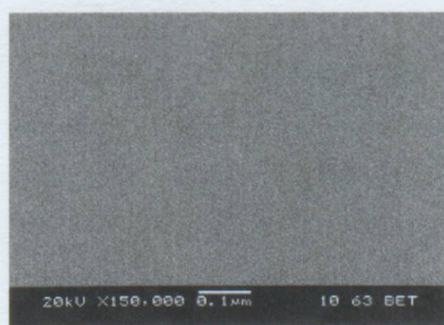


Şekil 6.2 a ve b. GPTS-Silan (a) ve FS-GPTS-Silan (b) kaplamalı düzcam yüzeylerdeki damla fotoğrafları

6.2 Kaplamaların Yüzey Morfolojisi ve Kalınlıkları

6.2.1 FS-Silan Kaplama

FS-Silan kaplamalı düzcam yüzeyinin SEM mikrografi (Şekil 6.3) kaplamanın çatlaksız ve düzgün yüzeye sahip olduğunu göstermektedir.

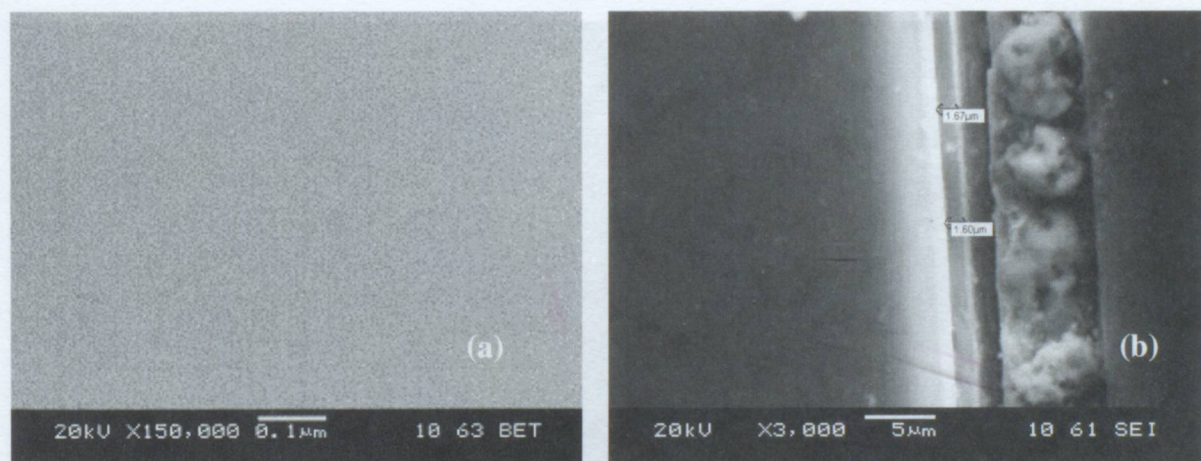


Şekil 6.3 FS-Silan kaplamalı düzcamın 150,000 büyütülmeli yüzey SEM mikrografi.

FS-Silan kaplama çok ince olduğu için SEM cihazı ile ölçülememiş, bunun yerine Tencor Alfa Step Profilometre cihazıyla düzcam yüzeyindeki kaplamalı ile kaplamasız bölgeler arasında belirlenen fark dikkate alınarak kalınlığının ~90 nm olduğu tespit edilmiştir.

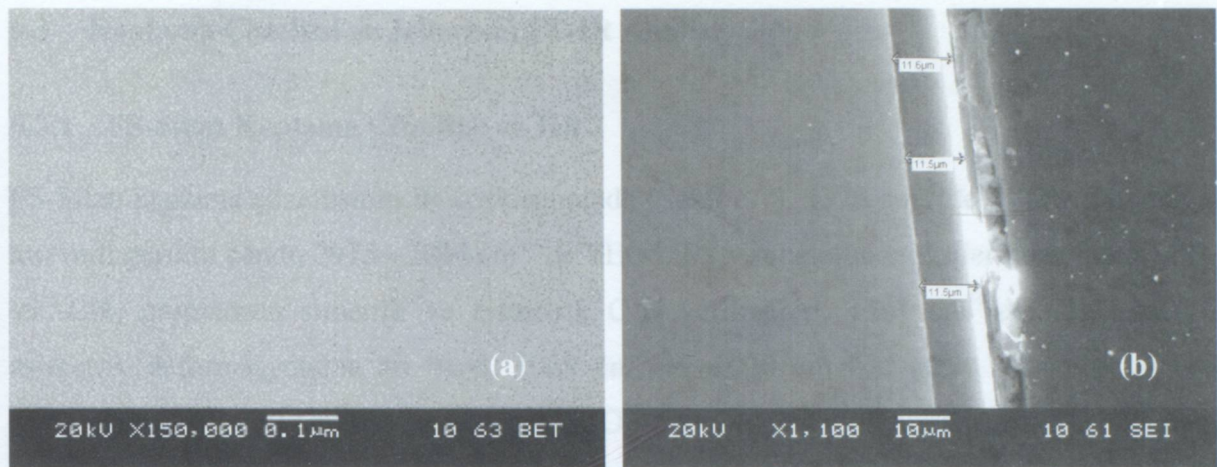
6.2.2 FS-GPTS-Silan Kaplamalar

Şekil 6.4, 6.5 ve 6.6 FS-GPTS-Silan kaplamalı düzcamların yüzey ve yan kesit SEM mikrografları görülmektedir. Yüzey (6.4a, 6.5a, 6.6a) görüntüleri kaplamaların çatlaksız ve düzgün yüzeylere sahip olduğunu, yan kesit (6.4b, 6.5b, 6.6b) görüntüleri ise cam yüzeylerinde belirgin kaplamalar olduğunu göstermektedir. Yan kesit görüntülere göre, 2 inç/dk çekiş hızında elde edilen kaplamanın kalınlığının ~ 2 μm , 6 ve 12 inç/dk çekiş hızlarında elde edilen kaplamaların kalınlığının ise ~ 11 μm olduğu tespit edilmiştir. Genel olarak, kaplamaların düzgün ve homojen kalınlıklara sahip olduğu görülmektedir.

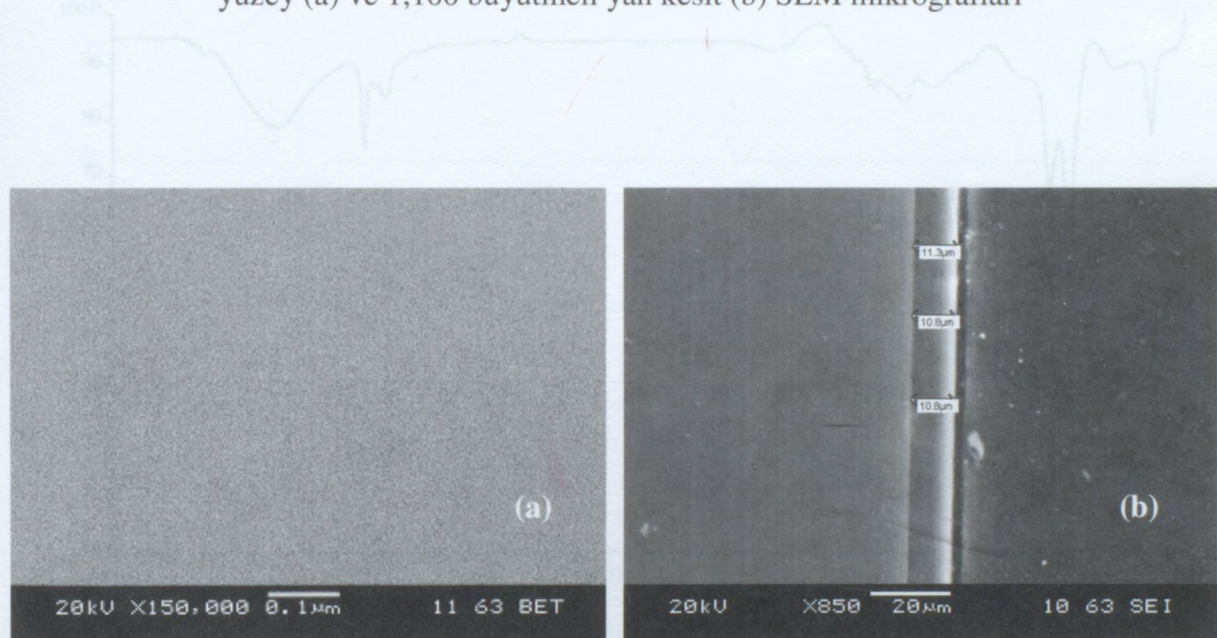


Şekil 6.4 a ve b. 2 inç/dk çekiş hızında FS-GPTS-Silan kaplanan düzcamın 150,000 büyütülmeli yüzey (a) ve 3,000 büyütülmeli yan kesit (b) SEM mikrografları

Dekuma teknikinde 2 inç hızında FS-GPTS-Silan kaplaması yapılmaktadır. 12 inç/dk çekiş hızına 6 inç/dk çekiş hızına da katmanıma rağmen her iki çekiş hızında da aynı kalınlıkta kaplama elde edilmesi bu kaplamaların en fazla çekiş hızında ~11 μm kalınlıkta kaplanabileceğini göstermektedir.



Şekil 6.5 a ve b. 6 inç/dk çekiş hızında FS-GPTS-Silan kaplanan düzcamın 150,000 büyütülmeli yüzey (a) ve 1,100 büyütülmeli yan kesit (b) SEM mikrografları



Şekil 6.6 a ve b. 12 inç/dk çekiş hızında FS-GPTS-Silan kaplanan düzcamın 150,000 büyütülmeli yüzey (a) ve 850 büyütülmeli yan kesit (b) SEM mikrografları.

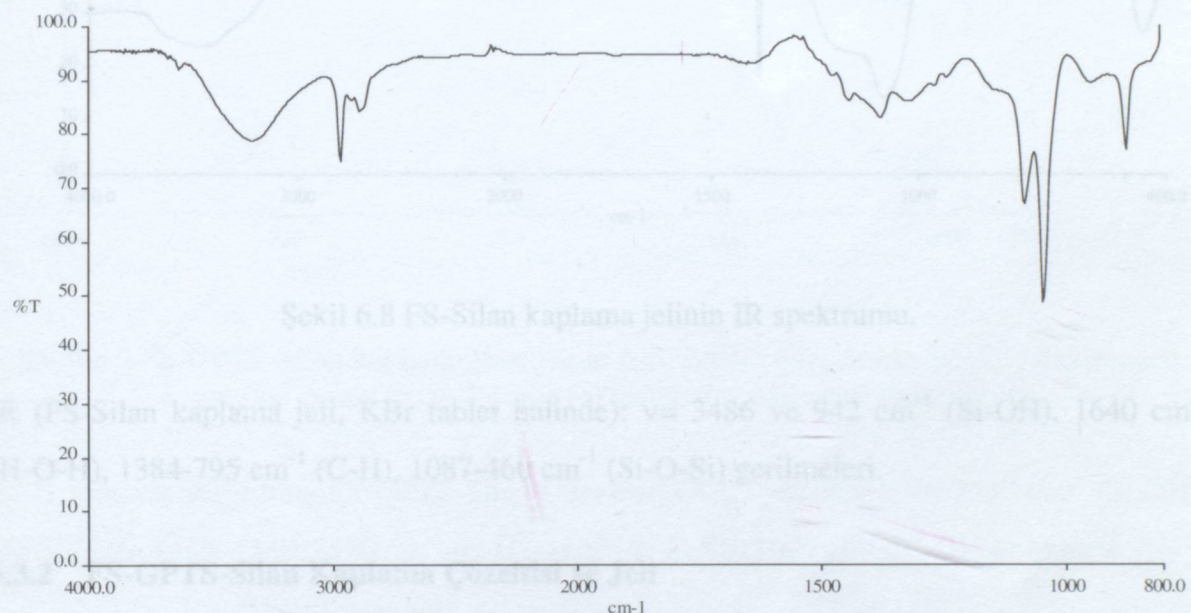
Daldırma tekniğinde çekiş hızı arttıkça kaplama kalınlığının arttığı bilinmektedir. 12 inç/dk çekiş hızının 6 inç/dk çekiş hızının iki katı olmasına rağmen her iki çekiş hızında da aynı kalınlıkta kaplama elde edilmesi bu kaplama çözeltisiyle en çok ~11 μm kalınlıkta kaplamalar elde edilebileceğini göstermiştir.

İnfrareda (IR) ve C-H ve Si-OH frekansı konumlarında dengelerini -varsayıldığımız FS-Silan kaplama şeridini IR spektrometresi ile 3366 cm^{-1} de Si-OH grubunda keşfedilen adsorbsiyon bandı gözleştirdik. 1616 cm^{-1} de adsorbe olmuş moleküller hava sivri bandı 1384 cm^{-1} de C-H ve 1246 cm^{-1} de o-formonyosunun 1087 cm^{-1} de üçün veya

6.3 Kaplama Çözeltisi ve Jellerinin FT-IR Analizi

6.3.1 FS-Silan Kaplama Çözeltisi ve Jeli

FS-Silan kaplama çözeltisinin IR spektrumunda (Şekil 6.7), 3328 cm^{-1} de Si-OH grubuna ait gerilme, 795 cm^{-1} de CH_3 grubuna ait C-H gerilmeleri ve 160 cm^{-1} de Si-O-Si gerilim bandı, etanolun etoksilerinden gelen $-\text{CH}_2-$ ve $-\text{CH}_3$ gruplarının simetrik ve asimetrik C-H gerilmeleri, 1381 cm^{-1} de CH_3 'teki C-H asimetrik deformasyonuna ait band, 1089 cm^{-1} ve 1020 cm^{-1} de güçlü asimetrik Si-O-Si gerilim bandları, 880 cm^{-1} de ise simetrik Si-O-Si gerilmeleri gözlenmiştir. FS-Silan kaplama çözeltisindeki hidroliz oluşumunu güçlü Si-OH bandı, kondenzasyon oluşumunu ise asimetrik ve simetrik Si-O-Si bandlar gözlenerek tespit edilmiştir.



Sekil 6.8 FS-Silan kaplama jelinin IR spektrumu.

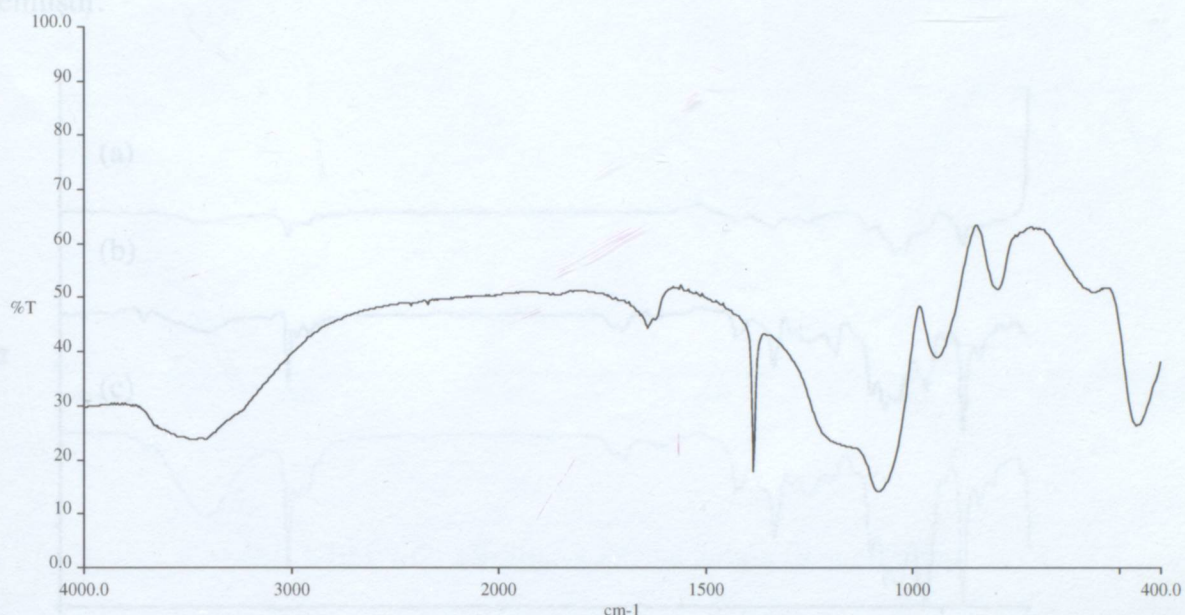
Şekil 6.7 FS-Silan kaplama çözeltisinin IR spektrumu.

IR (FS-Silan kaplama çözeltisi, CCl_4 içerisinde):

$\nu = 3328\text{ cm}^{-1}$ (Si-OH), 2975 ve 2894 ($-\text{CH}_2-$, $-\text{CH}_3$), 1381 cm^{-1} (C-H), 1089 ve 1020 cm^{-1} (Asimetrik Si-O-Si), 880 cm^{-1} (Simetrik Si-O-Si) gerilmeleri.

FS-Silan kaplama jeline ise TEOS ile FS moleküllerinin birbirleriyle tepkimelerini tamamlayarak SiO_2 ve $\text{CH}_3(\text{CF}_2)_7(\text{CH}_2)_4\text{SiO}_{1.5}$ 'e dönüştükleri varsayılmıştır. FS-Silan kaplama jelinin IR spektrumunda (Şekil 6.8), 3486 cm^{-1} de Si-OH grubuna ait kuvvetli adsorpsiyon bandı hidroliz oluşumunu, 1640 cm^{-1} de adsorbe olmuş moleküler suya ait bandı, 1384 cm^{-1} de CH_3 'teki C-H asimetrik deformasyonunu, 1087 cm^{-1} de uzun veya

dallanmış Si-O-Si zincirleri kondenzasyon/polimerizasyon oluşumunu, 942 cm^{-1} de Si-OH grubuna ait gerilme, 795 cm^{-1} de CH_3CH_2 grubuna ait C-H gerilmeleri ve 460 cm^{-1} de Si-O-Si eğilme gerilimleri gözlenmiştir.



Şekil 6.8 FS-Silan kaplama jelinin IR spektrumu.

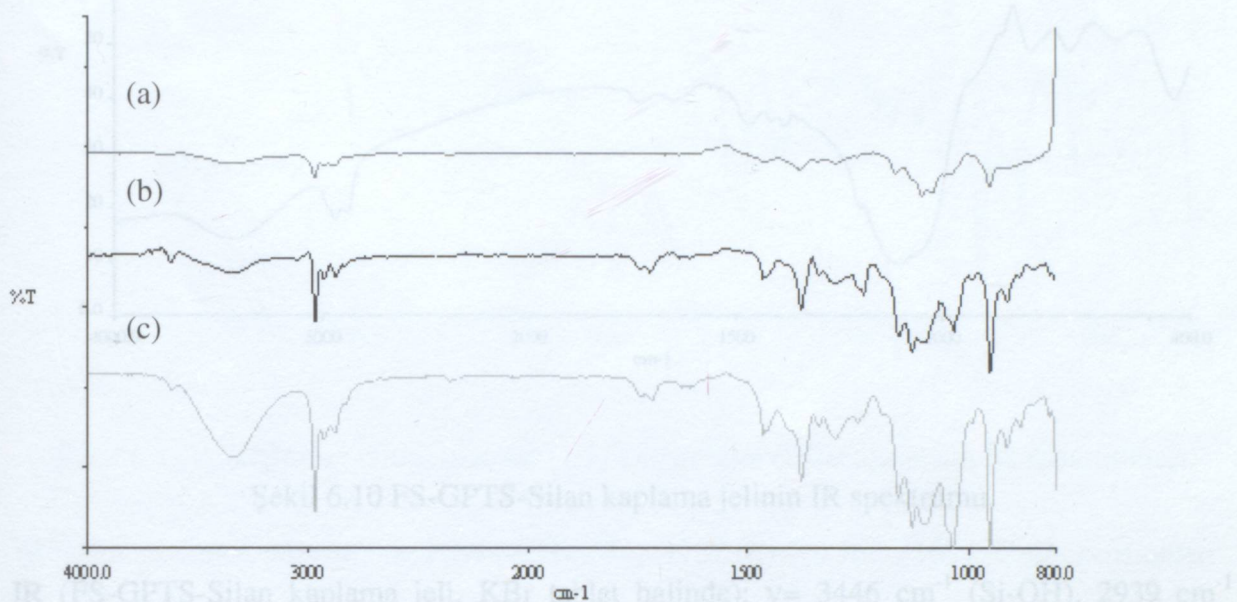
IR (FS-Silan kaplama jeli, KBr tablet halinde): $\nu = 3486$ ve 942 cm^{-1} (Si-OH), 1640 cm^{-1} (H-O-H), 1384 - 795 cm^{-1} (C-H), 1087 - 460 cm^{-1} (Si-O-Si) gerilmeleri.

6.3.2 FS-GPTS-Silan Kaplama Çözeltisi ve Jeli

Hoebbel vd., etanol içerisinde asidik ortamda hidrolizlenmiş GPTS'ye metal alkoksitlerden çeşitli oranlarda (Si(OEt)_4 , $\text{Sn(OBu}^{\text{s}}\text{)}_4$, $\text{Sn(OBu}^{\text{s}}\text{)}_4$, $\text{Al(OBu}^{\text{s}}\text{)}_3$, Al(OEtOBu)_3 , Ta(OEt)_5 , Ti(OEt)_4 , $\text{Zr(OBu}^{\text{n}}\text{)}_4$) ilavesiyle epoksit zincirlerinin açılmasını, çözelti ve jellerdeki tepkimeler sonucunda elde edilen ürünlerden biri olan etileter gruplarının oluşumunu ve $\text{RSi(O}_{0.5}\text{)}_3$ birimlerinin kondenzasyon gruplarının derecesini sıvı ve katı-hal ^{13}C ve ^{29}Si NMR spektroskopileriyle incelemiştir. Yapılan çalışmalarda, metal alkoksitler arasında aluminyum alkoksitin hibrit çözeltilerde ve jellerde en az miktarda kullanılarak istenilen düzeyde zincir açılmasını sağladığı ortaya çıkmıştır (Hoebbel vd., 2001).

Bu çalışmada FS-GPTS-Silan kaplama çözeltisi içerisindeki epoksi zincirlerinin açılması (1:1) mol oranında etilasetoasetat ile modifiye edilmiş aluminyum-tri-sek-butksoit, $[\text{Al(OBu}^{\text{s}}\text{)}_3 : \text{etilasetoasetat (1:1)}]$ ile sağlanmıştır. Kaplama çözeltisine $\text{Al(OBu}^{\text{s}}\text{)}_3 : \text{etilasetoasetat (1:1)}$ karışımı ilavesinden 1, 3 ve 24 saat sonra çözeltinin IR

spektrumları çekilmiştir (Şekil 6.9). $\text{Al(OBu}^{\text{s}}\text{)}_3$: etilasetoasetat (1:1) ilavesinden 2 saat sonra C=O grubuna ait pikler belirmiş, hidroliz ve kondenzasyon oluşumunu gösteren Si-OH ve Si-O-Si grubuna ait bandları ise kuvvetlenmiştir. 24 saat sonra ise tüm pikler daha belirgin hale gelmiştir.



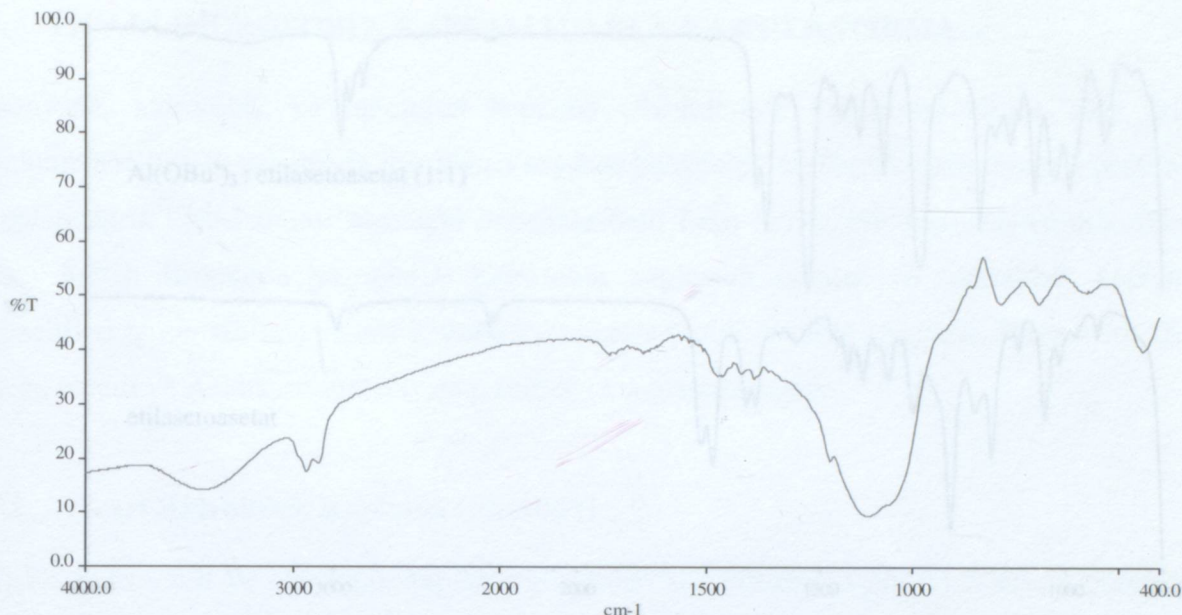
Şekil 6.9 FS-GPTS-Silan kaplama çözeltisine $\text{Al(OBu}^{\text{s}}\text{)}_3$: etilasetoasetat (1:1) ilavesinden 1 saat (a), 3 saat (b) ve 24 saat (c) sonra elde edilen IR spektrumlar.

IR (1 saat yaşlandırılmış FS-GPTS-Silan Çözeltisi, CCl_4 içerisinde): $\nu = 3357 \text{ cm}^{-1}$ (Si-OH), 2973, 2886, 1466, 1380, 1160 cm^{-1} (C-H), 1129 (Si-O-Si), 1095 cm^{-1} (C-O) gerilmeleri.

IR (3 saat yaşlandırılmış FS-GPTS-Silan Çözeltisi, CCl_4 içerisinde): $\nu = 3351 \text{ cm}^{-1}$ (Si-OH), 2972, 2886, 1466, 1380, 1160 cm^{-1} (C-H), 1720 cm^{-1} (C=O), 1129 (Si-O-Si), 1095 cm^{-1} (C-O) gerilmeleri.

IR (24 saat yaşlandırılmış FS-GPTS-Silan Çözeltisi, CCl_4 içerisinde): $\nu = 3351 \text{ cm}^{-1}$ (Si-OH), 2972, 2886, 1466, 1380, 1160 cm^{-1} (C-H), 1720 cm^{-1} (C=O), 1129 cm^{-1} (Si-O-Si), 1095 cm^{-1} (C-O) gerilmeleri

FS-GPTS-Silan kaplama jelinin FT-IR adsorpsiyon spektrumu Şekil 6.10'de verilmektedir.



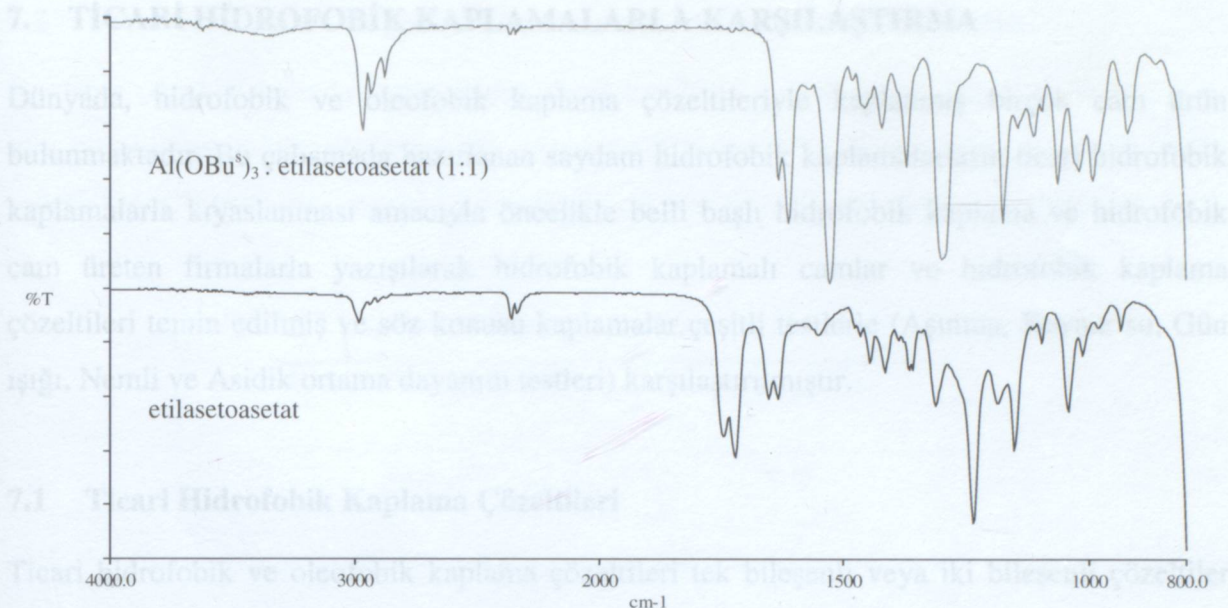
Şekil 6.10 FS-GPTS-Silan kaplama jelinin IR spektrumu.

IR (FS-GPTS-Silan kaplama jeli, KBr tablet halinde): $\nu = 3446 \text{ cm}^{-1}$ (Si-OH), 2939 cm^{-1} (C-H), 1723 cm^{-1} (C=O), 1110 ve 442 cm^{-1} (Si-O-Si), 786 cm^{-1} (C-H) gerilmeleri.

6.4 Etilasetoaset ile Modifiye edilmiş Aluminyum-tri-sek-butoksitin FT-IR ve UV Spektrumu

Aluminyum-tri-sek-butoksitin hidrolitik aktivitesi çeşitli β -ketoesterler (veya R-asetoasetatlar) ile modifiye edilerek kontrol altına alınır (Saifullah M.S.M vd., 2004, Budakoğlu ve Arpaç, 2004).

Bu çalışmada, aluminyum-tri-sek-butoksit etilasetoasetat ile modifiye edilerek kararlı hale getirilmiştir. (1:1) mol oranında etilasetoasetat ile modifiye edilmiş $\text{Al}(\text{BuO}^{\circ})_3$ ve etilasetoasetatin spektrumları (Şekil 6.11) incelendiğinde, etilasetoasetatin $1745\text{-}1722 \text{ cm}^{-1}$ aralığında karakteristik ketonik C=O fonksiyonel gruplarına ait güçlü pikler ve $1654\text{-}1634 \text{ cm}^{-1}$ aralığında ise C=C fonksiyonel grubuna ait daha zayıf pikler verdiği, kompleksleşmeden sonra ise C=O titreşimlerinin $1632\text{-}1611 \text{ cm}^{-1}$, enol formundaki C=C titreşimlerinin ise 1528 cm^{-1} dalga boyunda pik verdiği gözlenmiştir.

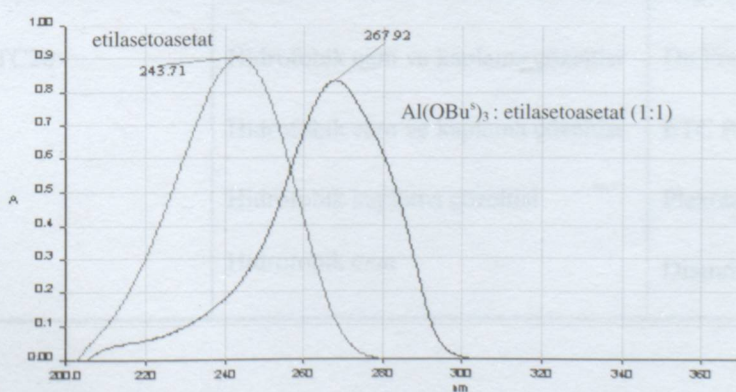


Şekil 6.11 Al(OBu^s)₃ : etilasetoasetat (1:1) karışımı ve etilasetoasetatin IR spektrumları.

IR (etilasetoasetat, çözelti): $\nu = 2984$ (-CH), 1745 - 1722 (C=O), 1654 - 1634 (C=C) gerilmeleri

IR (Al(OBu^s)₃ : etilasetoasetat (1:1), çözelti): $\nu = 2966$ - 2876 (-CH), 1632 - 1611 (C=O), 1528 (C=C) gerilmeleri

UV spektrumu (Şekil 6.12) incelendiğinde, etilasetoasetattaki CH₂O grubunun substitüsyonu ile karbonil kromoforunun dalgaboyunun 280 nm'den 243.71 nm ye düşürerek belirgin bir maviye kaymaya neden olduğu görülmektedir. Ayrıca, Al(OBu^s)₃ : etilasetoasetat (1:1) karışımının absorbans değerinin düşerek hipsokromik etki olduğu, dalga boyunun ise daha uzun dalga boyuna kayarak kırmızıya kayma olduğu gözlenmiştir. Dolayısıyle, Al(OBu^s)₃ : etilasetoasetat (1:1) karışımı dalgaboyu ve absorbans değerlerinde oluşan farklılıklarla etilasetoasetattan ayırmaktadır.



Şekil 6.12 Al(OBu^s)₃ : etilasetoasetat (1:1) karışımı ve etilasetoasetatin UV spektrumu.

7. TİCARİ HİDROFOBİK KAPLAMALARLA KARŞILAŞTIRMA

Dünyada, hidrofobik ve oleofobik kaplama çözeltileriyle kaplanmış birçok cam ürün bulunmaktadır. Bu çalışmada hazırlanan saydam hidrofobik kaplamaların ticari hidrofobik kaplamalarla kıyaslanması amacıyla öncelikle belli başlı hidrofobik kaplama ve hidrofobik cam üreten firmalarla yazışarak hidrofobik kaplamalı camlar ve hidrofobik kaplama çözeltileri temin edilmiş ve söz konusu kaplamalar çeşitli testlerle (Aşınma, Kaynar su, Gün ışığı, Nemli ve Asidik ortama dayanım testleri) karşılaştırılmıştır.

7.1 Ticari Hidrofobik Kaplama Çözeltileri

Ticari hidrofobik ve oleofobik kaplama çözeltileri tek bileşenli veya iki bileşenli çözeltiler halinde bulunmaktadır. Bu çözeltiler, genelde cam yüzeylerine püskürtme, daldırma ve parlatma yöntemlerinden biriyle uygulanırlar. Bu çalışmada hazırlanan saydam hidrofobik kaplamaların piyasada bulunan hidrofobik cam ürünlerle karşılaştırılabilmesi için belli başlı firmalardan ticari hidrofobik kaplama çözeltileri ve hidrofobik camlar temin edilmiştir (Çizelge 7.1).

Çizelge 7.1 Ticari hidrofobik cam kaplamalar ve üretici firmaları.

Ticari Hidrofobik Ürün Adı	Temin Edilen Malzeme	Üretici Firma Adı
Clearshield	Hidrofobik cam	Ritec Int. Ltd. (İngiltere)
CascadaRED, Cascada BLUE	Hidrofobik cam	ICT Coatings (Belçika)
X-Clean EC 1206, X-Clean EC 2126	Hidrofobik cam	Nano-X GmbH (Almanya)
Nano-E2C	Hidrofobik kaplama çözeltisi	Nanogate GmbH (Almanya)
SivoClear	Hidrofobik cam ve kaplama çözeltisi	Degussa (Almanya)
Zonyl TC10, Zonyl TC20	Hidrofobik cam ve kaplama çözeltisi	Du Pont (Japonya)
EKG 6010	Hidrofobik cam ve kaplama çözeltisi	ETC Products GmbH (Almanya)
Nanotop	Hidrofobik kaplama çözeltisi	Flexotec GmbH (Almanya)
DFI	Hidrofobik cam	Diamon-Fusion (A.B.D)

7.2 Ticari Hidrofobik Kaplama Çözeltilerinin İncelenmesi ve Kullanımı

Kaplama çözeltisi halinde temin edilen ticari ürünlerin öncelikle pH değerleri ölçülmüş ve tüm çözeltilerin asidik olduğu tespit edilmiştir (Çizelge 7.2). Ticari kaplama çözeltilerden sadece SivoClear tanımlı çözelti iki bileşen (SivoClear K1/K2) halinde temin edilmiştir.

Çizelge 7.2 Ticari hidrofobik cam kaplama çözeltilerinin pH değerleri.

	Hidrofobik Kap. Çözeltisi	pH Değerleri
SivoClear	Sıvılmış sıvı hidrofobik çözeltisi Nano-E2C kullanılarak uygulanmıştır. kurutulmasından ve su ile dökülmesinden SivoClear K1 SivoClear K2	Kaplanmış camlar 2,76 5,18 2,41
Zonyl TC10	Cam yüzeyi islanmadan kullanılarak uygulanır. Zonyl TC10	Düzcamlar 3,30 Kaplama 3,52
Zonyl TC 20	Zonyl TC 20	Üzeltilebilir kullanılarak uygulanır.
EKG 6010	Cam yüzeyi islanmadan kullanılarak uygulanır. EKG 6010 Nanotop	EKG6010-Ca 1,85 Kaplama 2,42

Temin edilen tüm kaplama çözeltilerinin kendilerine özel kullanım prosedürleri bulunmaktadır. Dolayısıyla, firmalar tarafından hidrofobik kaplama çözeltisi halinde temin edilen malzemeler kullanım prosedürlerine uygun olarak laboratuar ortamında düzcamlara uygulanmıştır (Çizelge 7.3). Kaplama çözeltilerinin cam yüzeylerine uygulanıp kurutulmasından sonra camların hidrofobik özellik kazandığı gözlenmiştir.

7.3 Hidrofobik Kaplamaların Uygulanması

Ticari hidrofobik kaplamalar camları suyunu吸收로부터 차단하는 3-5 senelik kullanımdan sonra hidrofobik özelliklerini kaybetmeye başladıkları ve yeniden hidrofobik özellik kazanmaları için temizlenip suyu kapturan ojenlerle kaplanması gereklidir.

Cam Çizelge 7.3 Ticari hidrofobik cam kaplama çözeltileri ve uygulama prosedürleri.

Kaplama Çözeltisi Adı	Ön Temizleme	Kaplama Prosedürü	Isıl İşlem
Nano-E2C	Cam yüzeyi Nano-CLE 301 ön temizleyiciyle ıslatılmış bez ile silinmiştir	Nano-E2C kaplama çözeltisi cam yüzeylerine damlatılmış ve kuru bez ile cam yüzeyi parlatılmıştır.	Kaplanmış camlar oda sıcaklığında bir gün bekletilmiştir.
SivoClear	Seryum oksit aşındırıcı toz ile saf su ağırlıkça (1:2) oranından karıştırılıp cam yüzeylere uygulanmıştır. Cam yüzeyinde kuruyan karışım bez ile ovalanmış ve su ile durulanmıştır.	K1 ve K2 tanımlı iki bileşen ağırlıkça (1:1) oranında hazırlanmış ve 5 dakika karıştırıldıktan sonra kuru bez ile cam yüzeyi parlatılmıştır.	Kaplanmış camlar oda sıcaklığında bir gün bekletilmiştir.
Zonyl TC10 Zonyl TC 20	Cam yüzeyi izopropanol ile ıslatılmış bez ile silinmiştir.	Düzcamlar her iki kaplama çözeltisiyle daldırma yöntemi kullanılarak kaplanmıştır.	Kaplanmış camlar 280°C'ta 10 dakika kürleştirilmiştir
EKG 6010	Cam yüzeyi izopropanol ile ıslatılmış bez ile silinmiştir.	EKG6010 Cam aktifleştiriciisi ile karıştırılan EKG 6010 kaplama çözeltisi cam yüzeylerine damlatılmış ve kuru bez ile cam yüzeyi parlatılmıştır.	Kaplanmış camlar oda sıcaklığında bir gün bekletilmiştir.
Nanotop	Cam yüzeyi firma tarafından gönderilen ön temizleyiciyle ıslatılmış ve bez ile silinmiştir.	Nanotop kaplama çözeltisi cam yüzeylerine damlatılmış ve kuru bez ile cam yüzeyi parlatılmıştır.	Kaplanmış camlar oda sıcaklığında bir gün bekletilmiştir.

7.3 Hidrofobik Kaplamaların Dayanımını

Ticari hidrofobik kaplamalı camların düşük aşınma dirençlerinden dolayı 3-5 senelik kullanımdan sonra hidrofobik özelliklerini kaybetmeye başladığı ve yeniden hidrofobik özellik kazanmaları için temizlenip aynı kaplama çözeltileriyle kaplanması gereği bilinmektedir.

Ürünlerin hidrofobik özelliklerinin sağlanması için teknik şartları hem çizelge (Çizelge 7.5) hem de grafik halinde verilmiştir (Şekil 7.1).

Cam yüzeylerinde yüksek aşınma dayanımına sahip hidrofobik ve oleofobik kaplamaların geliştirilmesi amaçlanan bu çalışmada çeşitli kimyasal bileşimlerde hidrofobik kaplamalar hazırlanmıştır. Söz konusu kaplamalar içerisinde saydam özellikle sahip olan kaplamaların (Çizelge 7.4) fiziksel ve kimyasal dayanımları ticari hidrofobik kaplamalarla (Çizelge 7.1) karşılaştırılarak incelenmiştir.

Çizelge 7.4 Ticari kaplamalarla kıyaslanan saydam hidrofobik cam kaplamalar.

Kaplama Tanımı	Kaplamlar
FS/TEOS mol oranı 0,01 olan kaplama çözeltisiyle 2 inç/dk çekiş hızında hazırlanan kaplama	FS-Silan
FS/TEOS mol oranı 0,01 olan kaplama çözeltisiyle 2 inç/dk çekiş hızında hazırlanan kaplama	OCTMO-Silan
FS/(GPTS-TEOS) mol oranı 0,01 olan kaplama çözeltisiyle 6 inç/dk çekiş hızında hazırlanan kaplama	FS-GPTS-Silan
OCTEO/(GPTS-TEOS) mol oranı 0,01 olan kaplama çözeltisiyle 6 inç/dk çekiş hızında hazırlanan kaplama	OCTEO-GPTS-Silan
FC/(GPTS-TEOS) mol oranı 0,005 olan kaplama çözeltisiyle 6 inç/dk çekiş hızında hazırlanan kaplama	F-C-GPTS-Silan

Karşılaştırma çalışmalarında kısa sürede gerçekleştirilen Aşınma ve Kaynar su gibi genel testlerle birlikte uzun süreli hızlandırılmış İklimlendirme testlerinden Nem, Gün ışığı ve Asidik ortama dayanım testleri kullanılmıştır. Tüm hidrofobik kaplamaların testlere girmeden ve testlerden çıktıktan sonra temas açıları ölçülmüştür. Kabul edilen standartlara göre uygulanan testten sonra herhangi bir kaplamanın temas açısının 80° 'nin üzerinde olması söz konusu testi geçtiğini, 80° 'nin altına düşmesi ise geçmediğini göstermektedir.

7.3.1 Aşınma Testi

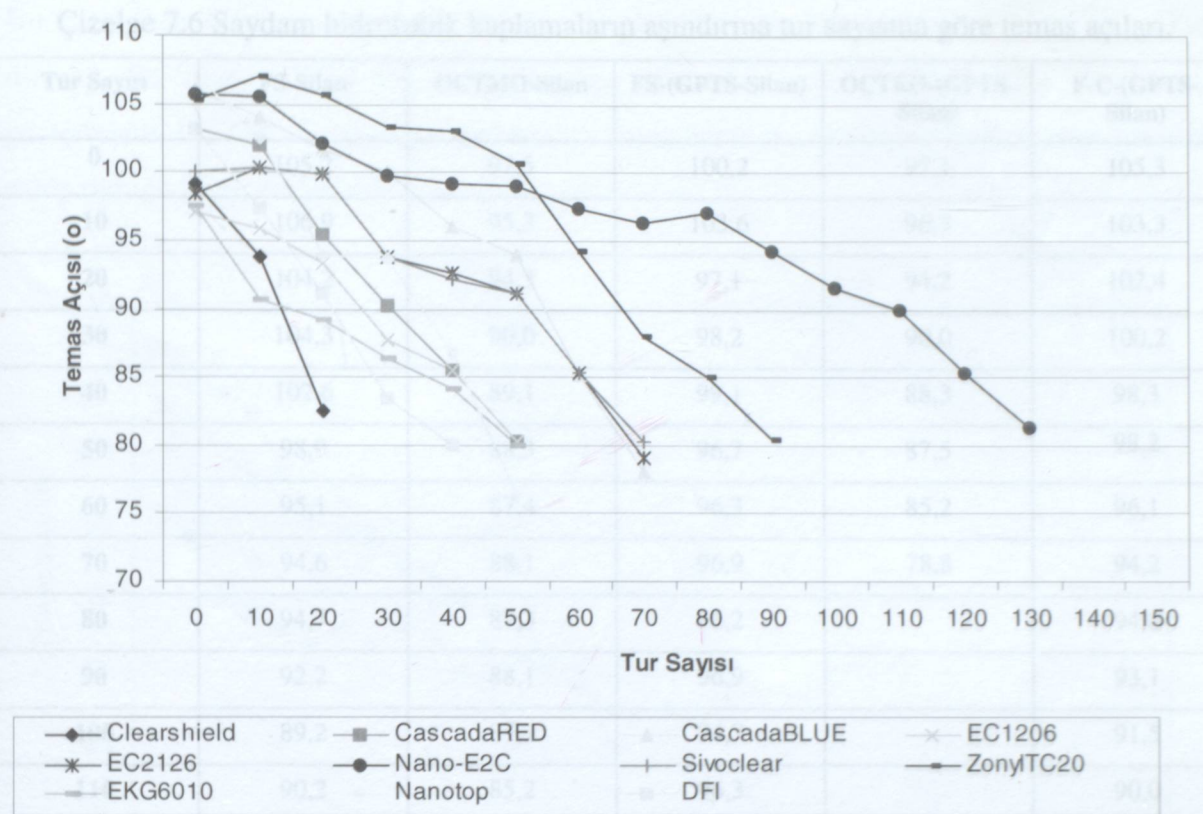
Tüm kaplamalar hidrofobik özelliklerini kaybedene kadar Taber Aşındırma cihazıyla aşındırılmış ve her 10 aşındırma turunda cam yüzeylerinde aşınan bölgelerin temas açıları ölçülmüştür. Kaplamaların aşındırma tur sayısına göre temas açıları hem çizelge (Çizelge 7.5) hem de grafik halinde verilmiştir (Şekil 7.1).

Çizelge 7.5 Ticari hidrofobik kaplamaların aşındırma tur sayısına göre temas açıları.

Tur Sayısı	ClearShield	CascadaRED	CascadaBLUE	X-Clean EC 1206	X-Clean EC 2126	Nano-E2C	SivoClear	Zonyl TC 20*	EKG 6010	Nanotop	DFI
0	99,2	103,1	106,1	97,1	99,4	105,7	100,0	105,3	97,5	107,2	103,2
10	93,8	101,9	104,3	95,9	100,3	105,5	100,3	106,1	90,6	102,5	97,4
20	82,5	95,5	101,6	93,4	99,9	102,1	99,9	105,7	89,2	94,4	91,1
30		90,2	100,1	87,7	93,8	99,8	93,8	103,3	86,3	93,7	83,4
40		85,5	96,3	85,5	92,6	99,2	92,2	103,1	84,1	86,8	79,9
50		80,2	94,4	80,2	91,1	99,0	91,1	100,6	80,0	76,2	
60			85,1		85,3	97,3	85,3	94,3			
70			78,1		79,1	96,3	80,2	88,6			
80						97,1		85,1			
90						94,3		80,4			
100						91,5					
110						89,9					
120						85,3					
130						81,3					

Test sonuçlarına göre teste maruz tutulan kaplamaların temas açıları aşınma tur sayısındaki artış paralel olarak düşüş göstermiştir. Ticari kaplamalardan Nano-E2C'nin 120 aşındırma turuna kadar hidrofobikliğini korumasıyla en yüksek aşınma direncine sahip olduğu, onu 90 turda aşınan Zonyl 20 kaplamalı camın takip ettiği ve geri kalan kaplamaların ise oldukça düşük aşınma direncine sahip olduğu ortaya çıkmıştır.

* Temin edilen Zonyl TC 10 kaplamalı cam bittiği için bu test uygulanamamıştır.



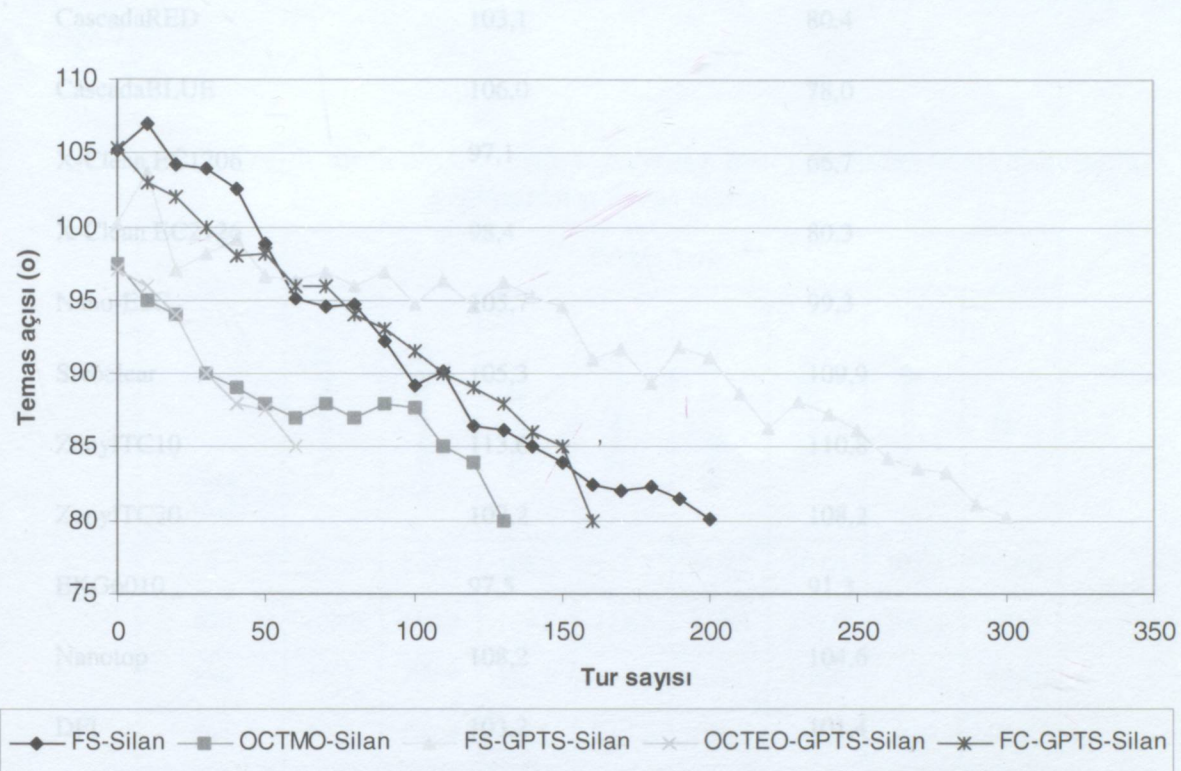
Şekil 7.1 Ticari hidrofobik kaplamaların aşındırma tur sayısına göre temas açıları.

Bu çalışmada hazırlanan saydam hidrofobik kaplamalar da hidrofobik özelliklerini kaybedene kadar aşındırılmış ve her 10 aşınma turunda cam yüzeylerinde aşınan bölgelerin temas açıları ölçülmüştür. Kaplamaların aşındırma tur sayısına göre temas açıları hem çizelge (Çizelge 7.6) hem de grafik halinde verilmiştir (Şekil 7.2).

Çizelge 7.6 Saydam hidrofobik kaplamaların aşındırma tur sayısına göre temas açıları.

Tur Sayısı	FS-Silan	OCTMO-Silan	FS-(GPTS-Silan)	OCTEO-(GPTS-Silan)	F-C-(GPTS-Silan)
0	105,2	97,5	100,2	97,1	105,3
10	106,9	95,3	103,6	96,3	103,3
20	104,2	94,3	97,1	94,2	102,4
30	104,3	90,0	98,2	90,0	100,2
40	102,6	89,1	99,1	88,3	98,3
50	98,9	88,3	96,7	87,5	98,2
60	95,1	87,4	96,3	85,2	96,1
70	94,6	88,1	96,9	78,8	94,2
80	94,7	87,3	96,2		94,0
90	92,2	88,1	96,9		93,1
100	89,2	87,7	94,7		91,5
110	90,2	85,2	96,3		90,0
120	86,5	80,0	94,6		89,3
130	86,2		96,2		88,2
140	85,1		95,2		86,1
150	83,1		94,5		85,3
160	82,5		91,1		80,1
170	82,0		91,7		
180	82,3		89,3		
190	81,5		91,8		
200	81,1		91,1		
210			88,6		
220			86,3		
230			88,1		
240			87,2		
250			85,1		
260			84,2		
270			83,5		
280			83,2		
290			81,1		
300			80,1		

Bu çalışmada hazırlanan hidrofobik silan kaplamalar arasında aşınmaya karşı en yüksek direnci FS-Silan, GPTS-Silan kaplamalar arasında ise FS-GPTS-Silan kaplamalar göstermiştir. OCTEO-GPTS-Silan hidrofobik kaplamanın ise oldukça düşük aşınma direncine sahip olduğu tespit edilmiştir.



Şekil 7.2 Saydam hidrofobik kaplamalı camların aşındırma tur sayısına göre temas açıları
Kaplama ile cam arasındaki kimyasal bağ gücünün bir göstergesi olan bu teste 12 adet ticari kaplamanın 5'inin kaynar su etkisi ile hidrofobik özelliklerini kaybettiği tespit edilmiştir (Çizelge 7.7).

7.3.2 Kaynar Su Testi

Bir saat süresince kaynar su içerisinde tutulan kaplamaların testten önce ve testten sonra temas açıları ölçülmüştür. Kaplama ile cam arasındaki kimyasal bağ gücünün bir göstergesi olan bu teste 12 adet ticari kaplamanın 5'inin kaynar su etkisi ile hidrofobik özelliklerini kaybettiği tespit edilmiştir (Çizelge 7.7).

7.3.3 Çizelge 7.7 Kaynar su testine giren ticari hidrofobik kaplamaların temas açıları.

Hidrofobik Kaplamalar	İlk Temas Açısı (°)	Son Temas Açısı (°)
Clearshield	99,2	60,1
CascadaRED	103,1	80,4
CascadaBLUE	106,0	78,0
X-Clean EC1206	97,1	66,7
X-Clean EC2126	98,4	80,3
Nano-E2C	105,7	99,3
Sivoclear	105,3	109,9
ZonylTC10	113,6	110,8
ZonylTC20	107,2	108,2
EKG6010	97,5	91,3
Nanotop	108,2	104,6
DFI	103,2	101,4

Bu çalışmada hazırlanan saydam hidrofobik kaplamalar arasında FC-GPTS-Silan dışındaki tüm kaplamaların kaynar su testine direnç gösterdiği tespit edilmiştir (Çizelge 7.8).

Çizelge 7.8 Saydam hidrofobik kaplamaların Kaynar su testinden önce ve sonra temas açıları.

Hidrofobik Kaplamalar	İlk Temas Açısı (°)	Son Temas Açısı (°)
FS-Silan	105,3	101,2
OCTMO-Silan	107,6	90,3
FS -GPTS-Silan	101,5	95,1
OCTEO-GPTS-Silan	104,2	94,5
FC-GPTS-Silan	104,8	65,1

Düzenleme 7.3.3 Çizelge 7.7'te, X-Clean EC1206, X-Clean EC2126, ZonylTC10 kaplamalarının kaynar su testi uygulanamamıştır.

7.3.3 Gün Işığına Dayanım Testi

Kaplamların gün ışığına karşı dirençlerini modelleyen bu testte kaplamlar 1008 saatte (42 gün) kadar ışınlandırmaya maruz tutulmuştur. Genel olarak ticari kaplamların tümünün 1008 saat yoğunlaştırılmış gün ışığına karşı hidrofobik özelliklerini koruduğu tespit edilmiştir (Çizelge 7.9).

Çizelge 7.9 Çeşitli sürelerde Gün ışığına dayanım testi uygulanan ticari hidrofobik kaplamların temas açıları.

Süre (Saat)	Temas Açısı (°)							
	ClearShield	CascadaRED*	Nano-E2C	SivoClear	Zonyl TC 20*	EKG 6010	Nanotop	DFI
0	99,9	115,8	105,3	116,9	115,2	107,3	108,3	102,0
168	100,8	112,2	109,7	115,2	110,5	103,0	108,3	100,3
336	98,2	109,3	108,9	114,4	105,0	103,9	102,6	97,9
504	93,0	107,4	99,9	116,2	101,4	102,4	99,9	95,9
672	94,0	103,2	98,6	114,3	106,5	101,1	96,5	93,7
840	93,5	103,7	99,6	112,1	107,8	100,0	96,8	95,1
1008	91,5	97,9	100,2	113,9	105,7	100,9	97,2	92,3

Bununla birlikte, bu çalışmada hazırlanan kaplamlar incelendiğinde, FS-Silan ile FS-GPTS-Silan 1008 saatte, FC-GPTS-Silan ise 336 saatte kadar Gün ışığına karşı hidrofobikliklerini korumuştur. OCTMO-Silan ve OCTEO-GPTS-Silan kaplamların ise gün ışığına karşı dirençlerinin zayıf olduğu ortaya çıkmıştır (Çizelge 7.10).

Saydam hidrofobik kaplamlardan hem FS-Silan hem de FC-GPTS-Silan'ın gün ışığına dayanım testine karşı hidrofobik özelliklerini korumuştur. OCTMO-Silan ile OCTEO-GPTS-Silan'ın temas açılarında anızaklı bir değişim olmaksızın hidrofobik özelliklerini korudular. FC-GPTS-Silan'ın ise temas açısı 7 gün içinde 92,3°'ye düşer.

* Temin edilen Cascada BLUE, X-Clean EC 1206, X-Clean EC 2126 Zonyl TC 10 kaplamalı camlar bittiği için bu test uygulanamamıştır.

Çizelge 7.10 Çeşitli sürelerde Gün ışığına dayanım testi uygulanan saydam hidrofobik kaplamaların temas açıları.

Süre (Saat)	Temas Açısı (°)				
	FS-Silan	OCTMO-Silan	FS-(GPTS-Silan)	OCTEO-(GPTS-Silan)	FC-(GPTS-Silan)
0	105,1	100,6	102,7	98,3	105,3
168	100,6	73,1	96,9	80,1	104,9
336	100,1		95,3		88,5
504	98,2		95,4		69,8
672	100,9		93,8		
840	98,2		94,1		
1008	97,6		91,7		

7.3.4 Nemli Ortama Dayanım Testi

Ticari hidrofobik kaplamalı camlardan bir tanesi dışında tümü Nemli ortama dayanım testine karşı direnç göstermiştir (Çizelge 7.11).

Çizelge 7.11 Çeşitli sürelerde Nemli ortama dayanım testi uygulanan ticari hidrofobik kaplamaların temas açıları

Süre (Gün)	Temas Açısı (°)						
	ClearShield	Nano-E2C	SivoClear	Zonyl TC 20	EKG 6010	Nanotop	DFI
0	99,6	116,3	116,7	110,1	109,8	109,7	103,8
7	94,8	118,2	116,8	99,4	104,2	109,0	104,9
14	90,1	115,2	115,4	99,2	103,1	95,5	102,5
21	81,6	113,1	114,9	99,0	101,8	92,2	100,7

Saydam hidrofobik kaplamalardan hem FS-Silan hem de FS-GPTS-Silan Nemli ortama dayanım testine karşı hidrofobik özelliklerini korumuştur. OCTMO-Silan ile OCTEO-GPTS-Silan'ın temas açılarında anlamlı bir düşüş olmakla birlikte hidrofobik özelliklerini korudukları, FC-GPTS-Silan'ın ise temas açısı 7 gün sonunda 82,1°'ye düşerek nemli ortama karşı direncinin zayıf olduğu tespit edilmiştir (Çizelge 7.12).

Çizelge 7.12 Çeşitli sürelerde Nemli ortama dayanım testine maruz tutulan saydam hidrofobik kaplamaların temas açıları.

Süre (Gün)	Temas Açısı (°)				
	FS-Silan	OCTMO-Silan	FS/(GPTS-Silan)	OCTEO/(GPTS-Silan)	FC/(GPTS-Silan)
0	103,6	100,2	100,3	102,4	101,2
7	102,9	99,4	99,5	95,4	82,1
14	102,2	92,3	100,4	96,6	
21	101,1	88,2	100,3	96,7	

7.3.5 Asidik Ortama Dayanım Testi

Genel olarak, ClearShield kaplamalı cam dışındaki tüm ticari kaplamalar asidik ortama karşı direnç göstermiştir (Çizelge 7.13).

Çizelge 7.13 Çeşitli sürelerde Asidik ortama dayanım testi uygulanan ticari hidrofobik kaplamalı camların temas açıları.

Süre (Saat)	Temas Açısı (°)					
	ClearShield	Nano-E2C	SivoClear	Zonyl TC 20	EKG 6010	DFI
0	99,1	117,5	118,9	92,9	115,0	100,7
8	83,6	102,5	113,1	111,7	113,4	101,8
16	84,4	99,1	115,8	112,9	114,9	102,8
24	84,8*	108,2	112,3	107,1	106,1	93,4

Bu çalışmada hazırlanan kaplamalardan FC-GPTS-Silan kaplama aside karşı en düşük direnci, FS-Silan kaplama ise en yüksek direnci göstermiştir (Çizelge 7.14).

* Kaplama yüzeyinde bozulma gözlandı.

8 Çizelge 7.14 Çeşitli sürelerde Asidik ortama dayanım testi uygulanan saydam hidrofobik kaplamalı camların temas açları.

Süre (Saat)	Temas Açısı (°)				
	FS-Silan	OCTMO- Silan	FS- (GPTS-Silan)	OCTEO- (GPTS-Silan)	FC- (GPTS-Silan)
0	106,3	95,1	102,3	99,8	105
8	103,2	92,6	97,5	96,4	75
16	103,4	90,8	94,4	97,8*	
24	102,3	90,2	94,3	93,8	

temizlenebilme veya toz ile meydana gelen zararlı etkilerin önlenmesi amacıyla da kullanılmıştır. Bu tür kaplamalar sol-jel prosesyle hazırlanırken, silikon hidrofobik ve oleofobik kaplamaların çok ince olması veya hidrofobiklik ile oleofobiklik sebebiyle moleküllerin kaplama içerisinde homojen dağılmayı süratle yüzeyde bulunuş nedeniyle aşınma direncinin düşük olduğu bilinmektedir. Ayrıca bu tür nadekfiller kaplama yapısına yumuşaklık vermekle ve aynı fazlarda bir arada bulunmaya yöneliklerinden dolayı kaplamaların saydamlığını azaltmaktadır.

Bu çalışmada, sol-jel prosesyle cam yüzeyinde saydam ve aşınmaya karşı dirençli hidrofobik ve oleofobik kaplamaların geliştirilmesi amaçlanmıştır. Bu kapsamda, öncelikle cam yüzeylerine uygun olan hidrofobik ve oleofobik kaplamalarla ilgili literatür taraması yapılmış ve literatürde bulunan çalışmalarla sol-jel prosesyle genelde hidroksilemleri çeşitli üretriyerile TEOS içeren farklı kimyasal bileşimlerde kaplama çözeltilerinin hazırlanması ve bu çözeltilerin cam yüzeylere uygulanması, londurma, pişirme gibi çeşitli kaplama yöntemleriyle kaplamaları test edilmiştir. Bu konusu kaplama çözeltilerinin cam yüzeyinde bir veya birden çok kat kat kalınlıkları, kestirim ve bu kaplamaların çeşitli türde alınarak polimerizasyon deninceye, reaksiyon ve istil işlemeleri incelenmiştir. Ayrıca bu çalışmaların hedefi ise hidrofobik ve hidrofobik ve oleofobik kaplamaların saydam ve aşınmaya karşı dirençli hidrofobik ve oleofobik özellikli kaplamaların geliştirilmesidir. Bu tür nadekfillerin saydam ve aşınmaya karşı dirençli kaplamalarının hazırlanması, olmak üzere saydam hidrofobik ve oleofobik kaplamaların yapılış süreçlerini dikkat etmeli olarak gerçekleştirilmelidir.

Bu çalışmada, sol-jel prosesindeki hidroksilemlerin konforatuurlerinin, silan ve GPTS-Silan kaplama çözeltileri olmak üzere üç farklı kaplama yöntemi kullanılmıştır. Bu tür hidrofobik ve oleofobik özellikli kaplamaların saydam ve aşınmaya karşı dirençli hidrofobik ve oleofobik kaplamaların yapılış süreçlerini dikkat etmeli olarak gerçekleştirilmelidir. Bu tür nadekfillerin saydam ve aşınmaya karşı dirençli kaplamalarının hazırlanması, olmak üzere saydam hidrofobik ve oleofobik kaplamaların yapılış süreçlerini dikkat etmeli olarak gerçekleştirilmelidir.

* Kaplama yüzeyinde bozulma gözleendi.

8. SONUÇLAR VE TARTIŞMA

Camın su buharına karşı büyük bir duyarlılığı olduğu bilinmektedir. Cam yüzeyinde biriken su ve su buharı zamanla camın yapısına girerek zamanla camı korozyona uğratır. Bununla birlikte, cam yüzeyinde bulunan su birikintisinden kalan kireç ve kirler camın kirli görünmesine neden olarak sürekli temizlenme ihtiyacını da beraberinde getirir. Cam yüzeylerin suya ve kirlere karşı korunması amacıyla camlar hidrofobik (su itici) ve oleofobik (yağ itici) özellikle kaplamalar ile kaplanırlar. Hidrofobik kaplamalar cam yüzeylerine su iticilik kazandırırken hidrofobik ve oleofobik kaplamalar hem su hem de yağ itici özellikler verirler. Hidrofobik ve oleofobik kaplamalı camlar normal camlara kıyasla daha kolay temizlenebilme veya temizleme ihtiyacını azaltma özelliklerinden dolayı oldukça dikkat çekmiştir. Bu tür kaplamalar sol-jel prosesiyle hazırlanabilmektedir. Mevcut hidrofobik ve oleofobik kaplamaların çok ince olması veya hidrofobiklik ile oleofobiklik sağlayan moleküllerin kaplama içerisinde homojen dağılamayıp sadece yüzeyde birarada bulunması nedeniyle aşınma dirençlerinin düşük olduğu bilinmektedir. Ayrıca, bu tür moleküller kaplama yapısına yumuşaklık vermekte ve ayrı fazlarda birarada bulunmaya yöneliklerinden dolayı kaplamanın saydamlığını azaltmaktadır.

Bu çalışmada, sol-jel prosesiyle cam yüzeyinde saydam ve aşınmaya karşı dirençli hidrofobik ve oleofobik kaplamaların geliştirilmesi amaçlanmıştır. Bu kapsamda, öncelikle cam yüzeylerine uygulanan hidrofobik ve oloeofobik kaplamalarla ilgili literatür taraması yapılmış ve literatürde bulunan çalışmalarda sol-jel prosesiyle genelde floroalkilsilanların çeşitli türevleriyle TEOS içeren farklı kimyasal bileşimlerde kaplama çözeltilerinin hazırlandığı ve bu çözeltilerin cam yüzeylere daldırma, döndürme, püskürtme gibi çeşitli kaplama yöntemleriyle kaplandığı tespit edilmiştir. Söz konusu kaplama çözeltileriyle cam yüzeylerde bir veya birden çok katlı kaplamalar hazırlanmış ve bu kaplamaların temas açları dikkate alınarak polimerizasyon dereceleri, morfolojileri ve ıslık işlemleri incelenmiştir. Ayrıca, bu çalışmaların birkaçında kaplamalara İklimlendirme (UV ışınlandırma) ve mekanik aşınma testleri uygulanmıştır.

Bu çalışmada, sol-jel prosesiyle iki tür kaplama çözeltisi hazırlanmıştır. Silan ve GPTS-Silan kaplama çözeltileri olarak tanımlanan kaplama çözeltilerinden iki farklı kalınlıkta saydam kaplama elde edilmiştir. Silan ve GPTS-Silan kaplama çözeltilerine FS ilave edilerek hidrofobik ve oleofobik özellikle kaplamalar elde edilmiştir. FS-Silan ve FS-GPTS-Silan olarak tanımlanan bu kaplamaların aşınma dirençleri dikkate alınarak optimum FS içerikleri, kaplama çekiş hızları ve kullanım süreleri belirlenmiştir. Ayrıca, FS içeren ve içermeyen

Silan ve GPTS-Silan kaplamaların aşınma direçleri kaplamasız düzcamlarla karşılaştırılmıştır. Oldukça ince olan Silan kaplamanın aşınma direncinin kaplamasız düzcamdan daha yüksek olduğu fakat FS ilave edildiği zaman kaplamanın yumuşayarak aşınma direncinin düştüğü hem pusluluk değerleri hem de Stereomikroskop görüntüleriyle tespit edilmiştir (Çizelge 5.8, 5.9; Şekil 5.7, 5.8). Oldukça kalın olan FS içeren ve içermeyen GPTS-Silan kaplamalar ise kaplamasız cama kıyasla daha düşük aşınma direnci göstermekle birlikte kaplama kalınlıkları arttıkça aşınmaya karşı dirençlerinin arttığı ortaya çıkmıştır (Çizelge 5.10, 5.11). Bununla birlikte, kaplamaların kalınlıkları artırıldıkça kaplamalardaki homojenliğin kaybedildiği gözlenmiştir. Ayrıca, FS-GPTS-Silan kaplamaların FS-Silan kaplamalara kıyasla aşınmaya karşı hidrofobikliklerini daha çok koruduğu tespit edilmiştir (Çizelge 7.6, Şekil 7.2).

FS içeren Silan ve GPTS-Silan kaplamaların aşınma dirençlerini artırmak amacıyla kaplama çözeltilerine SiO_2 ve Al_2O_3 nanotozlar ilave edilmiş fakat nanotozların ilavesi kaplamaların saydamlığını azaltma yönünde sonuç verdiğiinden dolayı vazgeçilmiştir. Bununla birlikte, hidrofobik FS-Silan ve FS-GPTS-Silan kaplamalara alternatif hidrofobik kaplamalar hazırlamak için Silan ve GPTS-Silan kaplama çözeltilerine hidrofobik özellik verebileceği düşünülen çeşitli kimyasallar (OCTMO, OCTEO, ZBA-L, FD10-H ve FC) ilave edilmiştir. Hazırlanan çözeltilerin bazıları ile saydam hidrofobik kaplamalar elde edilmiştir.

Hem FS-Silan hem de FS-GPTS-Silan kaplamaların temas açısı değerlerinin kullanıldığı Fowkes teorisile serbest yüzey enerjileri hesaplanmış ve FS-Silan kaplamanın FS-GPTS-Silan kaplamaya kıyasla daha düşük serbest yüzey enerjisine sahip olduğu tespit edilmiştir (Çizelge 6.1, 6.2). Ayrıca, kaplamaların yüzey morfolojileri dikkate alındığında kaplamaların çatlaksız ve düzgün yüzeylere sahip olduğu görülmüştür (Şekil 6.3a, 6.4a, 6.5a, 6.6a). FS-GPTS-Silan kaplamaların SEM cihazı ile yan kesit görüntüsünden faydalananlarak kalınlıkları tespit edilmiş (Şekil 6.4b, 6.5b, 6.6b), FS-Silan kaplama ise çok ince olduğu için SEM ile net bir görüntü vermemiştir. Dolayısıyle, FS-Silan kaplamanın kalınlığı yüzey profil farkı hesabı yapabilen ve hassas bir cihaz olan Tencor Alfa Step cihazı ile hesaplanmıştır. FS içeren Silan ve GPTS-Silan kaplama çözeltileri ve jelleri içerisinde oluşan ürünler FT-IR Spektrumları ile karakterize edilmiştir (Şekil 6.8, 6.9, 6.10, 6.11). Kaplama çözeltilerindeki hidroliz oluşumunu güçlü Si-OH bandı, kondenzasyon oluşumunu ise asimetrik ve simetrik Si-O-Si bandlar gözlerek tespit edilmiştir. Ayrıca, FS-GPTS-Silan kaplama çözeltisinde GPTS'de bulunan epoksi zincirlerini açmak için kullanılan etilasetoaset ile modifiye edilmiş aluminyum-tri-sek-butoksitin FT-IR ve UV spektrumlarıyla incelenmiştir (Şekil 6.7, 6.12).

Bu çalışmalar literatür çalışmaları ile kıyaslandığında, sadece FS-Silan kaplamanın kimyasal bileşim yönünden E.D. Şam vd. tarafından yapılan çalışmaya benzettiği görülmüştür. Bununla birlikte, söz konusu çalışmada hazırlanan kaplamaların sadece sıcaklık direnci açısından incelendiği belirtilmiştir (E.D. Şam vd., 2004). Bu çalışmada ise FS-Silan kaplamaların sıcaklık dirençleri incelenmemiş, kimyasal ve fiziksel özellikleri birçok karakterizasyon ve test metotları ile analizlenmiştir. FS-GPTS-Silan kaplama ise tamamen yeni bir kaplama çalışmasıdır ve bu kaplamanın da FS-Silan kaplama gibi kimyasal ve fiziksel özellikleri incelenmiştir.

Hazırlanan saydam hidrofobik kaplamalar ticari kaplamalarla çeşitli testler (Aşınma, Kaynar su, Gün ışığı, Nemli ve Asidik ortama dayanım testi) yardımıyla karşılaştırılmış (Çizelge 7.5, 7.6, 7.7, 7.8, 7.9, 7.10, 7.11, 7.12, 7.13, 7.14) ve bu kaplamalar içerisinde FS-Silan ile FS-GPTS-Silan kaplamaların ticari kaplamalardan daha üstün aşınma direncine sahip olduğu tespit edilmiştir (Çizelge 7.5, 7.6). Özellikle, FS-GPTS-Silan kaplama 300 aşındırma turuna kadar hidrofobikliğini kaybetmemesiyle dikkat çekmiştir (Çizelge 7.5). Oldukça kalın olan bu kaplamada aşınmayla birlikte kaplama yüzeyinde kopolimerler oluştuktan sonra hidrofobikliğin kaybedildiği tespit edilmiş ve, florosilanların sadece kaplama yüzeyinde değil kaplama bütününde bulunduğu için kaplamanın hidrofobikliğini daha uzun süre koruduğu düşünülmüştür (Şekil 5.4, 5.5).

Bu çalışmada, cam yüzeyler için çeşitli kimyasal bileşimlerde hazırlanan hidrofobik ve oleofobik kaplamaların aşınma dirençleri ilk defa ayrıntılı bir şekilde incelenmiştir. Bununla birlikte, hazırlanan kaplamaların ticari hidrofobik kaplamalarla çok kapsamlı bir şekilde çeşitli testler yardımıyla karşılaştırılması doktora tezinin endüstriye uygulanması açısından önem taşımaktadır. Sonuç olarak, cam yüzeylerde ticari hidrofobik ve oleofobik cam kaplamalarla kıyaslanabilir ve ticari olarak uygulanabilir nitelikte sol-jel kaplamalar geliştirilmiştir.

- Pilotek S. and Schmidt H. (2004). "Technology of Microstructured Hydrophobic Sol-Gel Coatings". *Journal of Sol-Gel Science and Technology*, 26, 289-297.
- Pulker H.K. (2003). "Coatings on Glass". Elsevier, New York.
- Saifutah M.S.M., Rase D.J., Subramanian K.R.V. and Weiland M.E. (2004). "Electron Beam Nanolithography of Alumina-Modified Aluminum In-Situ Bimorph". *Journal of Sol-Gel Science and Technology*, 29, 5-10.
- Schmidt H. (1988). "Chemistry of Material Preparation by the Sol-Gel Process". *Journal of Non-Crystalline Solids*, 100, 31-41.

KAYNAKLAR

- Adamson A.W. (1982), "Physical Chemistry of Surfaces", John Wiley and Sons, 4th Edn., Los Angeles.
- Akamatsu Y., Makita K., Inaba H. and Minami T. (2001), "Water-Repellent Coating Films on Glass Prepared from Hydrolysis and Polycondensation Reactions of Fluoroalkyltrialkoxysilanes", *Thin Solid Films*, 389:138-145.
- Bach H. and Krause D. (1997), "Thin Films on Glass", Springer, Germany.
- Brinker C.J. and Sherer G.W. (1990), "Sol-Gel Science, The Physics and Chemistry of Sol-Gel Processing", Academic Press, San Diego.
- Budakoglu R. and Arpac E. (2004), "Synthesis of Inorganic-Organic Polymers", *Key Engineering Materials*, 264-268: 423-426.
- CAM 200 Optical Contact Angle Meter Instruction Manual, KSV Instruments Ltd., Finland.
- Dislich H., Hinz P., Arften N-J., Hußmann E (1989), "Sol-gel Yesterday, Today and Tomorrow", *Glastech. Ber.*, 62:46-51.
- Erdik, E. (1998), "Organik Kimyada Spektroskopik Yöntemler", Gazi Kitapevi, Ankara
- Haas K-H., Amberg-Schwab S. and Rose K. (1999), "Functionalized Coating Materials Based on Inorganic-Organic Polymers", *Thin Solid Films*, 351:198-203.
- Hong B.S., Han J.H., Kim S.T., Cho Y.j., Park M.S. and Dolukhanyan T. and Sun C. (1999), "Endurable Water Repellent Glass for Automobiles", *Thin Solid Films*, 351:274-278.
- Hoebbel D., Nacken M. ve Schmidt H. (2001), "On the Influence of Metal Alkoxides on the Epoxide Ring-Opening and Condensation Reactions of 3-Glycidoxypropyltrimethoxysilane", *Journal of Sol-Gel Science and Technology*, 27:177-187.
- Jeong H-J., Kim D-K., Lee S-B., Kwon S-H. and Kadono K. (2001), "Preparation of Water-Repellent Glass by Sol-Gel Process Using Perfluoroalkylsilane", *Journal of Colloid and Interface Science*, 235: 130-134.
- Kamitami K. ve Teranishi T. (2003), "Development of Water-Repellent Glass Improved Water-Sliding Property and Durability", *Journal of Sol-Gel Science and Technology*, 26:823-825, 2003.
- Klein L.C. (1988) "Sol-gel Technology for Thin Film, Fibers, Preforms, Electronics, and Speciality Shapes", Noyes Publications, New Jersey.
- Pilotek S. and Schmidt H. (2003), "Wettability of Microstructured Hydrophobic Sol-Gel Coatings", *Journal of Sol-Gel Science and Technology*, 26:789-792.
- Pulker H.K. (1984), "Coatings on Glass", Elsevier, New York.
- Saifullah M.S.M., Kang D-J, Subramanian K.R.V. and Welland M.E. (2004), "Electron Beam Nanolithography of b-Ketoester Modified Aluminium Tri-Sec-Butoxide", *Journal of Sol-Gel Science and Technology*, 29: 5-10.
- Schmidt H. (1988), "Chemistry of Material Preparation by the Sol-Gel Process", *Journal of Non-Crystalline Solids*, 100:51-64.

Schmidt H. (1994), "Multifunctional Inorganic-Organic Composite Sol-Gel Coatings for Glass Surfaces ", Journal of Non-Crystalline Solids, 178:302-312.

Silverstein and Bassler (1967), "Spectroscopic Identification of Organic Compounds", Wiley, 2nd Edn.

Strawbridge and James P.F., (1986) " The Factors Affecting the Thickness of Sol-Gel Derived Silica Coatings Prepared by Dipping", Journal of Non-Crystalline Solids, 86:381-393.

Şam E.D., S.Kirtay and Gunay V. (2004), "Hydrophobic (Water Repellant) Silane Films having High Heat Resistance by Sol-Gel Dip Coating", Key Engineering Materials, 264-268:379-382.

Uhlmann D.R. and Kreidl N.J. (1984) "Glass: Science and Technology", Academic Press Inc., New York.

Uhlmann D.R., Suratwala T., Davidson K., Boulton J.M. and Teowee G. (1997) "Sol-Gel Derived Coatings on Glass", Journal of Non-Crystalline Solids, 218:113-122.

Yoldas, B.E. (1982), "Structure Variations in Organic Polymers and Glass Networks", Journal of Non-Crystalline Solids, 51:105-121.

Yoldas B.E. (1984), "Part IV. Preparation Techniques and Properties of Glasses", Journal of Non-Crystalline Solids, 63:145-154.

Yoldas B.E. (1986), "Hydrolytic Polycondensation of Si(OC₂H₅) and effect of Reaction Parameters ", Journal of Non-Crystalline Solids, 83:375-390.

Yoldas, B.E. (1993), "Technological Significance of Sol-Gel Process and Process-Induced Variations in Sol-Gel Materials and Coatings", Journal of Sol-Gel Science and Technology, 1:65-77.

Yoldas, B.E. (1994), "Molecular Design and Processing Effects on Sol-gel derived Thin Films", Chimica Chronica, New Series, 23:147-156.

INTERNET KAYNAKLARI

[1]www.solgel.com

[2]<http://www.lotus-effect.com>

ÖZGEÇMİŞ

Doğum tarihi	27.11.1974	
Doğum yeri	Lefkoşa	
Lise	1986-1992	Bayraktar Türk Maarif Koleji
Lisans	1992-1996	Doğu Akdeniz Üniversitesi Fen Edb. Fak. Kimya İşletmeciliği Bölümü
Yüksek Lisans	1996-1998	Orta Doğu Teknik Üniv. Fen Bilimleri Enstitüsü Kimya Anabilim Dalı

Çalıştığı kurum(lar)

1998-Devam ediyor T.Şişe ve Cam Fab. A.Ş. Cam Araştırma Merkezi
 Cam Araştırma Merkezi, Araştırma Mühendisi

